

重粒子衝突物理 と近代技術の基礎

季村峯生
九州大学大学院理学研究院





If, in some cataclysm, all of scientific knowledge were to be destroyed, and only one sentence passed on to the next generations of creatures, what statement would contain the most information in the fewer words? I believe it is the atomic hypothesis (or the atomic fact, or whatever you wish to call it) that *all things are made of atoms* --- little particles that move around in perpetual motion, attracting each other when they are a little distance apart, but repelling upon being squeezed into one another. In that one sentence, you will see, there is an enormous amount of information about the world, if just a little imagination and thinking are applied.

Richard P. Feynman

Outlines:

- Examples of applications
 - — What are **Atomic Collisions?**
- History of **Atomic Collisions**
- What kinds of processes in **Atomic Collisions** are possible?
- Theoretical frame
- What is the status of our understanding of **Atomic Collisions?**
- Summary and Perspectives

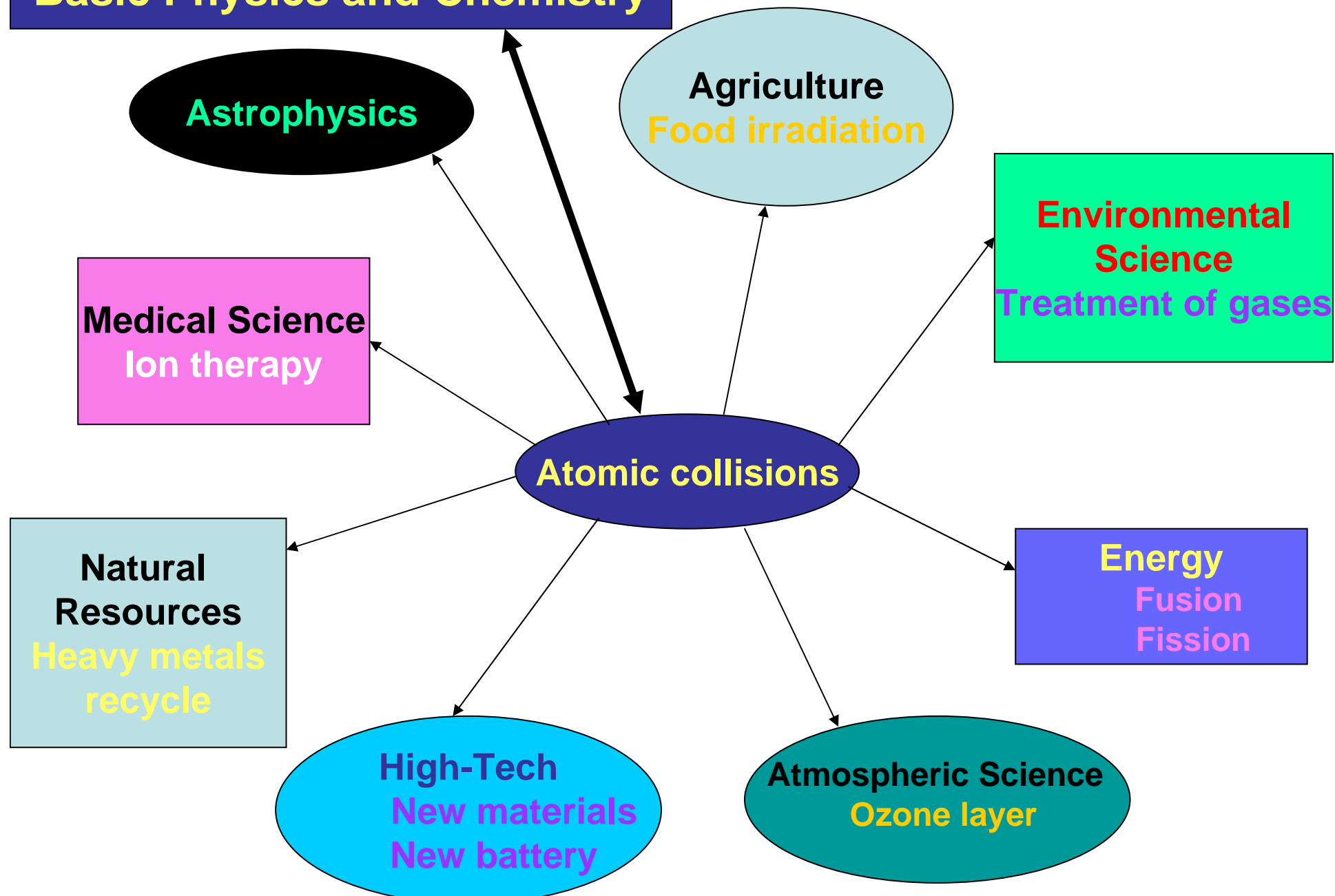
多様性：

半導体製造、薄膜生成、ハイテク、
核融合、レーザー、新エネルギー、
医療、環境一大気科学、天体物理、
農業

普遍性：

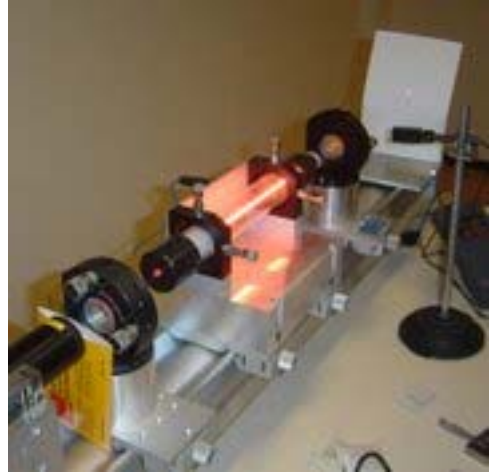
光・電子・イオン一物質との相互作用

Basic Physics and Chemistry



Applications:

- レーザー
- イオンビーム蒸着
- 核融合
- 医療—ガン治療
- 天体物理
- 材料分析—PIXE



レーザー

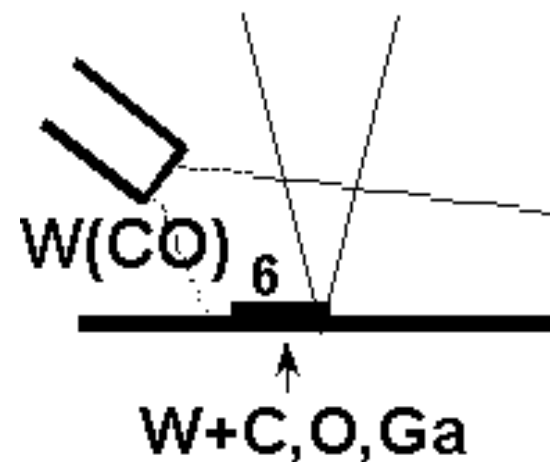
原子衝突によるエネルギー移動 (Energy transfer)

- $\text{He}^* + \text{Ne} \rightarrow \text{He} + \text{Ne}^*$
 └ $\text{Ne} + h\nu$
- Excimer(励起二量体)
 $\text{A}^* + \text{M} \rightarrow \text{AM}^*$
 └ $\text{A} + \text{M} + h\nu$
 $\text{A(基底状態)} \times \text{M} \rightarrow \text{AM}$
- CO₂ Laser
 $\text{CO}_2(v') \rightarrow \text{CO}_2(v)$ 振動脱励起

集束イオンビーム直接蒸着法 (Focused Ion Beam Direct Deposition: FIBDD)

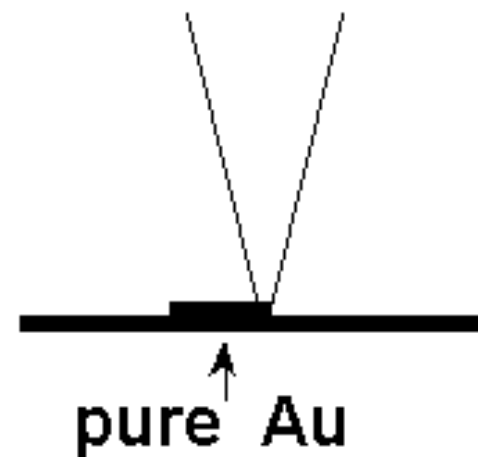
FIBID

Ga^+ 20~50 keV



FIBDD

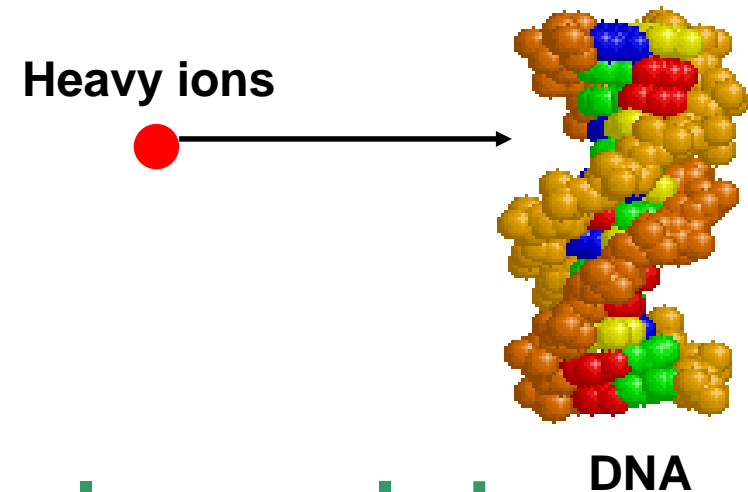
Au^+ 50 eV



Heavy-ion Cancer Therapy: Physics and Chemistry in the Bragg Peak

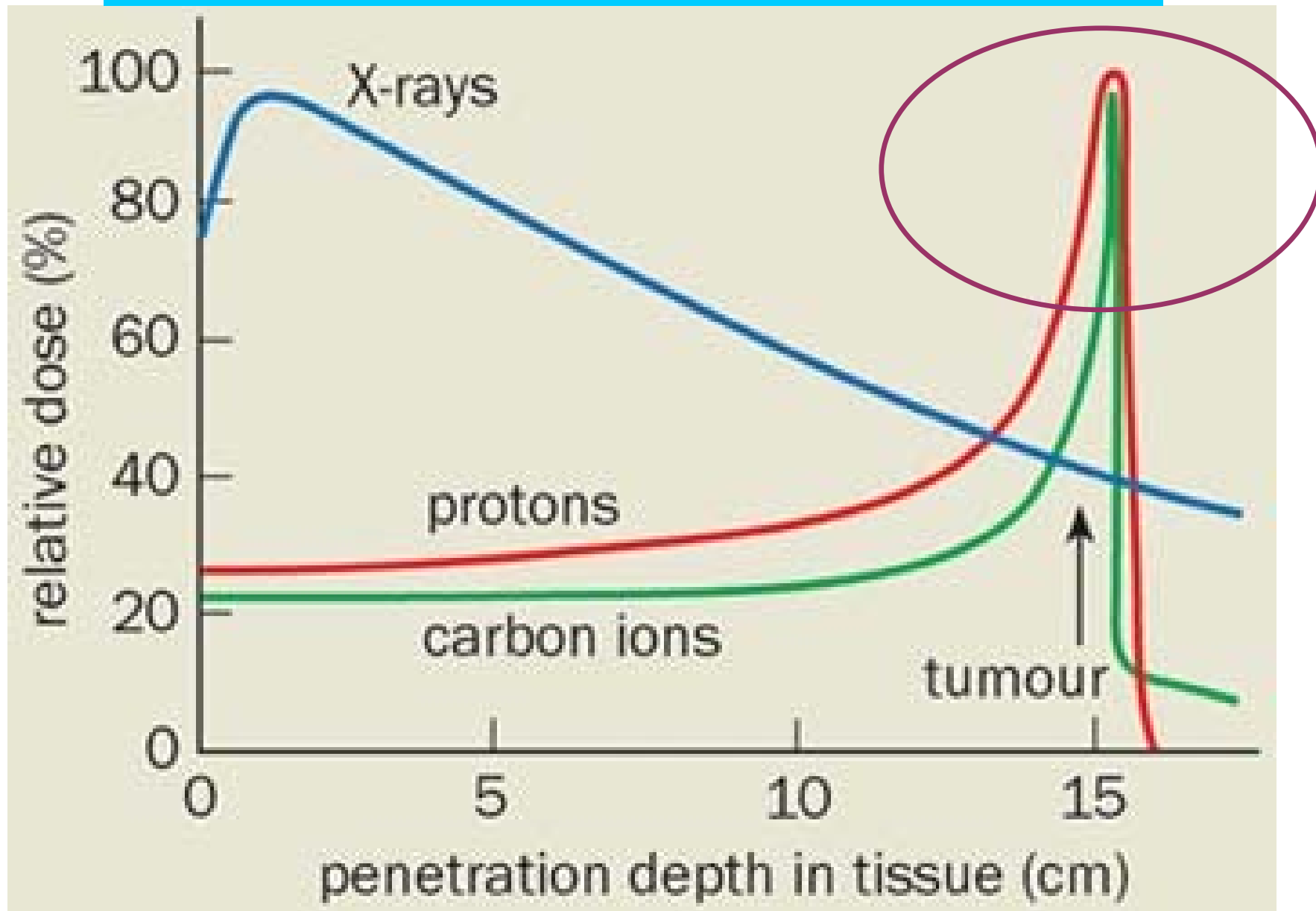
- **Heavy ions:**

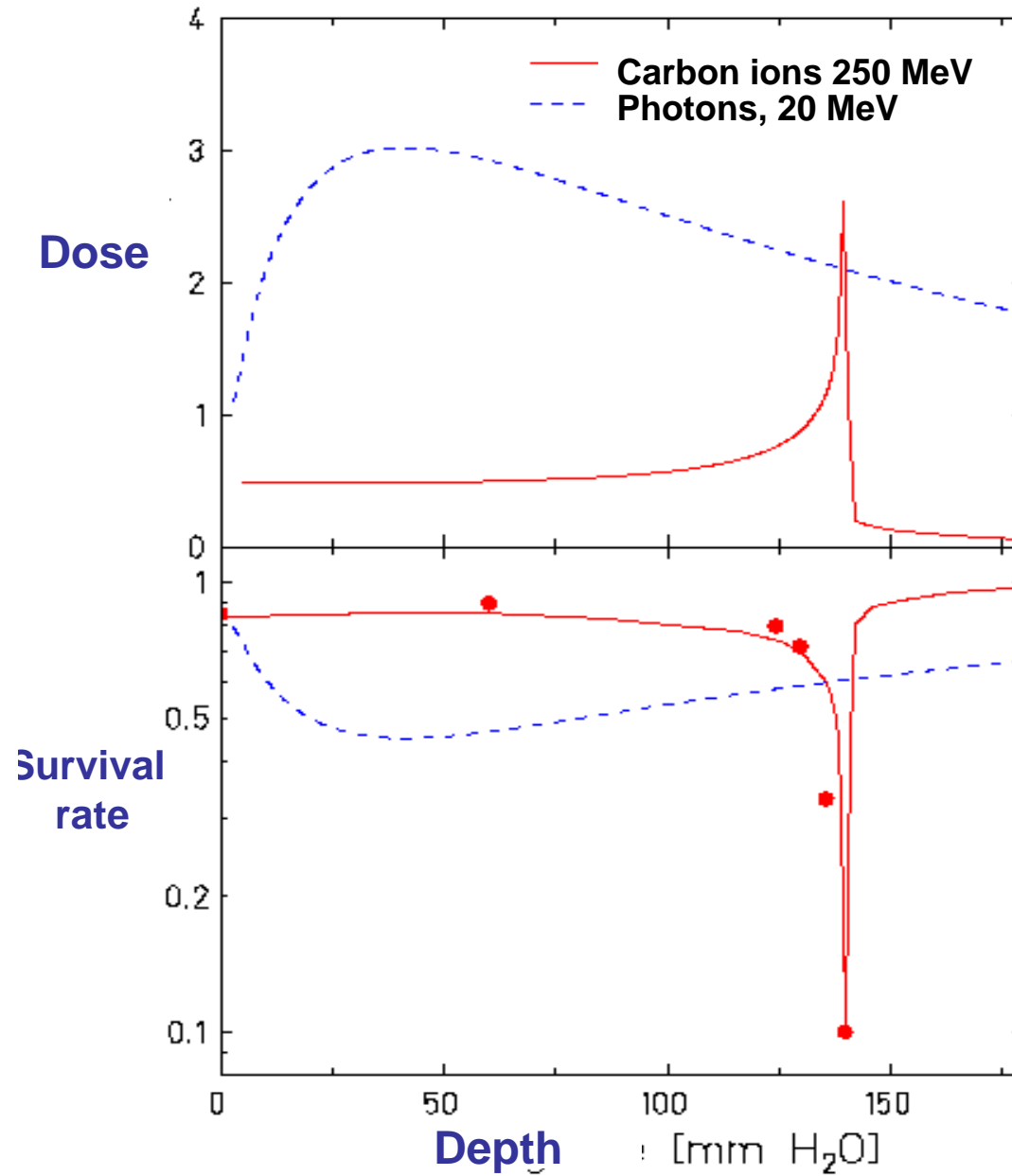
$\text{C}^{4+}(1s^2)$, C^{6+} ,
 $\text{O}^{6+}(1s^2)$, O^{8+} , Ne^{10+} ,
... (heavier than proton)



- How do **Atomic Collisions** play a role in dynamics ?
- How do they differ from electrons and photons?

Bragg peak

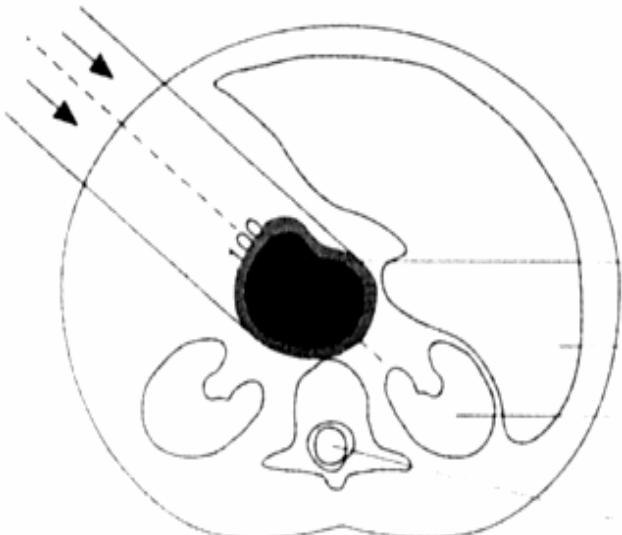




Relationship between the Bragg peak and Survival rate of cells

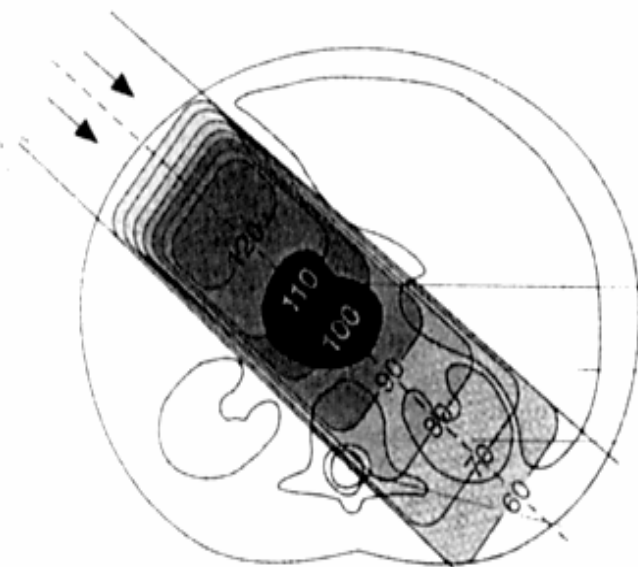
Bragg peak

Cell killing



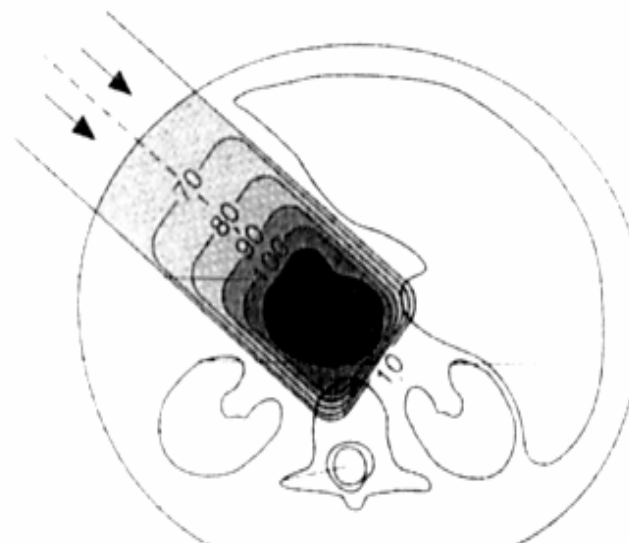
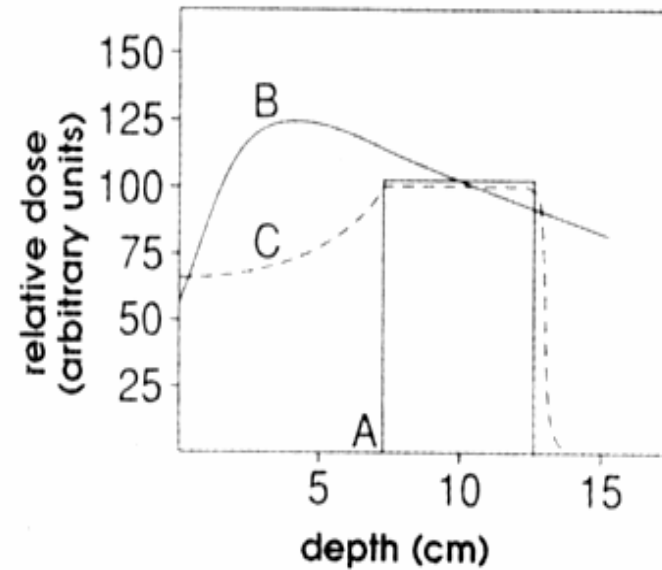
ideal (A)

tumor
liver
kidney
bone
marrow



X rays (B)

tumor
liver
kidney
bone
marrow



protons (C)

Local control rates of tumors by irradiation of C-ion, X-ray and neutron:

	C4+ (%)	X-ray+Chemo (%)	Neutron (%)
Salivary gland	80	28	60-70
Nasopharynx	63	21	50-80
Sarcoma	56	28	54
Prostate	100	60-70	77
Lung	39	22-40	----
Brain	44	18	----

Problems of Heavy-ion therapy

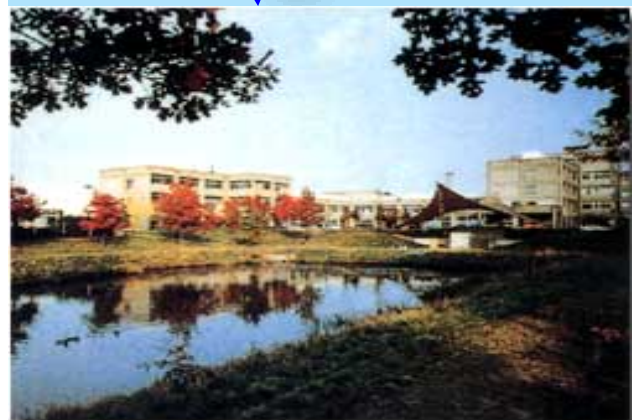
- Exceedingly expensive!

Heavy-ion (HIMAC) \$400 M

Proton \$50 – 100M

X-ray \$10M

- 重粒子線
- 陽子線
- 計画中



Physics and Chemistry of Heavy ion therapy

- **Heavy ions:**

H^+ , ..., $C^{4+}(1s^2)$, C^{6+} , $O^{6+}(1s^2)$, O^{8+} ,

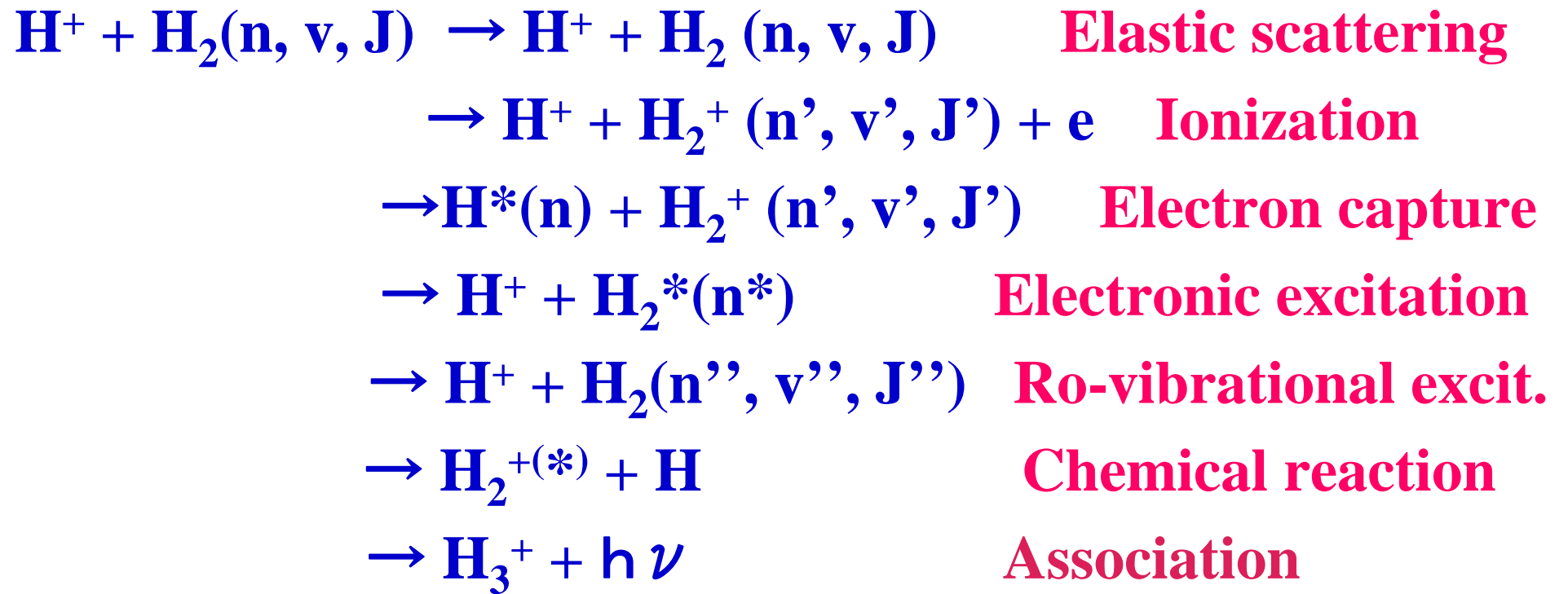
Ne^{10+} , ... Ar ,

- **Energy:**

$> \sim 250$ MeV

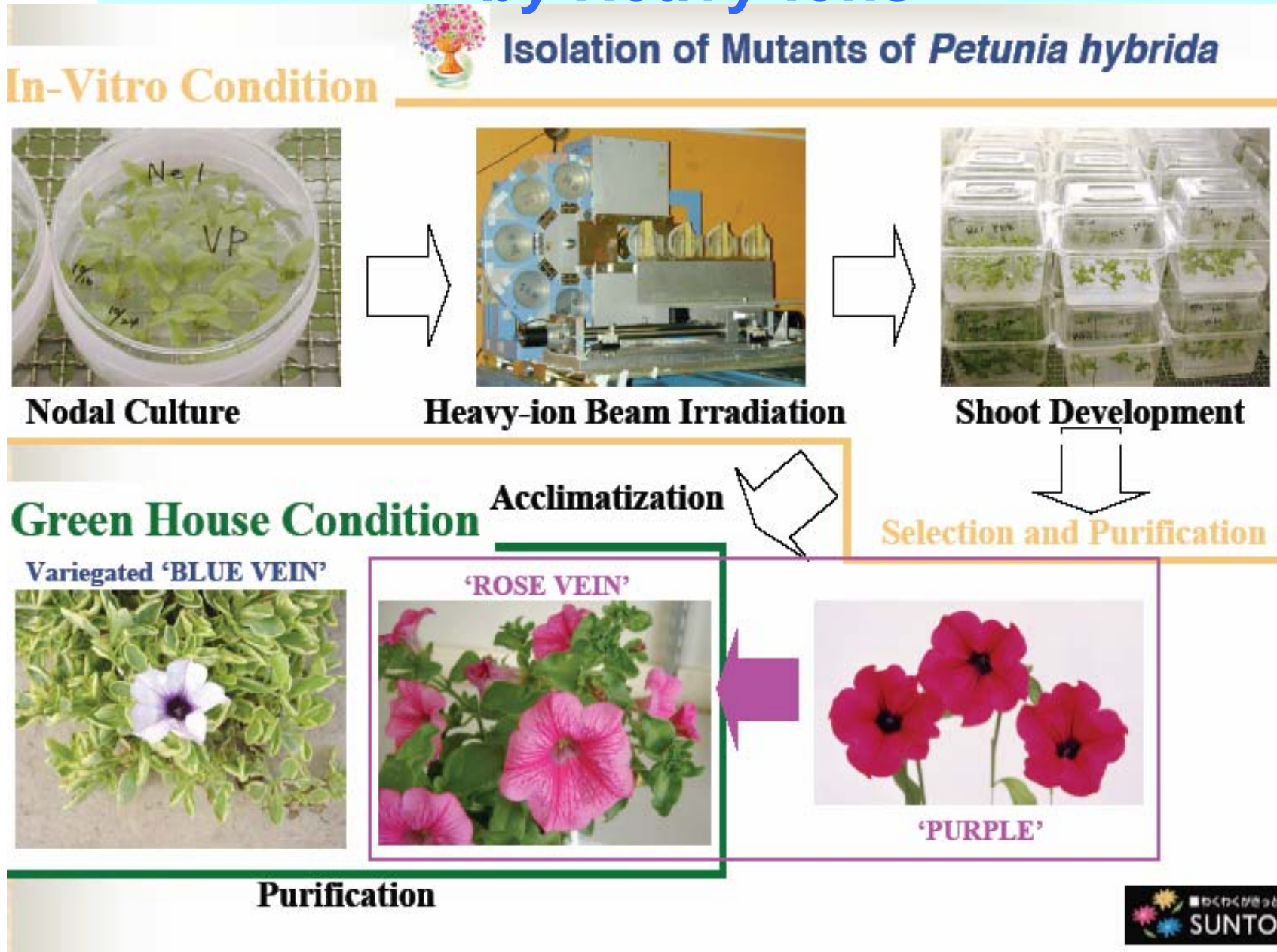
- **What are ion-biomolecule interactions?**

Example of Ion–Molecule Collisions:



n, v, J: Electronic, vibrational, rotational QN

Development of New Plant Species by Heavy-ions



New Plants by Heavy-ions

Mutation breeding using heavy-ion beam irradiation

Tomoko ABE

Plant Functions Lab., RIKEN

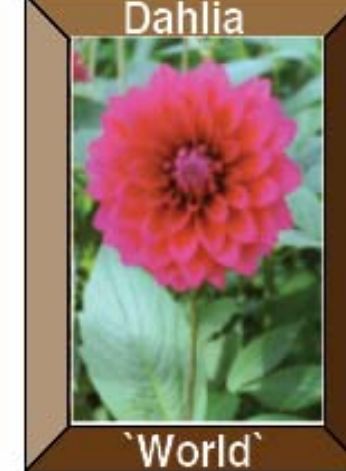
Petunia



Petunia

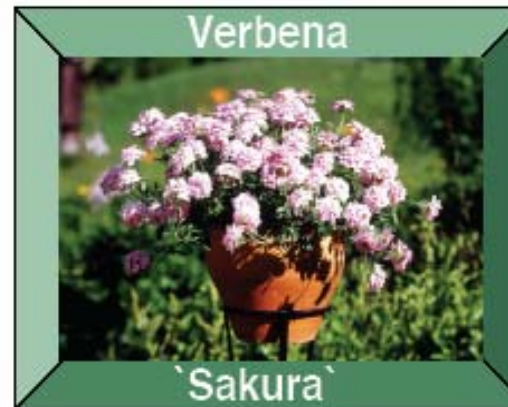


Dahlia



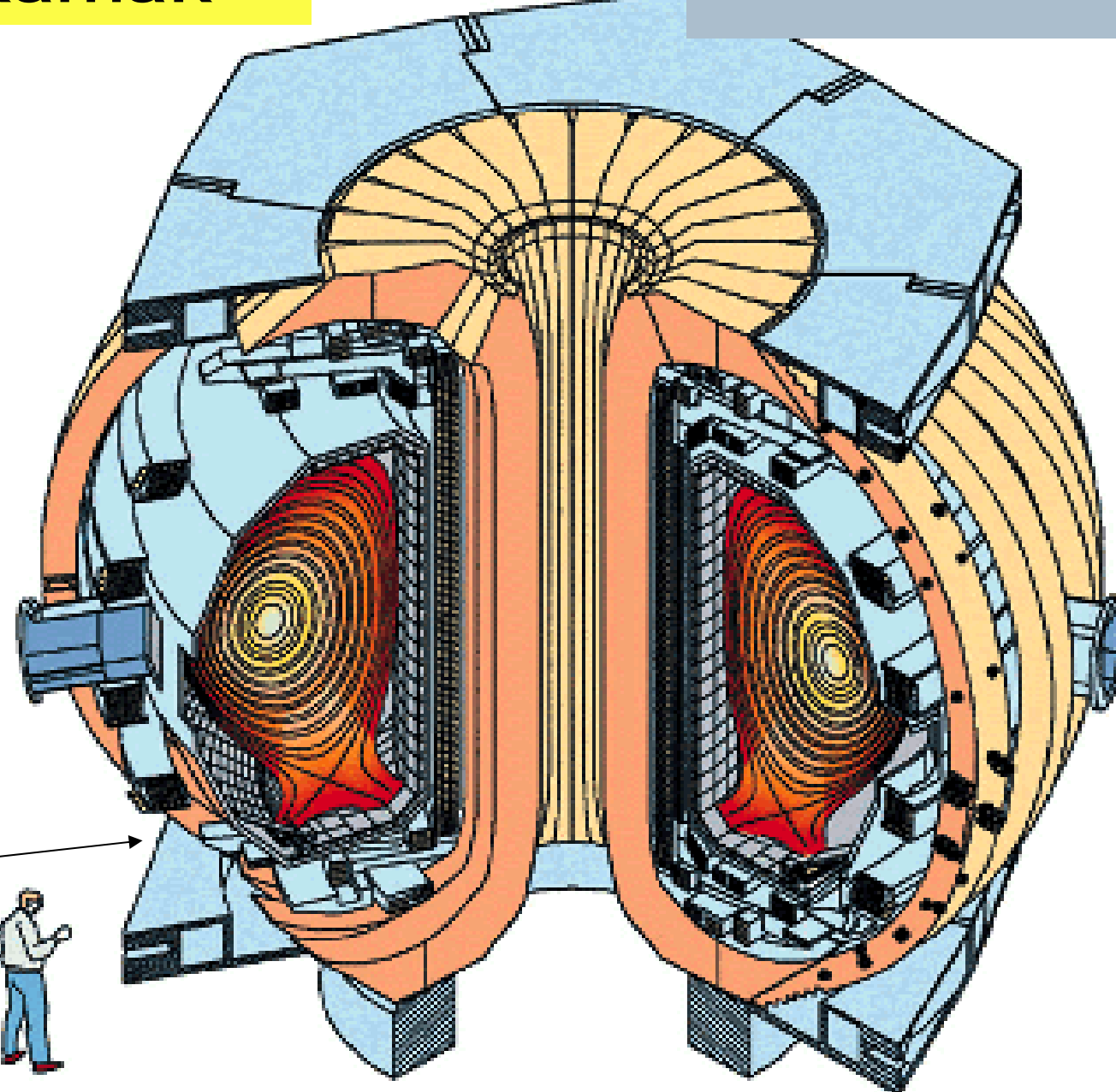
Hiroshima City
Agr.Forest.Promot.Cen.

Verbena



Suntory Flowers Ltd.

Tokamak



Divertor

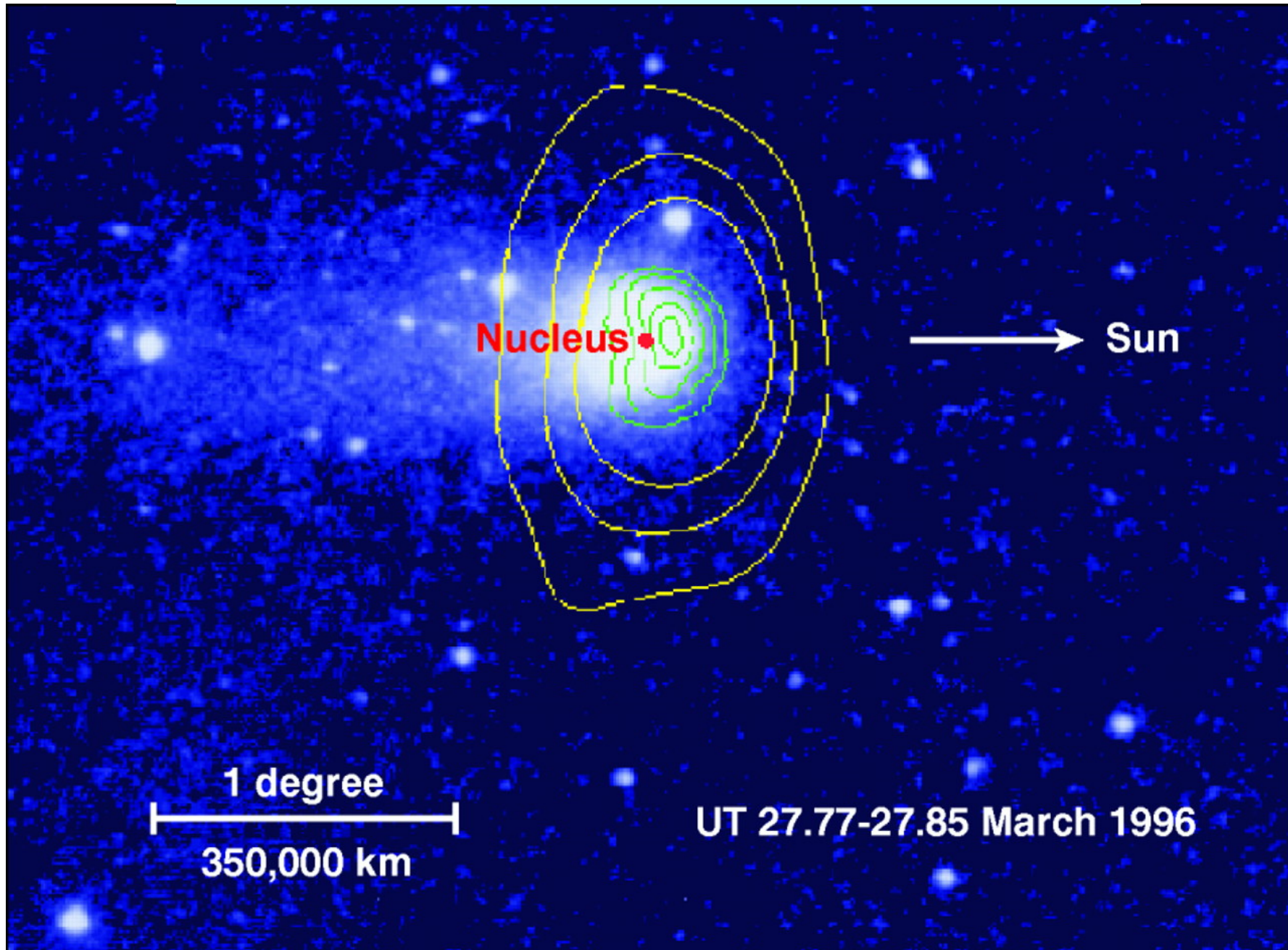
核融合の原理

- $D + T \rightarrow He^{2+} + n$
- プラズマ温度
 - 中心: 1億度 (数10 keV)
 - エッジ: >常温 (>数 eV)
- 成分
 - 主プラズマ: 電子、陽子(p)、He²⁺
 - 不純物プラズマ: C^{q+}, O^{q+},
 - 不純物: 炭化水素分子など

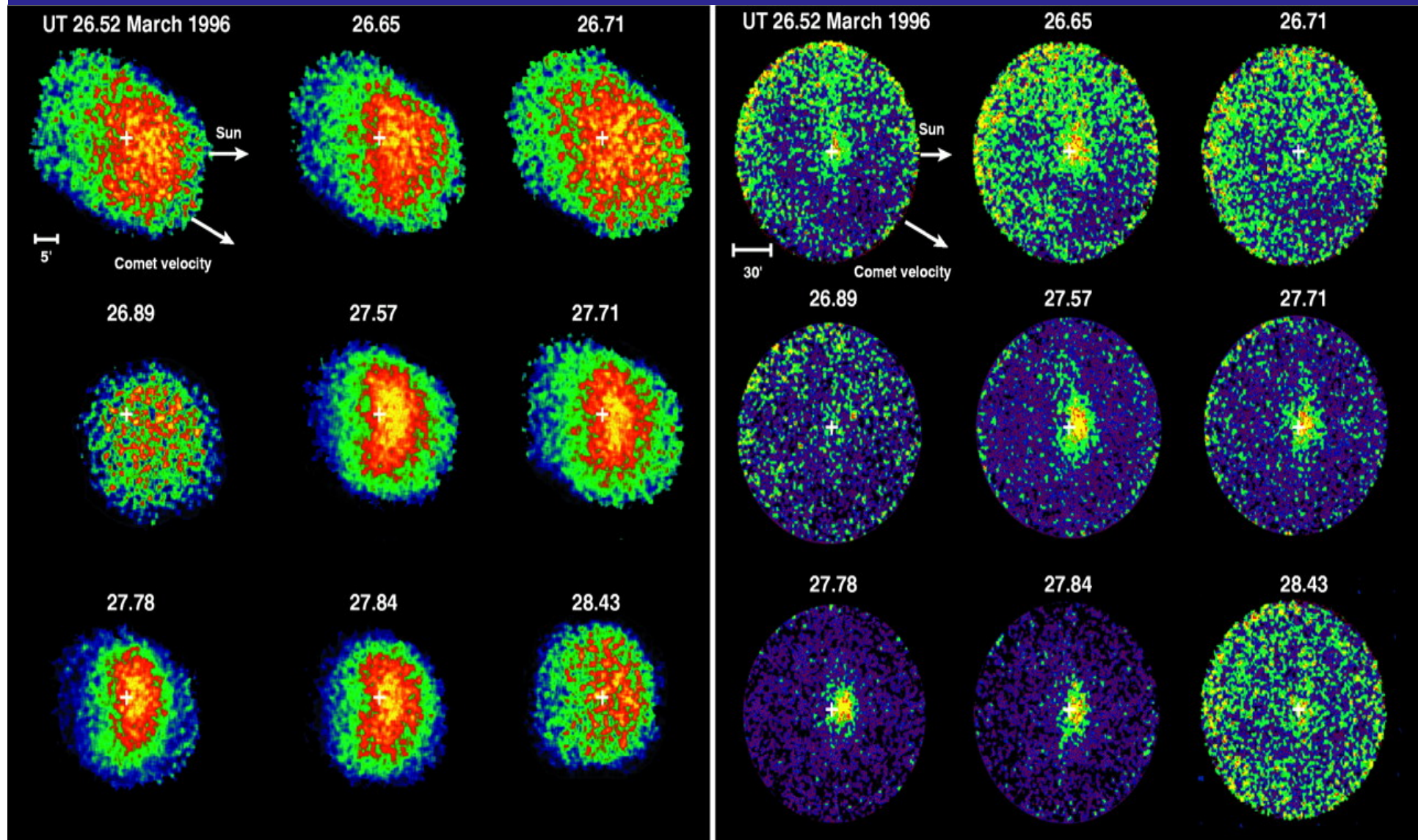
Collision processes in Fusion

- Spectroscopy for plasma diagnostics
 - Ionization
 - Plasma production
- Charge transfer
 - Plasma temperature and density
 - Impurity identification

X-ray emission from Comets



X-ray and EUV from Comet Hyakutake



Characteristics of comets

-- Dirty snowballs

- **Structure:** Nucleus + Coma + H Colona + Tail (plasma + dust)
- **Size:** Nucleus(1-10km), Coma(0.1M-1M km), H Colona(10M km), Tail (10M-1B km)
- **Temperature:** <100-150 K
- **Molecular compositions:** H₂O, CN, CH₄, CS, CO, OH, CH, NH, H₂O+, OH+, CO₂+, CO+,.....

Origin of x-rays

OUT!!

- Electron impact
- Charge transfer by ions in solar winds

Charge transfer by heavy-ions in solar winds

- Compositions:

p, He²⁺, C^{q+}, N^{q+}, O^{q+},..... (not well known)

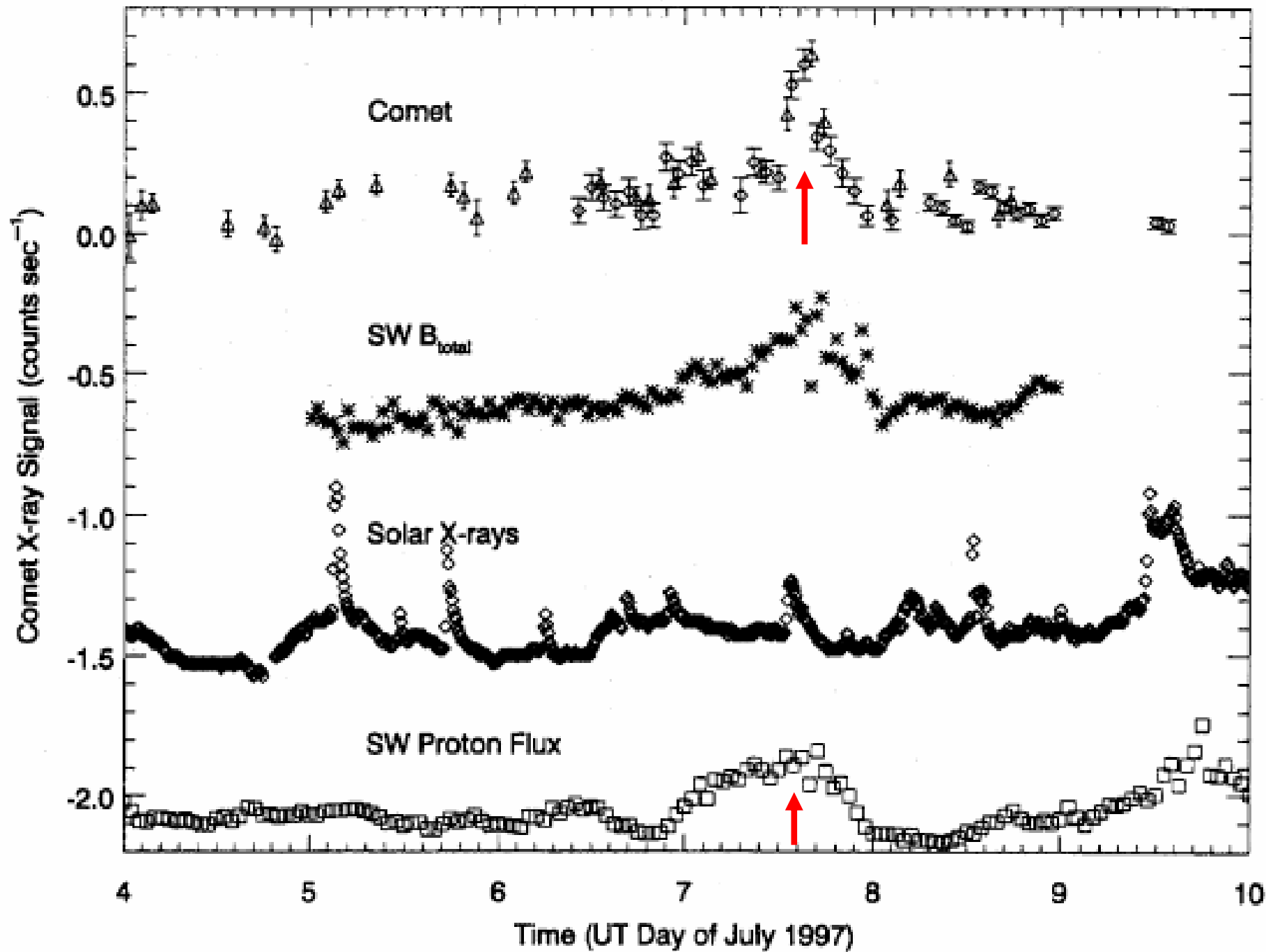
- Energy:

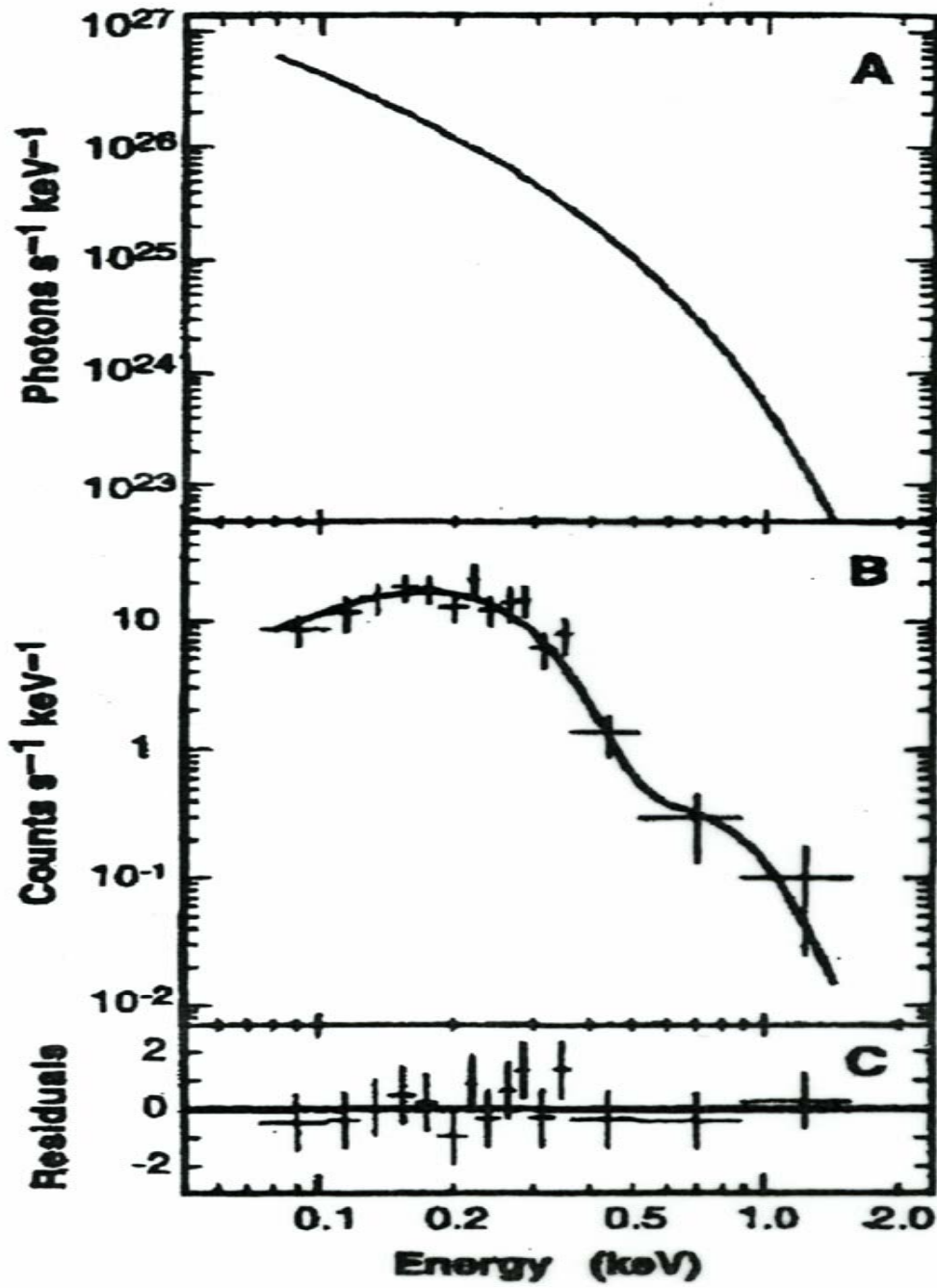
A few 10 eV~a few keV (< 2 keV)

- Processes:



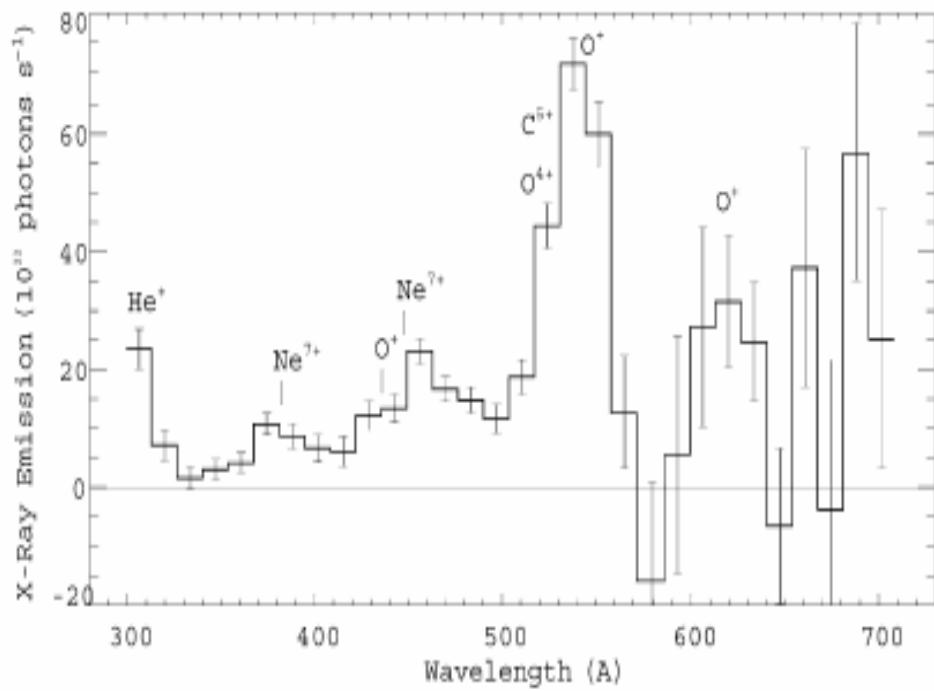
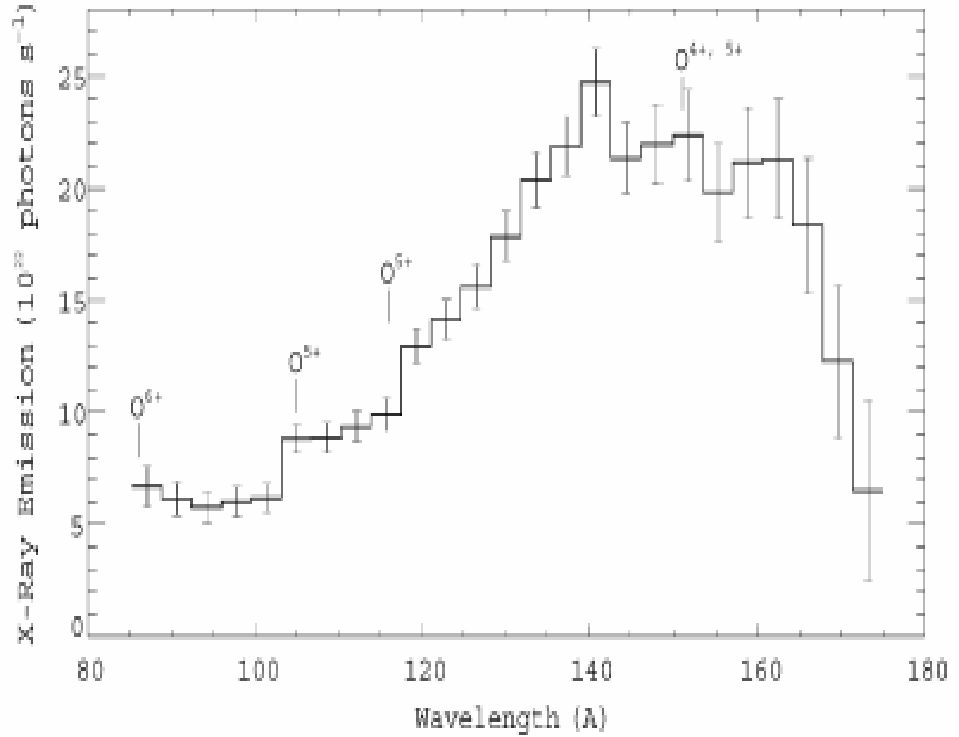
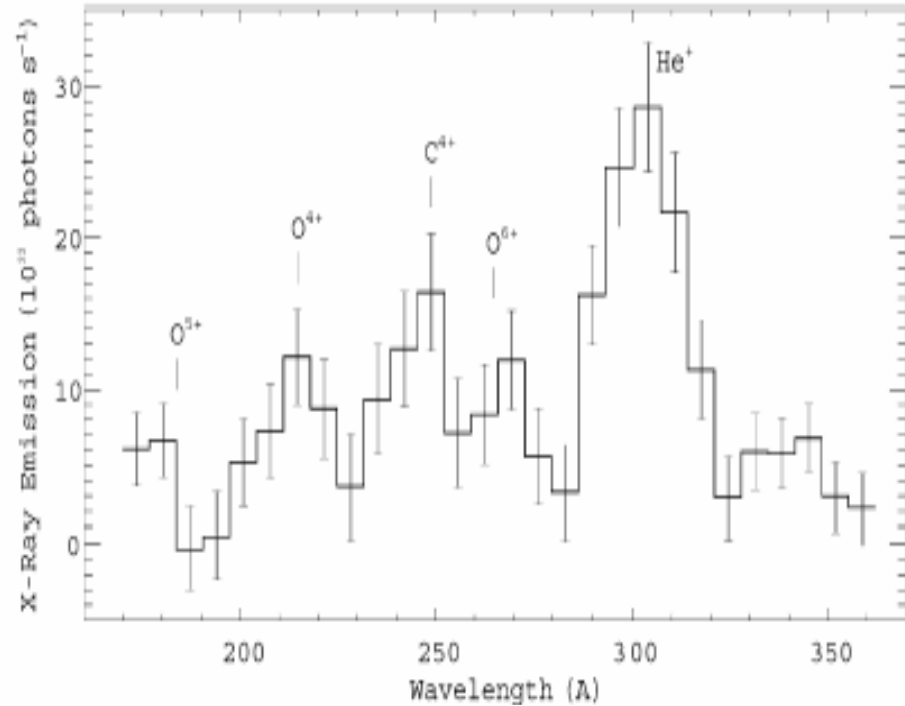
X-ray emission!





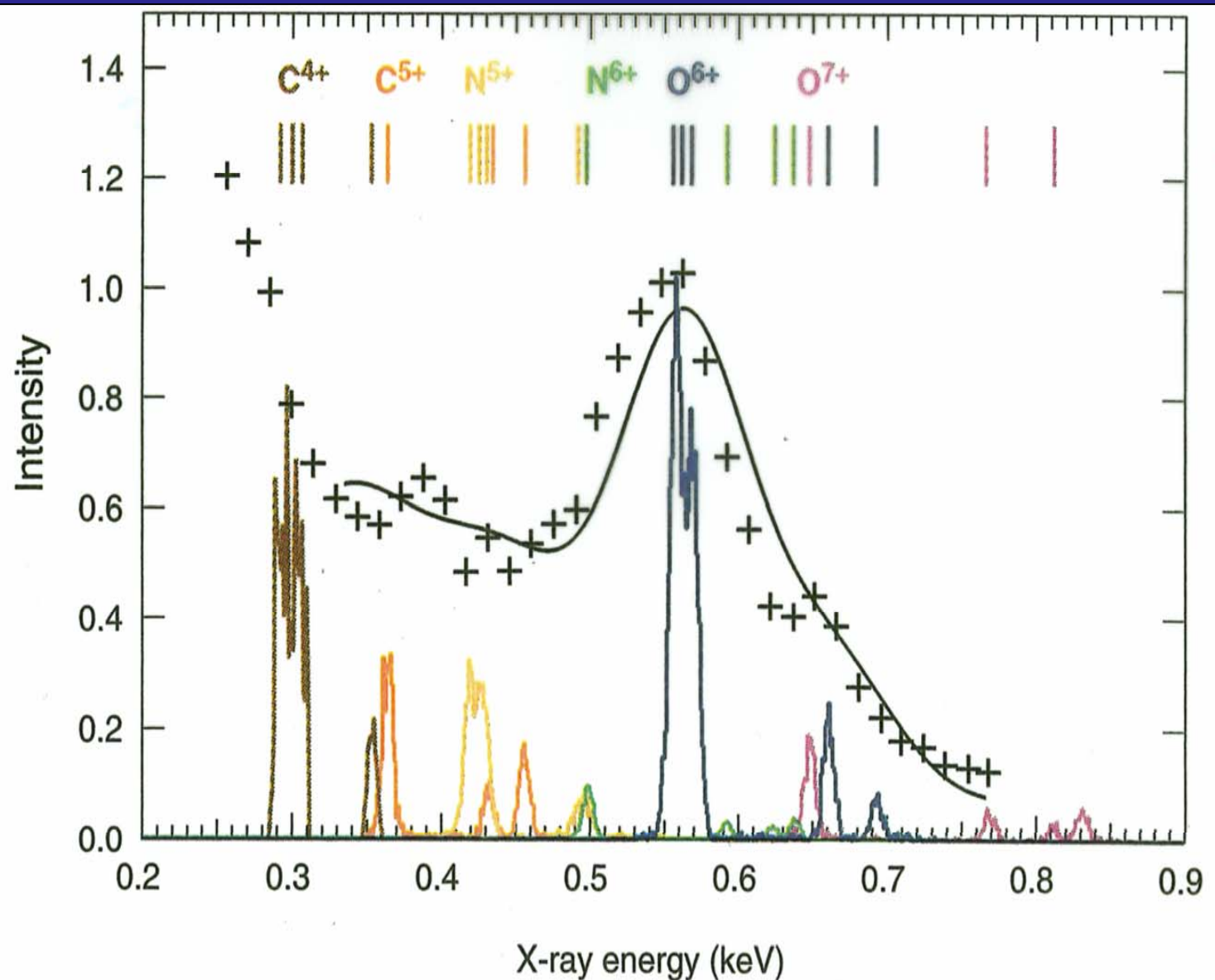
Model
based on the Bremsstrahlung

Observed spectrum



EUVE Spectrum of Hyakutake

Model calculation for SW on H₂O



ハイテク技術

反応性プラズマ:電子、ラジカル、イオン

- 反応性プラズマによるエッチング
- 薄膜生成
- 材料診断——PIXE
- 環境汚染物質除去・回収・再利用

Plasma Processing

- Etching
- Fabric courting
- Thin-film
-

Principles of Atomic Collisions:

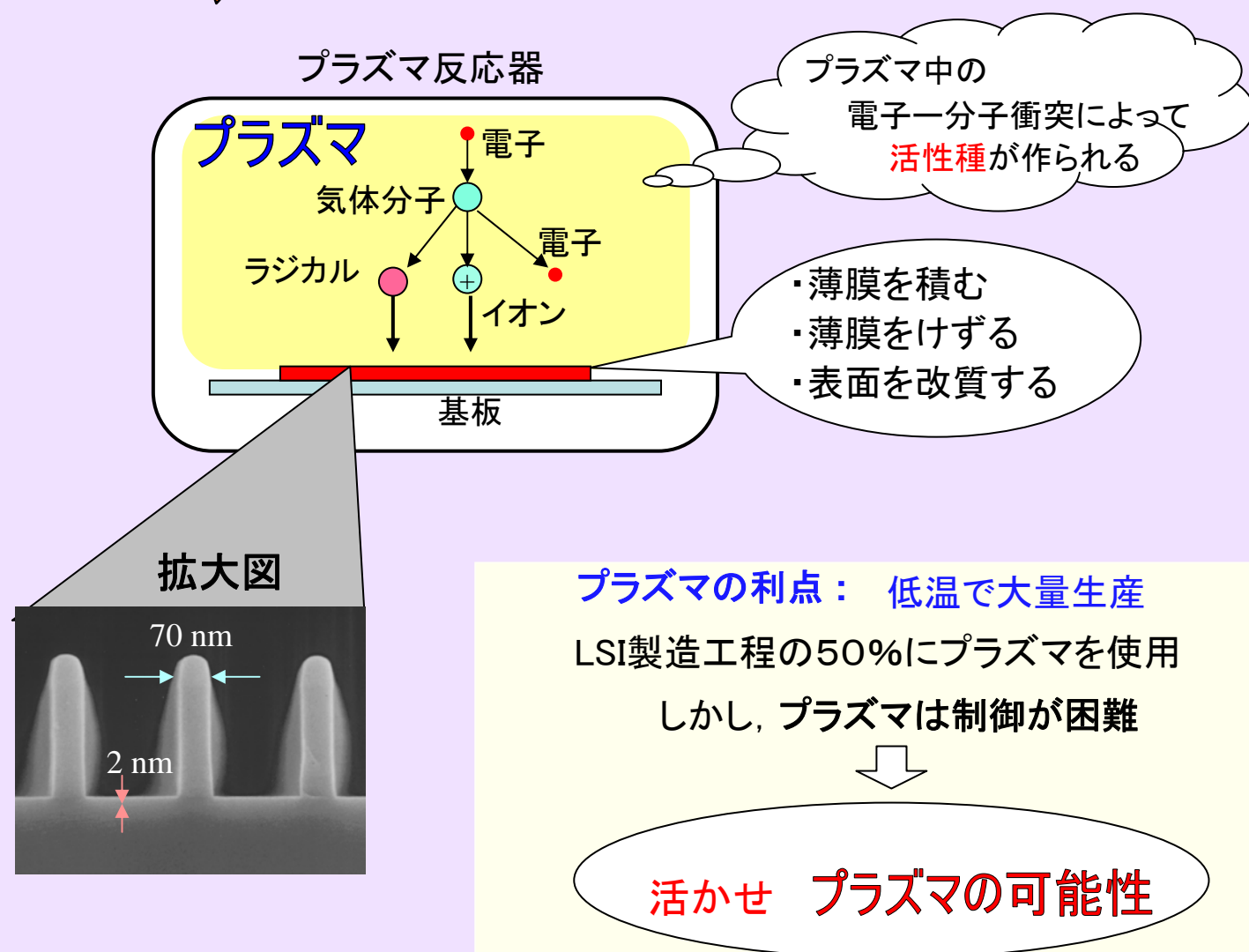


M^+ , M^* , $M^- \rightarrow$ Fragmentation

\rightarrow Radicals, Ions
(Reactive plasma)

Controlling materials at molecular levels

プラズマを用いた薄膜の堆積・加工



材料診斷—PIXE

- PIXE- Particle Induced X-ray Emission

Basic Numbers in Atomic world

- Size of atoms:

H(1): 0.529×10^{-8} cm

Fe(26): 1.34×10^{-8} cm

U(92): 2.32×10^{-8} cm

- Size of molecules

H₂: 0.741×10^{-8} cm

N₂: 1.10×10^{-8} cm

- Mass

electron: 9.11×10^{-28} g

proton: 1.67×10^{-24} g

- Energy

H ionization energy: 13.6 eV

H₂ molecule dissociation energy: 4.48 eV

- Velocity

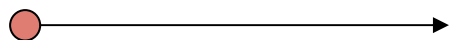
H(1s) orbital velocity: 2.19×10^8 cm/s

Velocity of light: 2.998×10^{10} cm/s

O₂ gas in 27C: 4.2×10^4 cm/s

An order of the size of atoms and molecules:
 $\sim 10^{-8}$ cm

Atomic scales



Collision time
 $>10^{-16}$ s for keV

Vibrational period
 $< 10^{-13}$ s

Time scales
 $T_{\text{elec}} = 0.01$ fs
 $T_{\text{vib}} = 15$ fs

Energies
 $I_p = 16$ eV
 $E_{\text{vib}} = 0.5$ eV
 $D_e = 4.75$ eV

Length scales
 $R_e = 0.74 \times 10^{-8}$ cm

History of Atomic Collision Research

1911 Rutherford and Geiger

α -particle on thin film—Atom model

1914 Franck and Hertz

Electron beam—Discrete energy

-1930 Ramsaur and Townsend,

Electron-Rare gas collisions—
Lighting, Discharge,....

Born, Bethe, Massey,.....

Rydberg, Auger,.....

1945 Synchrotron, Accelerator,....

1970 Laser, Ion sources,....

1980- Explosion!

**Development of
Quantum Mechanics**

**Atomic energy,
Space Science
Fusion, Medical,
High-Tech.,....**

- Number of atoms and molecules

1 cm ³ 中:	~ 10^{23} 個	固体
	2.7×10^{19} 個	常温1気圧気体
	10-10000個	星間空間

原子衝突の研究の歴史

1911 Rutherford and Geiger

α 粒子-金薄膜衝突による
原子モデルの確立

1914 Franck and Hertz

電子線による原子の
離散エネルギーの発見

~1930 Ramsaur and Townsend

放電による希ガス衝突

Rydberg, Born, Bethe, Massey-Mott, Auger,.....

量子力学の創設と完成に大いに貢献

~1945以降

シンクロトロン、加速器、レーザー、核融合、医療.....

近代技術発展に多大な貢献

Collisions processes

• Ion impact

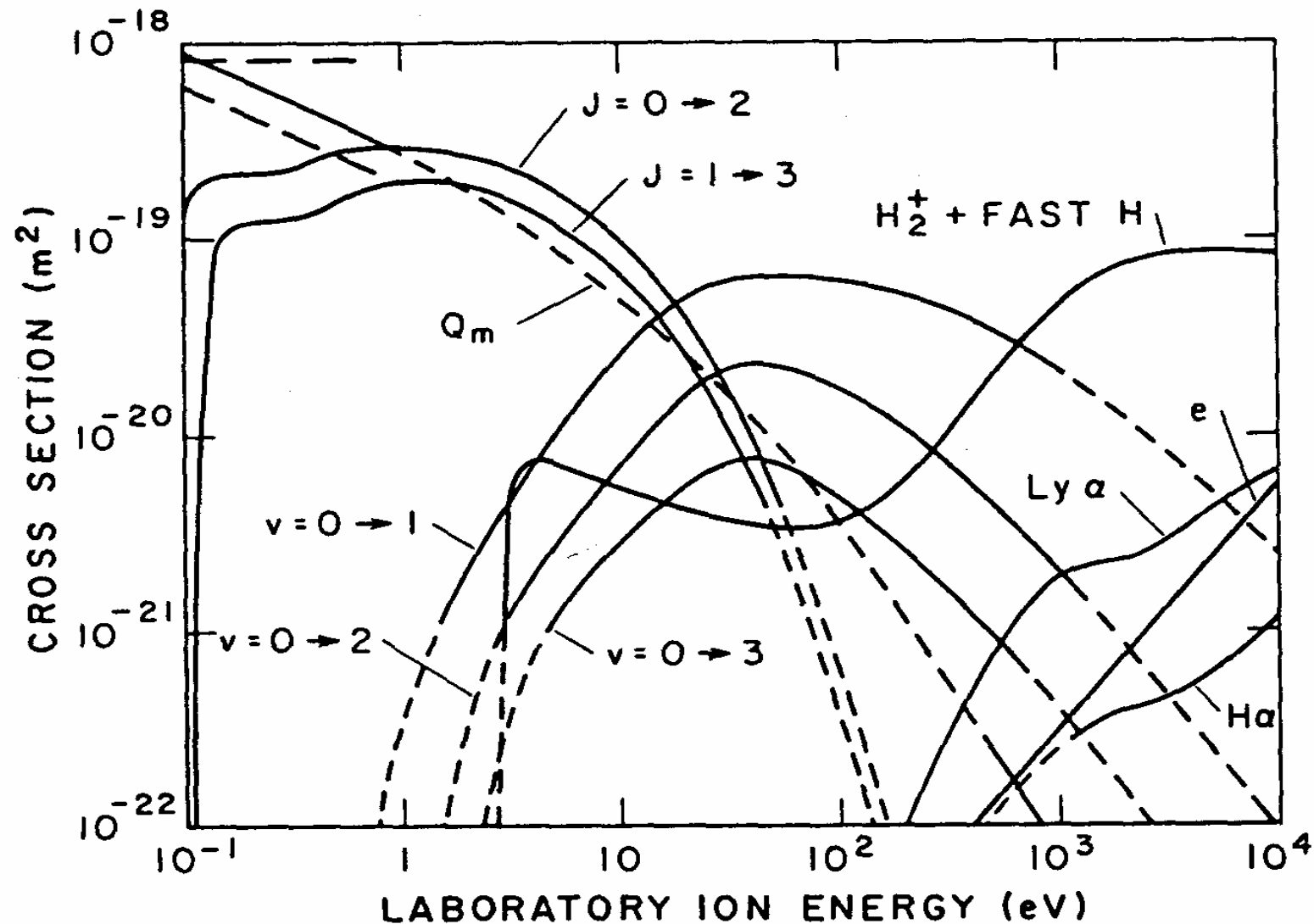
$A^+ + B \rightarrow A + B$	Elastic	no threshold
$\uparrow \rightarrow A^+ + B^+ + e^-$	Ionization	$\sim 10\text{eV}$
$\rightarrow A + B^+$	Charge transfer	$\sim \text{eV}$
$\rightarrow A^+ + B^*$	Excitation (Electronic, Ro-vibrational)	$\sim \text{meV} - \sim 10\text{eV}$
$\downarrow \rightarrow C + D$	Reactive	$\sim \text{meV}$

• Electron impact

- $e^- + M \rightarrow M^{-*} \rightarrow A + B^-$ Dissociative Electron Attachment (DEA)

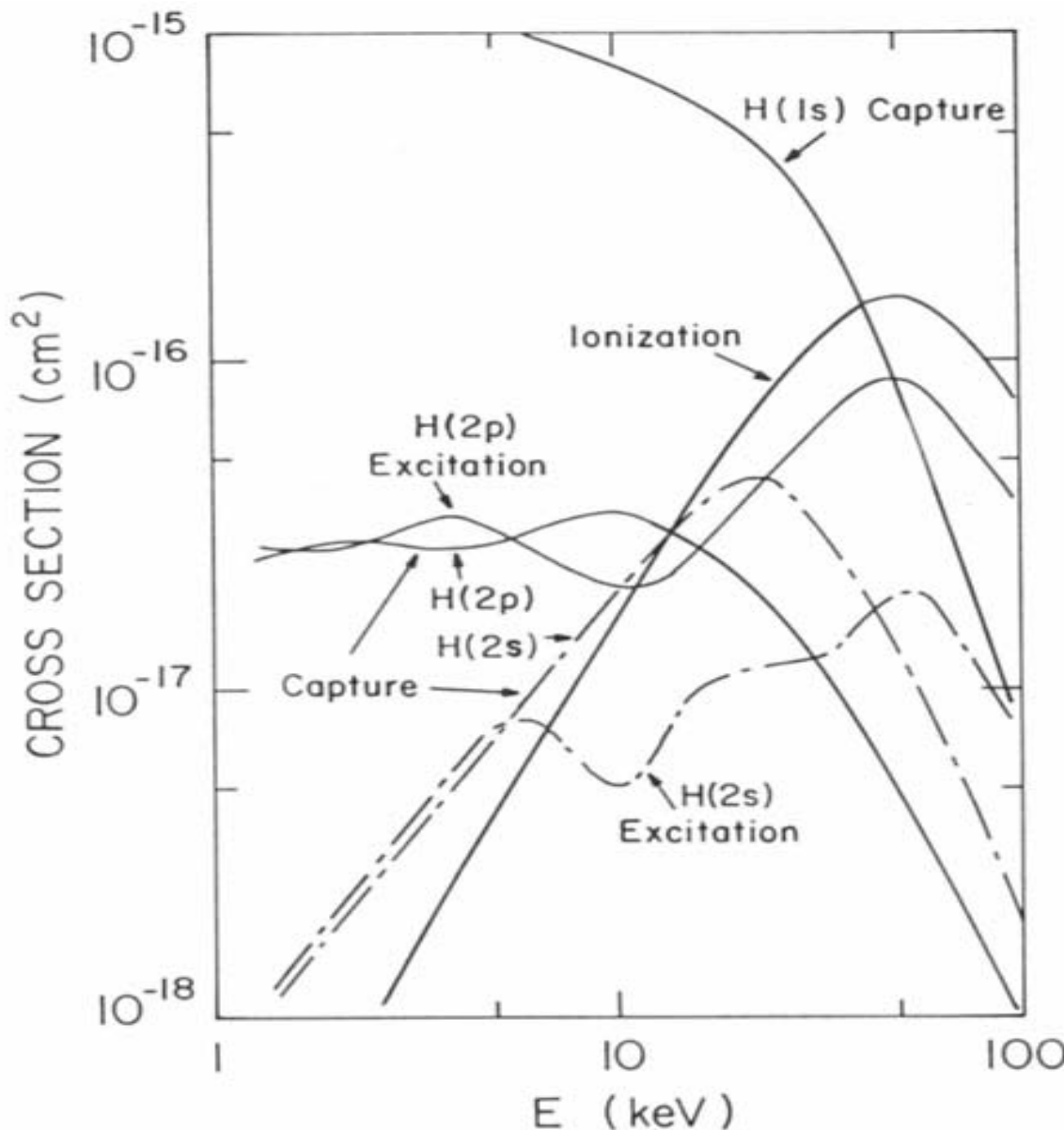
$H^+ + H_2$ Collisions:

Which processes are possible and how large are they?



$H^+ + H$ Collisions

: which processes are important in what degree ?



Energy:
1 eV = 23.1 kcal/mol
= 11000 K
= 8070 cm⁻¹

25 keV for H^+ ions
Corresponds to
the orbital velocity
of $H(1s)$ electron

Representative collision processes

ex. $\text{He}^+ + \text{H}$ collisions

■ Charge transfer: (electron capture)



■ Ionization: (of target particles)



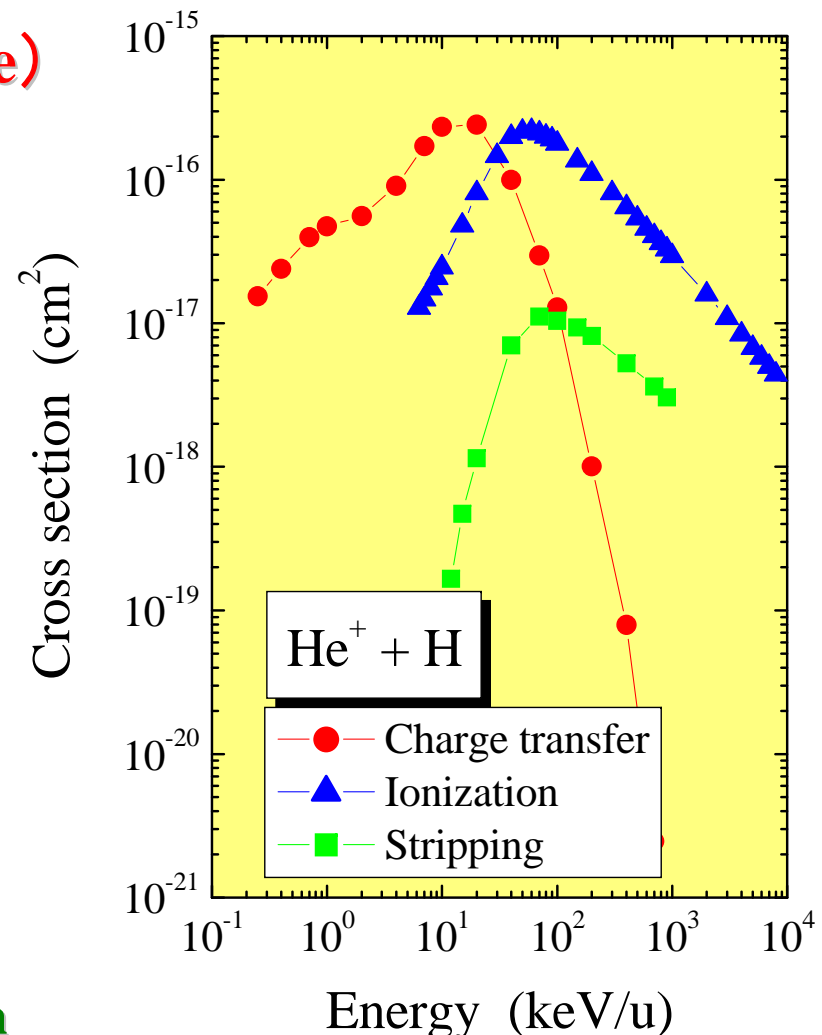
■ Stripping: (electron loss;
ionization of projectile ions)



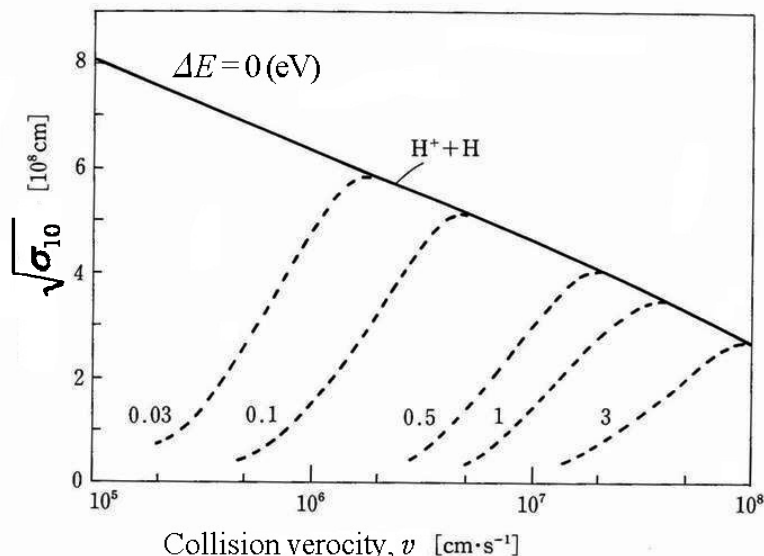
■ Charge transfer

→ dominant in low collision
energy region

■ Ionization and Stripping → dominant in
relatively high collision energy region



Resonant charge transfer process



D. Rapp and W. E. Francis, *J. Chem. Phys.*, 37, 2631 (1962)

I_A, I_B : Ionization potential
 ΔE : Energy defect

$\Delta E < 0$: endothermic

$\Delta E > 0$: exothermic

$\Delta E = 0$: Resonant charge transfer

$$\sigma_{\text{RES}} \sim (a - b \cdot \log v)^2$$

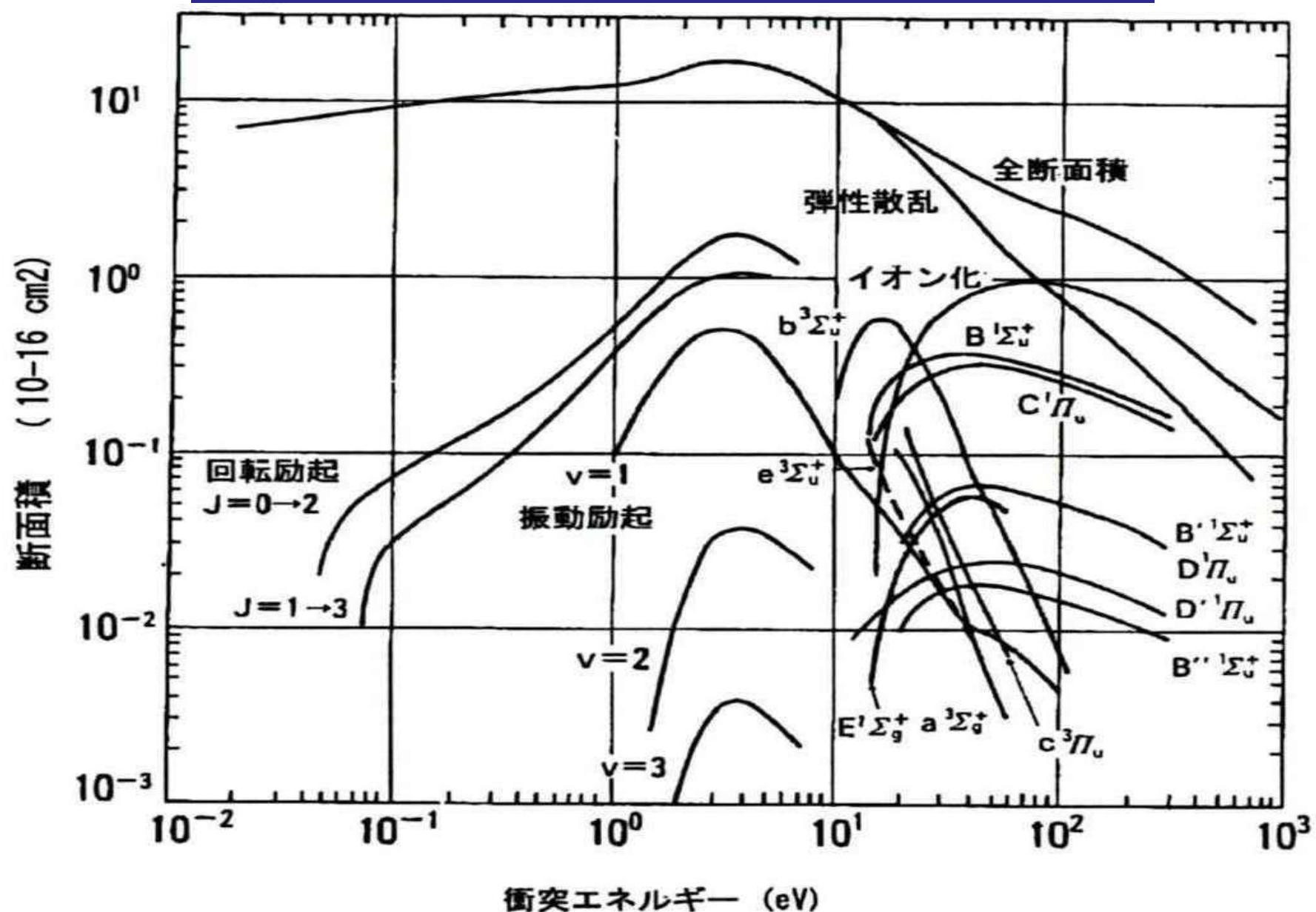
Molecular target M:



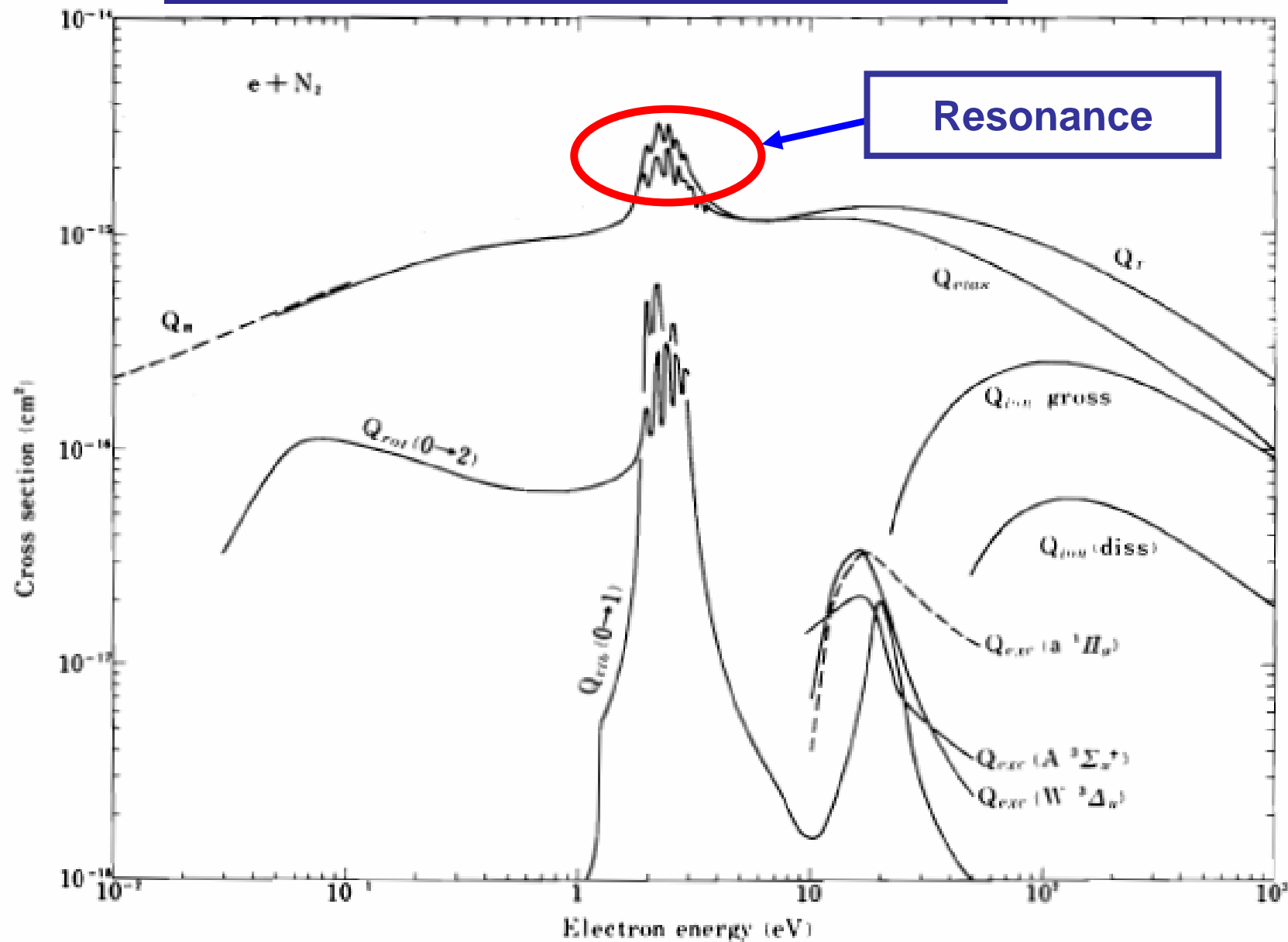
$$\Delta E = (I_A - [I_M + E(n_v)])$$

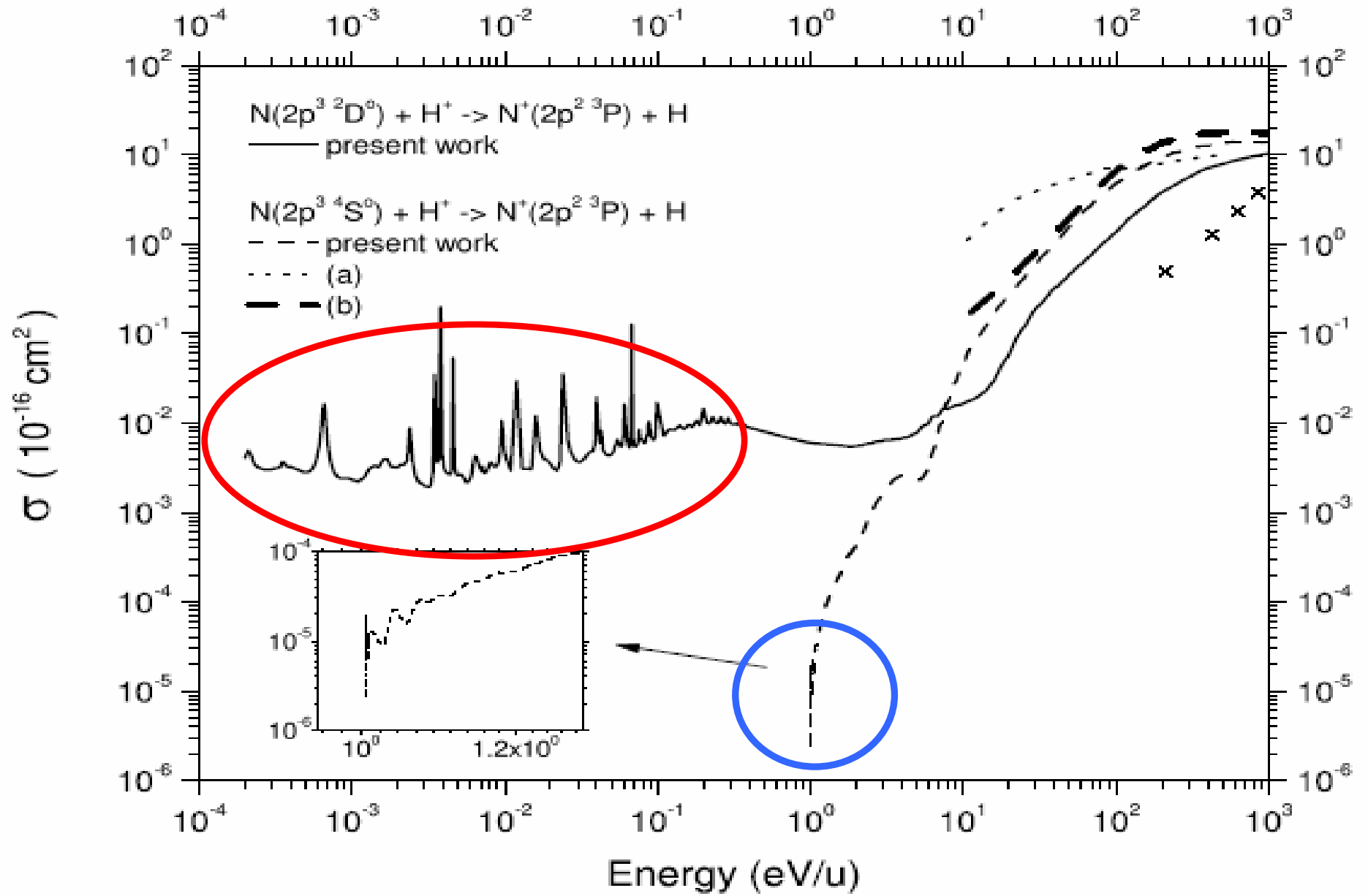
If $I_A > I_M$, the excess energy can be spent on making the vibrational excited states of the product molecular ions, and this results in creation of near or accidental resonant charge transfer channels.

e + H₂ collisions

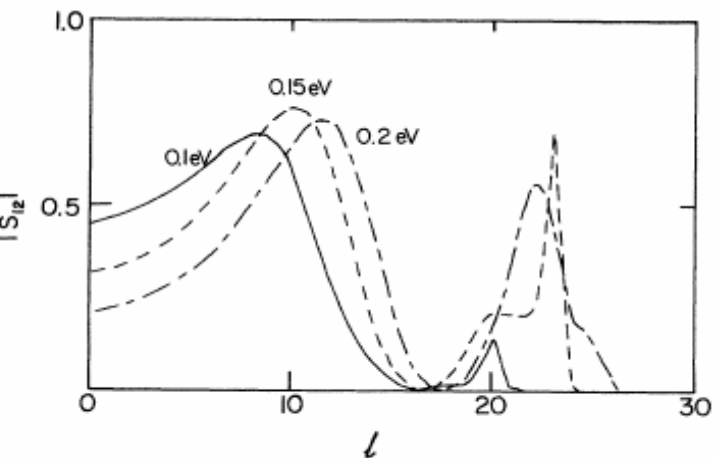
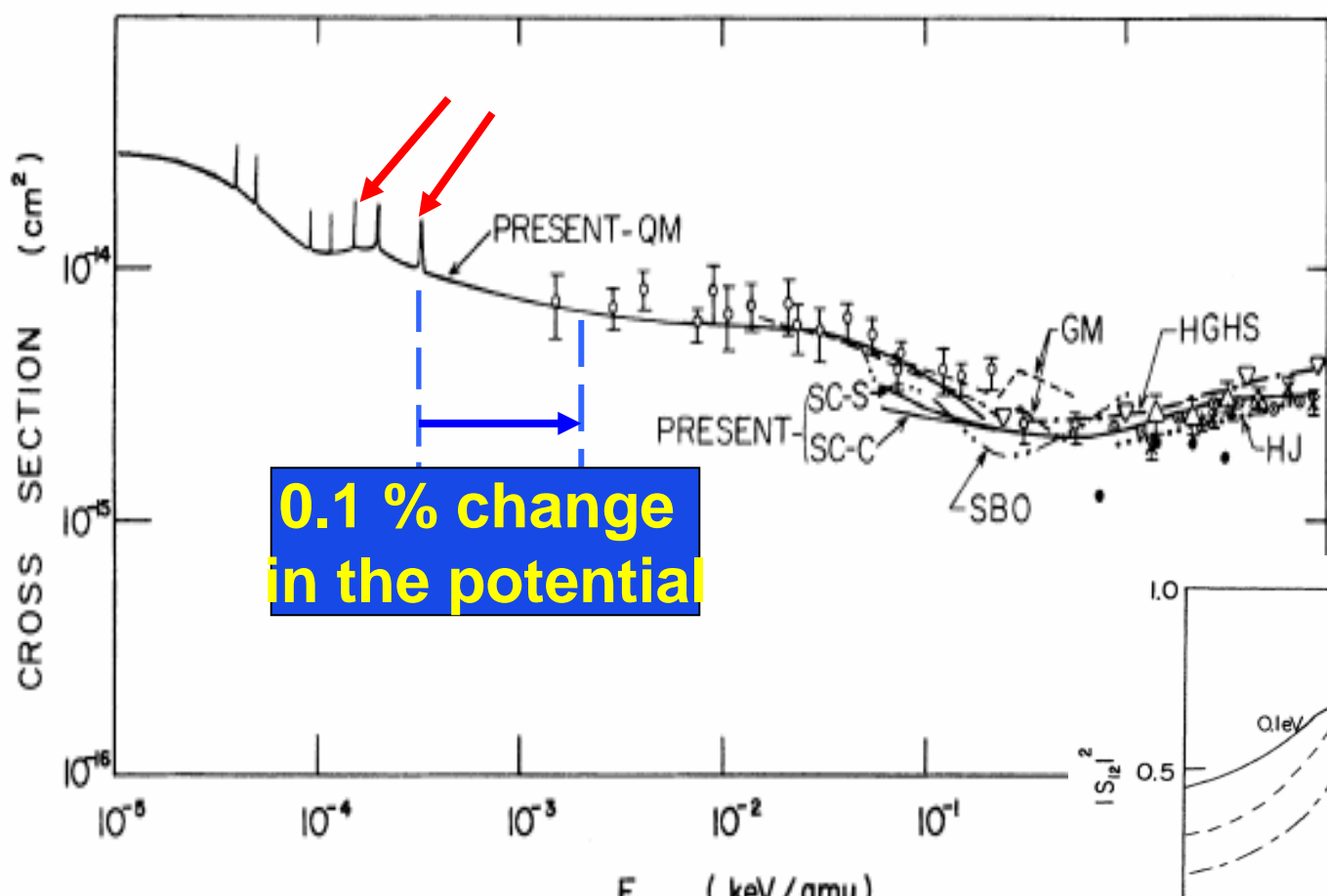


e + N₂ collisions





Charge transfer cross sections



PHYSICAL REVIEW A

VOLUME 44, NUMBER 3

1 AUGUST 1991

Electron capture in collisions of N^{5+} ions with H atoms from the meV to keV energy regions

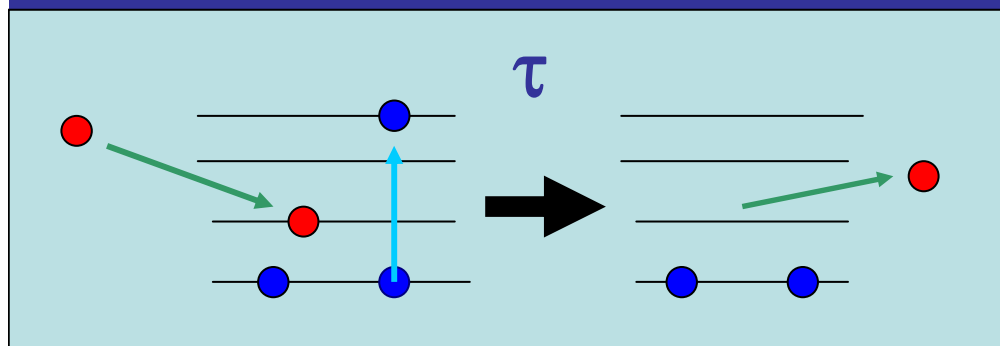
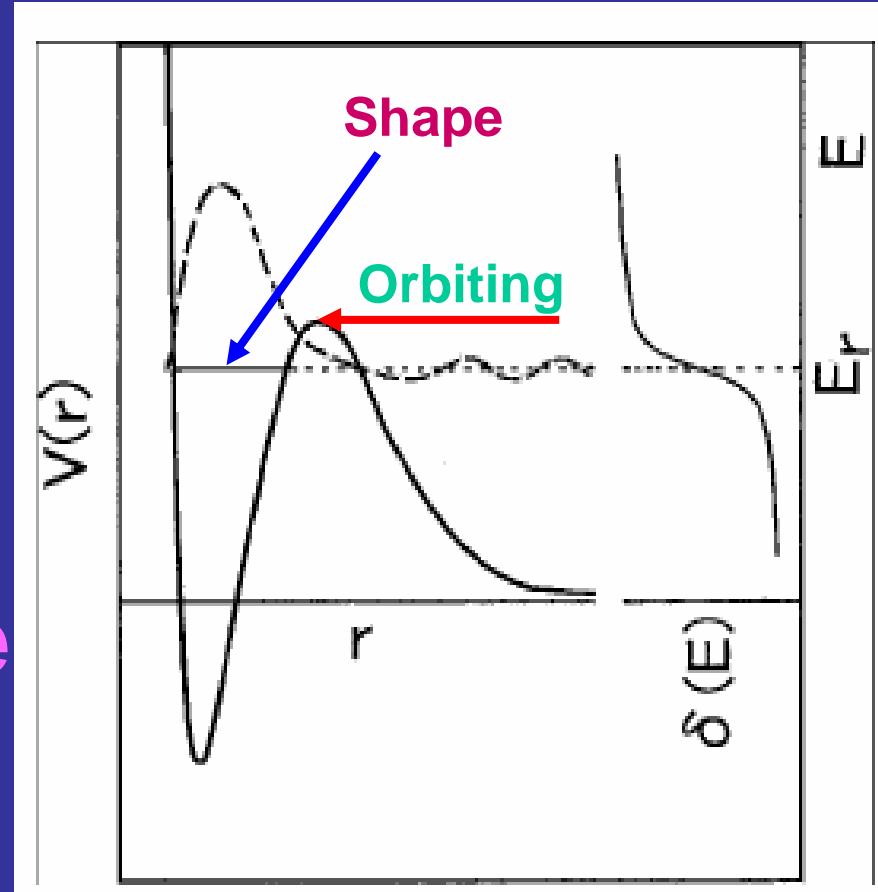
N. Shimakura* and M. Kimura

Argonne National Laboratory, Argonne, Illinois 60439

and Department of Physics, Rice University, Houston, Texas 77251

Resonances

- Shape resonance
1つのポテンシャル面
- Orbiting resonance
1つのポテンシャル面
- Feshbach resonance
内部状態の励起が関与



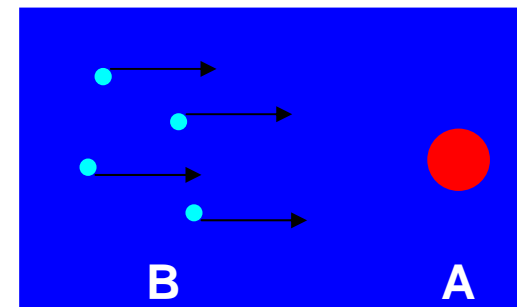
Conversion of energy unit

- $1 \text{ eV} = 1.602 \times 10^{-19} \text{ J} = 96.49 \text{ kJ/mol} = 23.06 \text{ kcal/mol} = 8065.7 \text{ cm}^{-1}$
- 1eV = 電子eを1ボルトの電位差で加速したときに電子が得るエネルギー

Basic of Atomic Collisions

- **Cross section**

BとAが衝突する頻度 f は、飛んでくる粒子の量に比例。1cm²の断面を単位時間当たり j 個の原子Bが通過すると、



$$f = \sigma \times j$$

ここで σ は断面積の次元を持つ物理量である。

入射粒子Bにとっては、標的粒子Aの断面積以内に入れば必ず衝突し、そこからはずれれば衝突しない。この σ を「衝突有効断面積」と呼ぶ。

ここで全粒子Bは同じ速度 v cm/s持つとし、 1cm^3 中に n_B 個あるとすると $j = n_B \times v$

$$\therefore f = n_B v \sigma$$

f を衝突頻度(Collision frequency)と呼ぶ。

また、

$$z = \sigma v$$

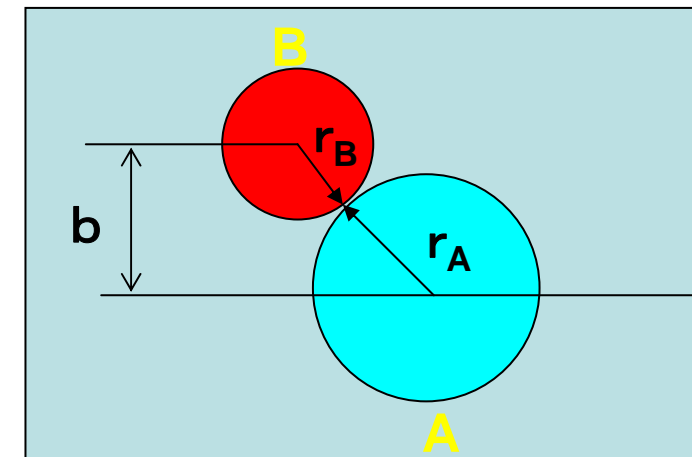
を衝突頻度因子(Collision frequency factor)と呼ぶ場合があるが、これは分子反応の反応し易さを表す反応定数に他ならない。

- More of Cross Sections

剛体球の衝突を考える。粒子A,Bの衝突で2つの球は
 $b \leq (r_A + r_B)$ なら必ず衝突する。粒子AとBが衝突する
 この場合の衝突有効断面積は

$$\sigma = \pi (r_A + r_B)$$

ここで原子分子のおおよその大きさ
 は 10^{-8}cm 程度であるのでその断面積
 の大きさはおおよそ 10^{-16} cm^2 が目安と
 考えられる。



- Note:

剛体球の場合、粒子の境界がはっきりしているが、原子分子の場合、
 境界ははっきりしておらず、原子分子の電子雲の広がりによる。
 従って、断面積の決定は原子分子1つずつ、又飛んでくる入射粒子
 ごとに、決める必要がある。一般に衝突断面積の大きさは 10^{-14}
 cm^2 - 10^{-17} cm^2

非弹性散乱断面積の場合

$$\sigma^{inel} = \sigma^{tot} \times p$$

p: ある非弹性散乱過程が起きる確率。

弹性散乱の場合の断面積と少し意味が異なっていることに注意。

- Experimentally determination of cross sections

$$I_{out} = I_{in} \exp(-\sigma \ell n_B)$$

where I_{out} , I_{in} are the final and initial beam intensities, respectively, ℓ is the length of the collision chamber, n_B the gas density, and σ cross section. By measuring I_{out} , I_{in} , σ can be determined.

- Total cross sections

$$\sigma^{tot}(E) = \sum_i \sigma_i(E) = \sigma_{el} + \sigma_{ion} + \sigma_{exc} + \dots$$

断面積と他の物理量の関係

- 平均自由行程(Mean free path)

$$\lambda_m = \frac{1}{n_B \sigma}$$

→ 電気伝導度、.....

- 拡散係数(Diffusion coefficient)

$$D = \frac{\nu \lambda}{3}$$

→ミクローマacroを繋ぐ量

熱伝導、電気伝導、

古典的な粒子の衝突を考える

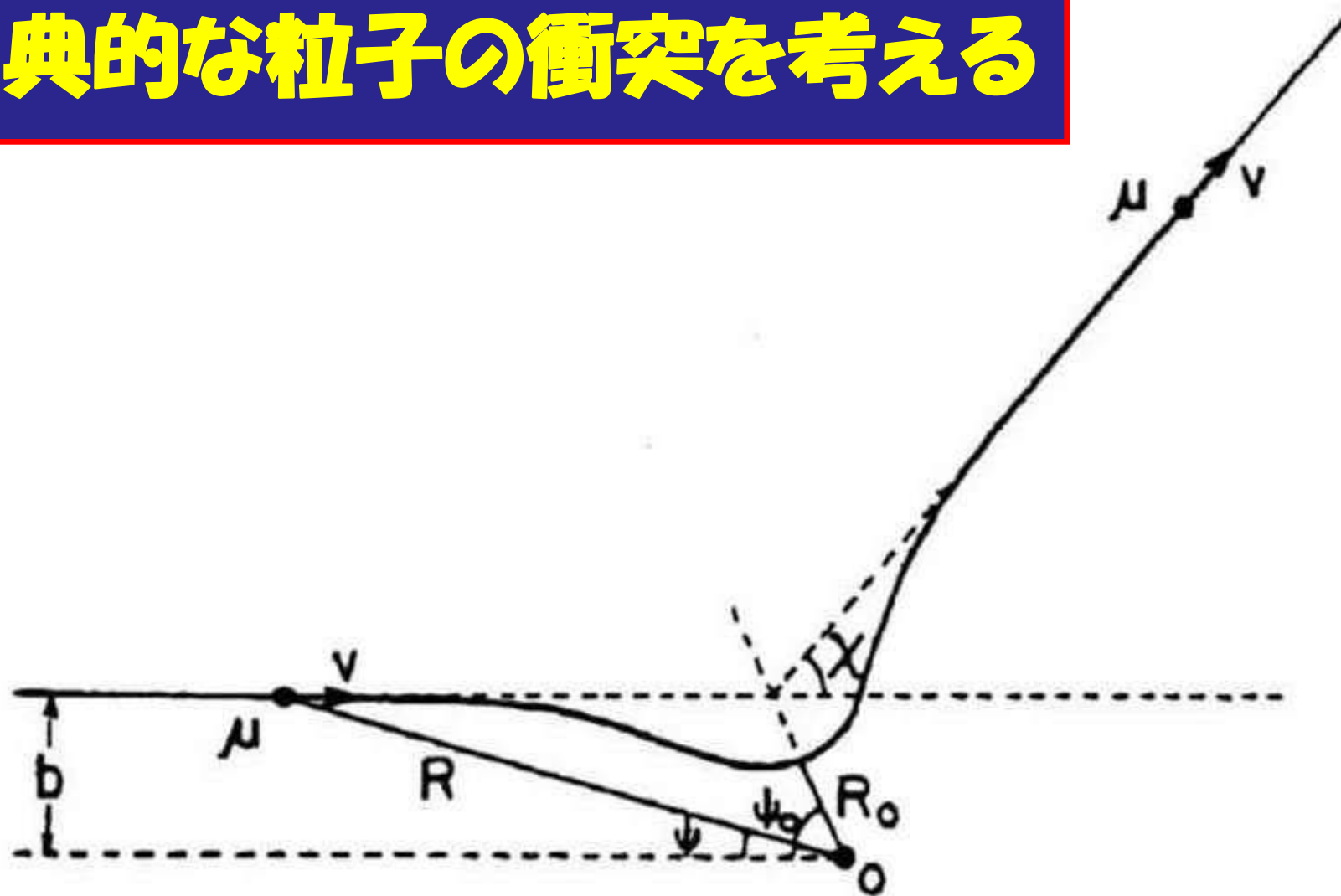


図 2.2.5 入射粒子と標的粒子との座標系

古典論による散乱

- 中心力場による散乱

散乱された粒子の散乱角 θ は衝突係数 b と衝突エネルギー E の関数として:散乱関数

$$\Theta(b, E) = \pi - 2 \int_{r_0}^{\infty} \frac{b}{\sqrt{1 - \frac{b^2}{r^2} - \frac{V(r)}{E}}} \frac{dr}{r^2}$$

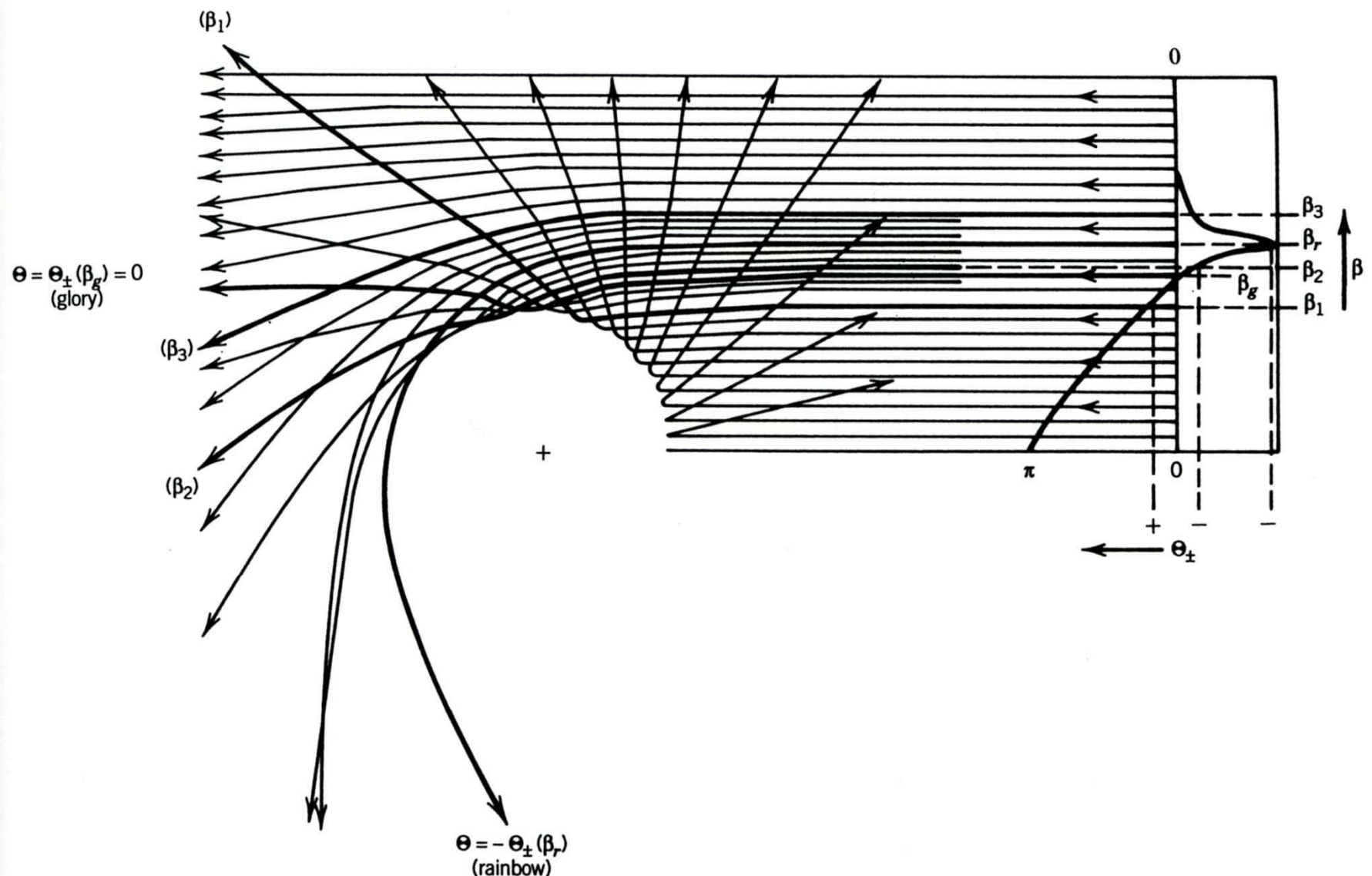
微分散乱断面積 $d\sigma/d\Omega$ は

$$\frac{d\sigma(E, \theta)}{d\Omega} = \frac{1}{\sin \theta} \sum_i b_i \left| \frac{1}{(\frac{d\Theta}{db})} \right|_{b_i}$$

断面積の発散

断面積と相互作用ポテンシャルの関係

異なる b から干渉が現れる



- $d\theta/db=0$ で微分断面積は発散
→ レインボウ(虹)散乱
- $\sin\theta=0$ で微分断面積は発散
→ グローリー散乱

散乱関数と位相のずれの関係

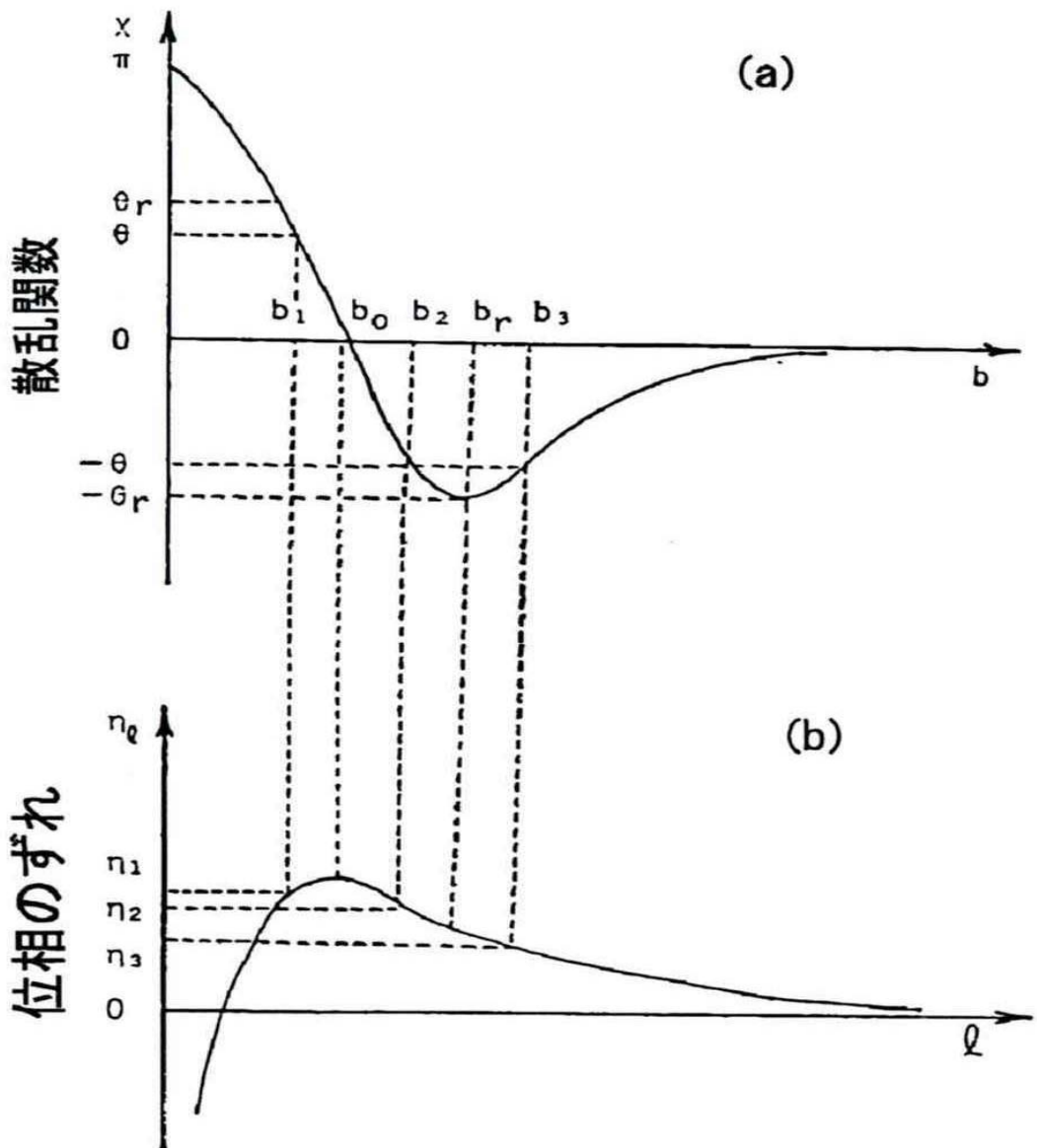


図 2.2.7 散乱関数と位相のずれと衝突係数との関係

散乱関数と 相互作用ポテンシャル $V(r)$ との関係

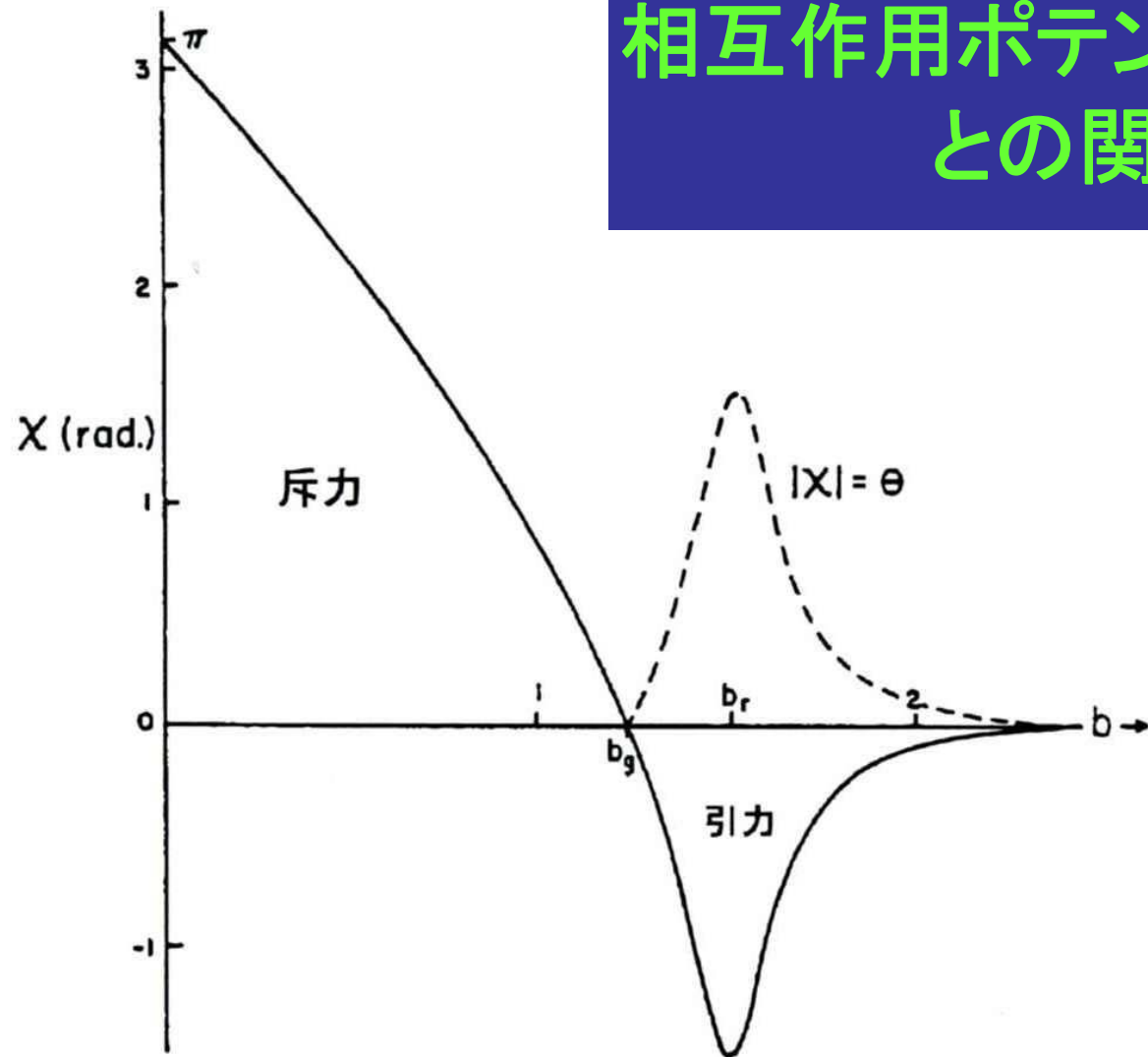


図 2.2.6 散乱関数とポテンシャルとの関連

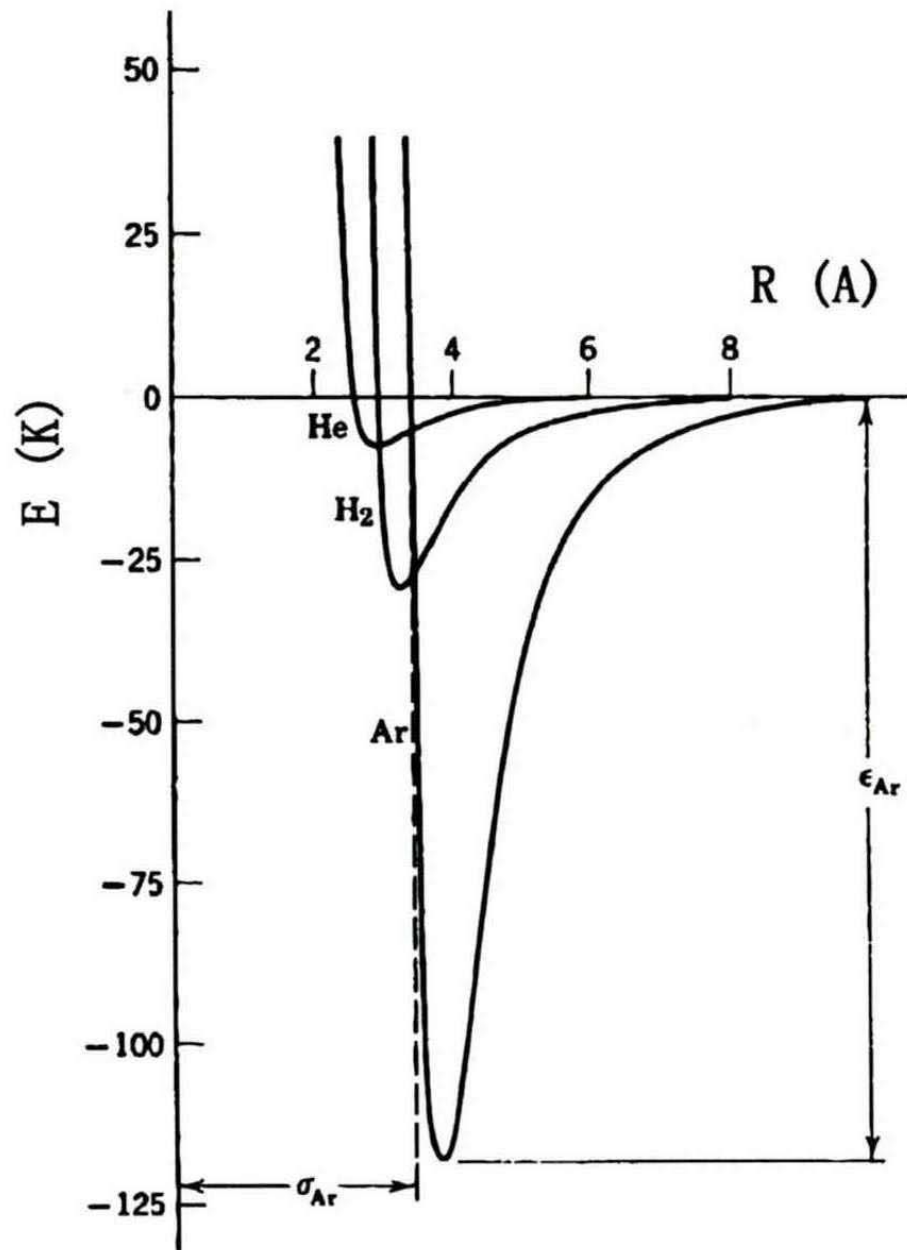
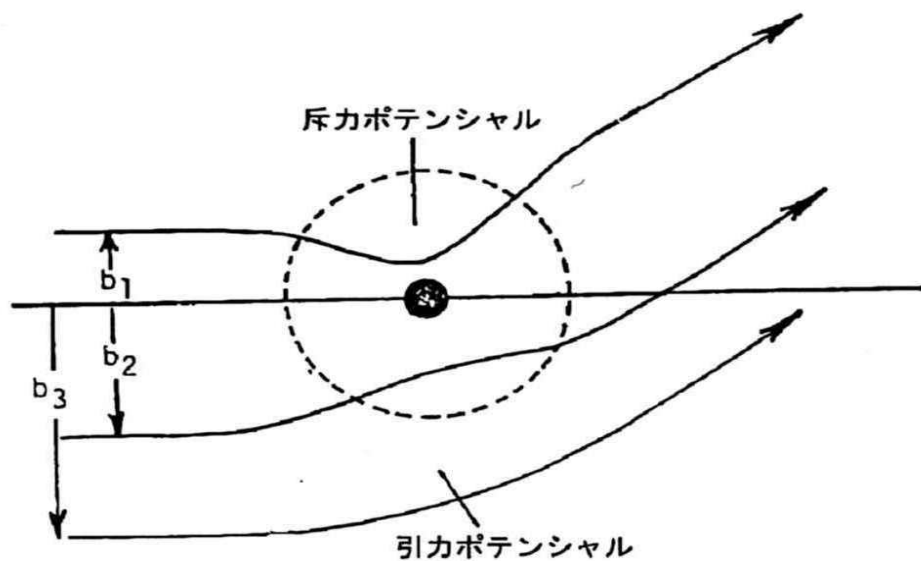


図 2.2.8 Lenard-Jones ポテンシャルの例

一般的な
相互作用ポテンシャル
——
Lenard-Jones (LJ)
Potential
基底状態のみ
(実験値+計算値から
製造)



相互作用ポテンシャル と レインボウ散乱 の関係

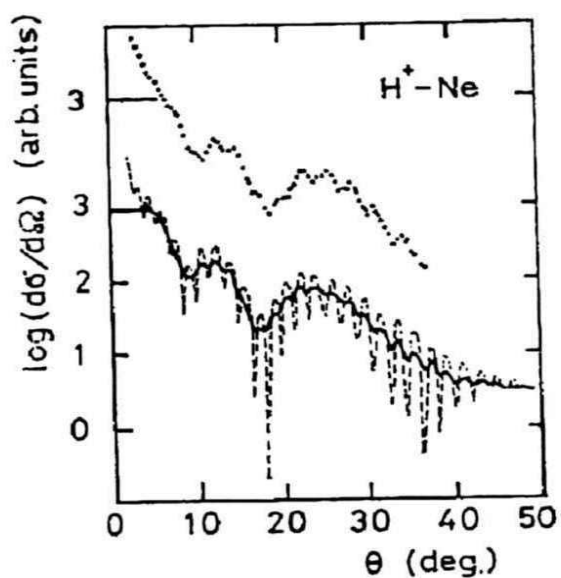


図 2.2.10 レインボー散乱とレインボー散乱の実験値例

相互作用ポテンシャル と グローリー散乱の関係

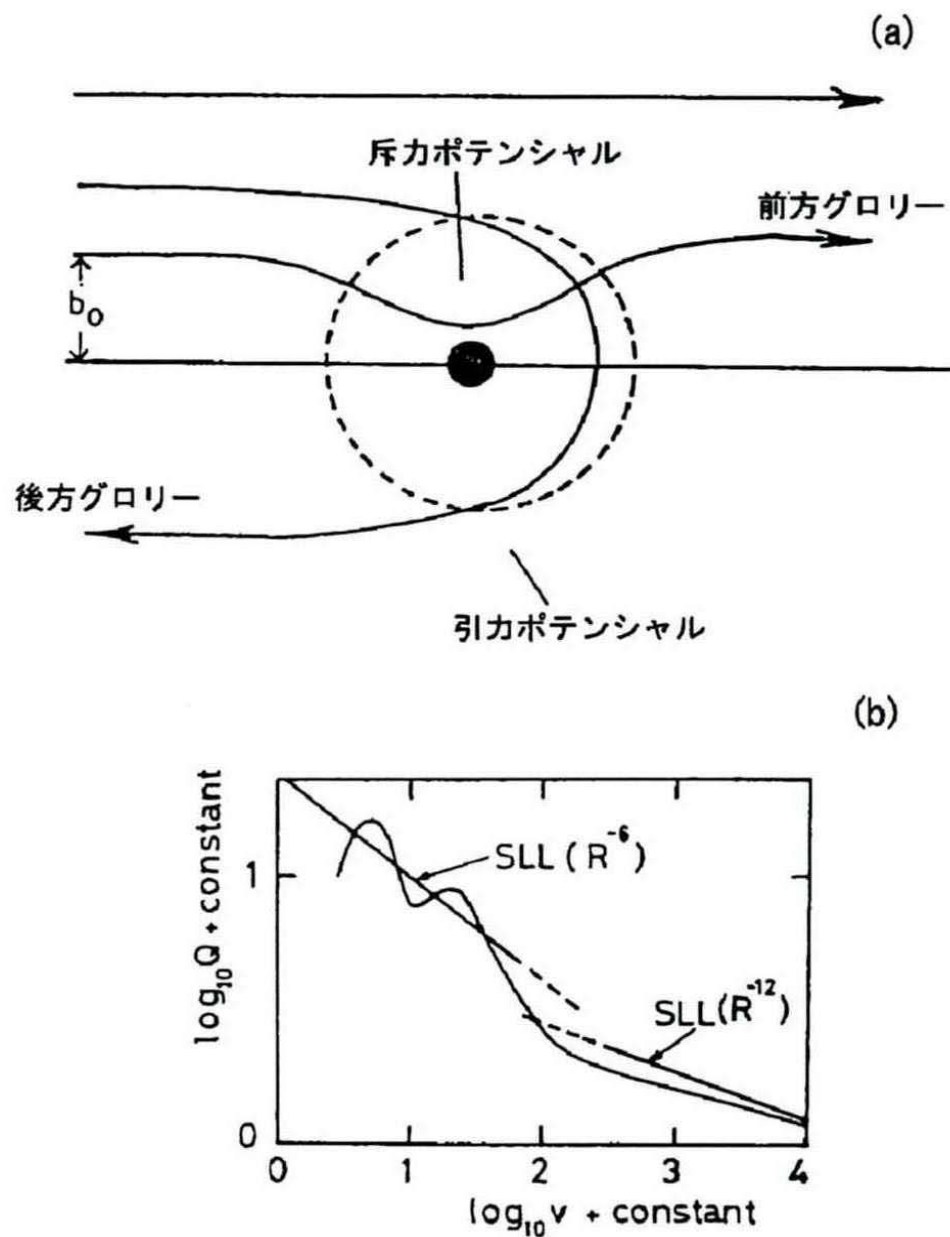
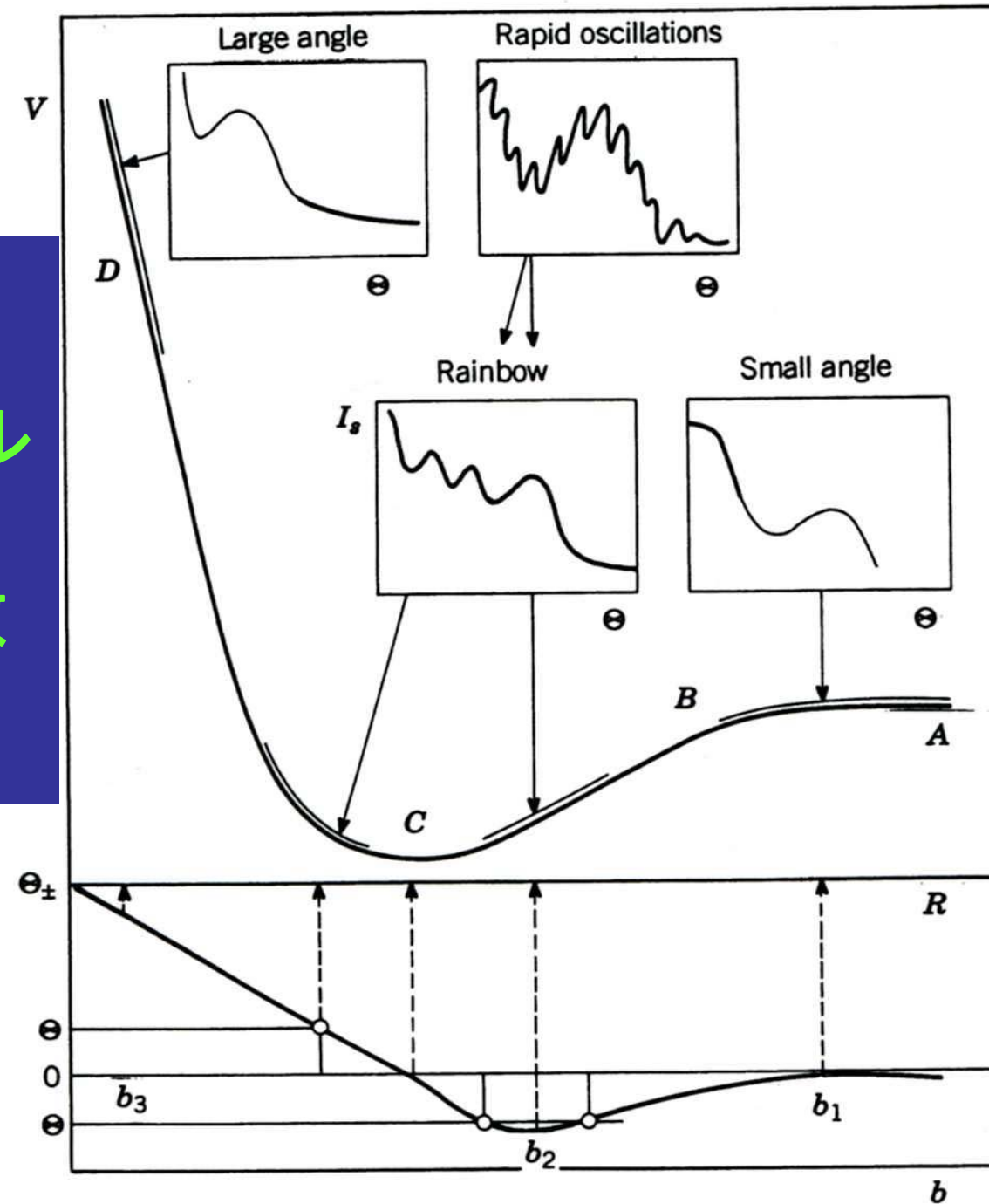


図 2.2.9 グローリー散乱と全断面積

相互作用 ポテンシャル $V(r)$ と散乱関数 との関係



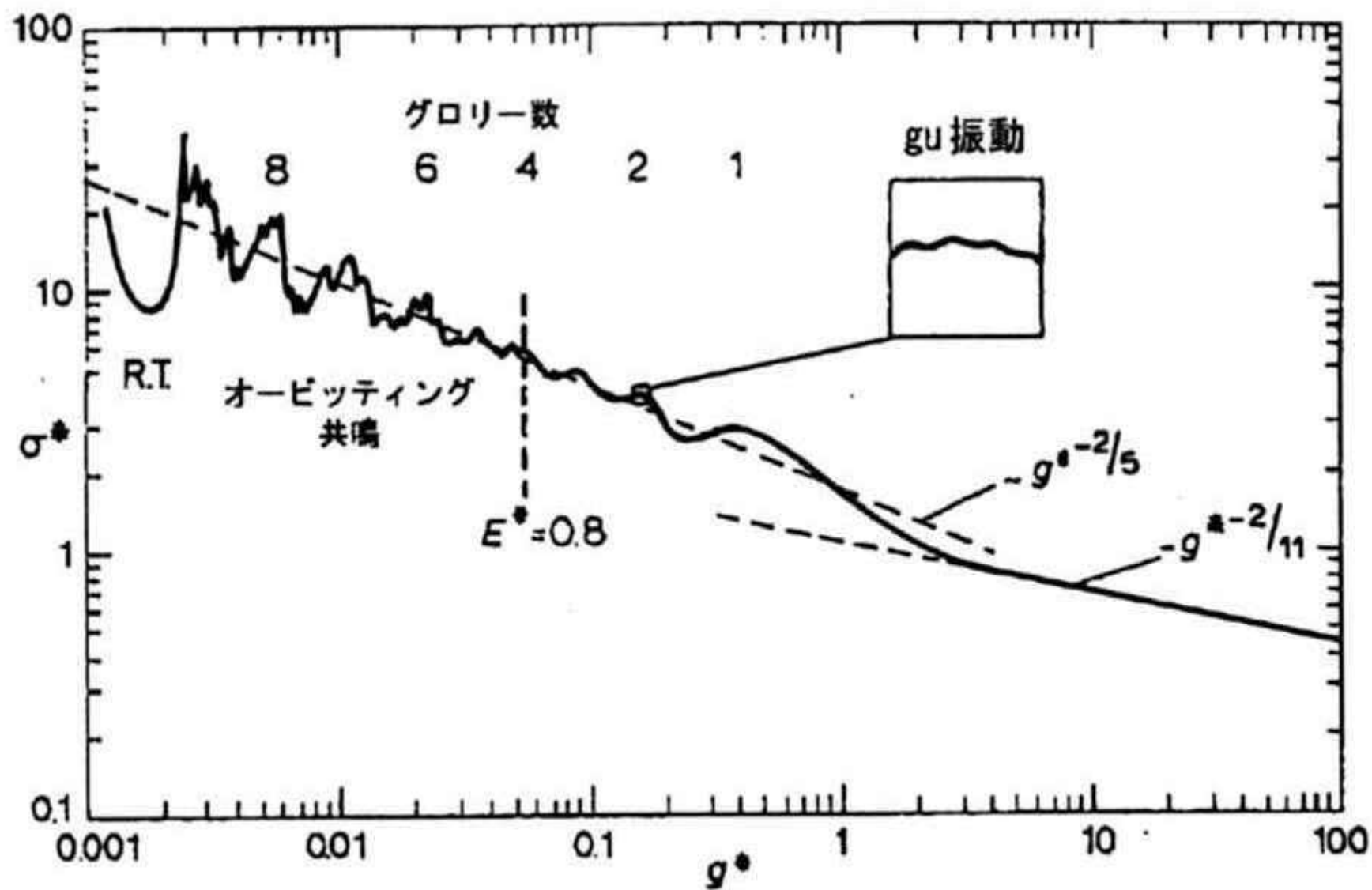


図 2.2.13 LJ ポテンシャルでの弾性散乱計算例

量子論による衝突論

- Schrödinger equation for the [e⁻ + p]

$$\nabla^2 \Psi + \frac{2m}{\hbar^2} \{E - V(r)\} \Psi = 0$$

(i) Bound state

$$\Psi \rightarrow C e^{-\alpha r}$$

減衰波

• E : Negative value

(ii) Continuum state

$$\Psi \rightarrow +C e^{ikz} + f(\theta, \varphi) \frac{e^{ikr}}{r}$$

入射波

散乱波

E: Positive value

where $f(\theta, \varphi)$ is the scattering amplitude.

- **Differential cross sections**

$$\frac{d\sigma(\theta, \varphi)}{d\Omega} = |f(\theta, \varphi)|^2$$

- **Total cross sections**

$$\sigma(E) = \int_0^{4\pi} |f(\theta, \varphi)|^2 d\Omega = \int_0^{4\pi} \frac{d\sigma(\theta, \varphi)}{d\Omega} d\Omega$$

$f(\theta, \varphi)$ の求め方

- 入射波

$$\phi_{in} = e^{ikz} = \sum_{l=0}^{\infty} (2l+1)i^l P_l(\cos\theta) \frac{\sin(kr - l\pi/2)}{kr}$$

- 散乱波

$$\phi_{scatt} = \phi - \phi_{in} = \sum_{l=0}^{\infty} \frac{e^{ikr}}{2ikr} (2l+1)(e^{2i\eta_l} - 1) P_l(\cos\theta)$$

η_i :位相差

- 散乱振幅

$$f(\theta) = \frac{1}{2ik} \sum_{l=0}^{\infty} (2l+1)(e^{2i\eta_l} - 1) P_l(\cos\theta)$$

- Scattering S-matrix

$$S = e^{2i\eta}$$

断面積

- 一般的な断面積の式

$$\sigma(E) = \frac{4\pi}{k^2} \sum_{l=0}^{\infty} (2l+1) \sin^2 \eta_l$$

- 部分波についての和とsin関数のために様々な構造が断面積に現れる。
- 共鳴、干渉、多体効果、.....

量子論: 共鳴構造の例

- 対称2状態(例: 水素原子ー水素原子)

$$\sigma(E) \propto \sum_l (2l+1) \sin^2 [\eta_g(l) - \eta_u(l)]$$

$$\Delta\eta \propto \int_b^\infty \frac{[V_g(R) - V_u(R)]}{\left(1 - \frac{b^2}{R^2}\right)^{1/2}} dR$$

- 断面積はポテンシャルの差に依存

断面積の構造

- **弹性散乱 (Single channel)**

Ramsauer-Townsend effect

Rainbow

Glory

Symmetry

- **共鳴**

形状共鳴(Shape resonance:ポテンシャル共鳴)

オービッティング共鳴(Orbiting resonance)

- **非弹性散乱 (Multi-channel)**

- **共鳴**

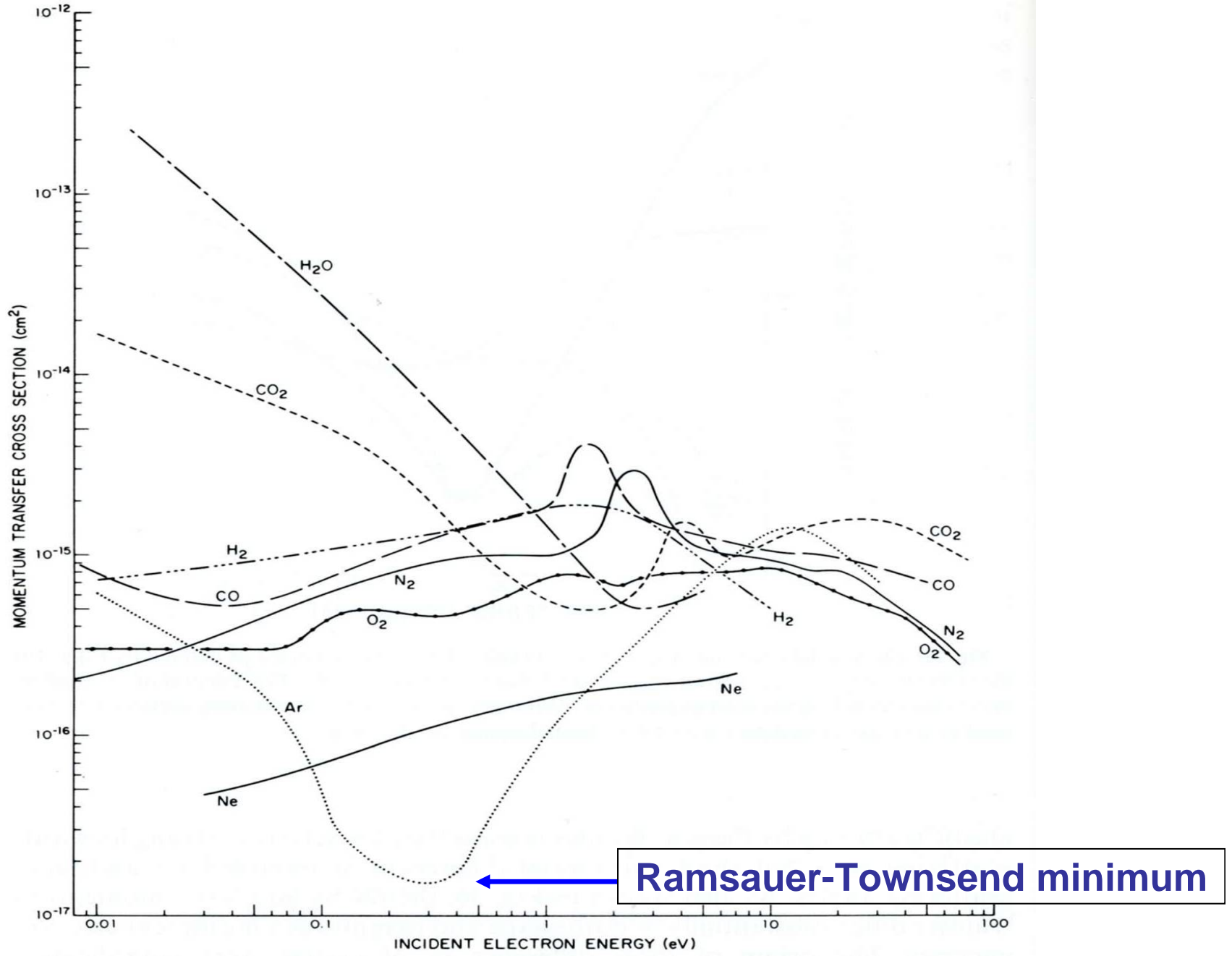
フェッシュバッハ共鳴(Feshbach resonance)

- **干涉**

反応道筋(Stückelberg,Rosenthal,...,Multi-channel)

- **多体効果**

Post-collision interaction, Shake-off,



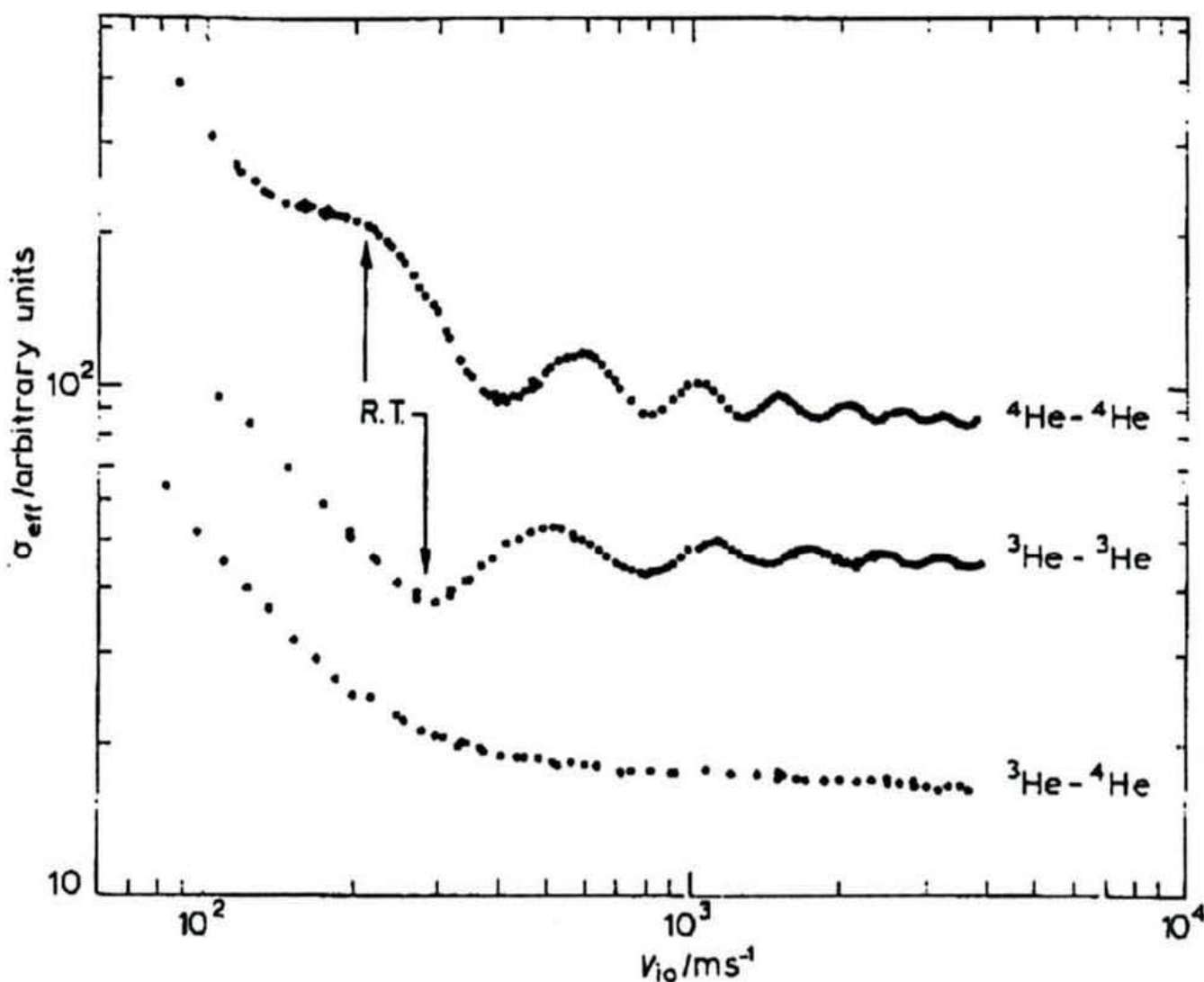


図 2.2.11 He-He 衝突による gu 振動。同じ質量の粒子間の衝突の時ののみ振動が表れる。

近似的な断面積:Born近似

- Born近似による断面積
 - (a) 相互作用が弱い。
 - (b) 入射波、散乱波のゆがみは小さい。

- 電子と原子の衝突を考える。

$H_a(r_a)$:原子のハミルトニアン、 $V(r_a, r)$:電子一原子 相互作用

$$\left\{ -\frac{\hbar^2}{2m} \nabla_r^2 + H_a(r_a) + V(r_a, r) - E \right\} \psi(r_a, r) = 0$$

$$\psi(r_a, r) = \sum_m F_m(r) \varphi_m(r_a)$$

$$H_a(r_a) \varphi_a(r_a) = \varepsilon_a \varphi_a(r_a)$$

Schrodinger eq.を書き換える。

$$(\nabla^2 + k_a^2)F_a(r) = \sum_{\beta} U_{\alpha\beta}(r)F_{\beta}(r)$$

$$U_{\alpha\beta}(r) = \frac{2m}{\hbar^2} \int \varphi_f^*(r_a) V(r_a, r) \varphi_a(r_a) dr_a$$

相互作用が小さいとし、右辺=0とおき、S. eqを解く

$$F^0{}_a(r) = \delta_{a0} \exp(ik_0 r)$$

$F^0_a(r)$ を代入すると

$$(\nabla^2 + k_a^2)F^0{}_a(r) = U_{a0}(r) \exp(ik_0 r)$$

上式を解くと

$$F_\alpha^1(r) = -\frac{1}{4\pi} \int \frac{\exp\{ik_\alpha |r - r'|\}}{|r - r'|} U_{\alpha 0}(r') \exp(ik_0 r') dr'$$

散乱波、 $\Psi = \psi_{in} + (f(\theta, \phi)/r)\psi_{out} = F^0 + F^1$, より
散乱振幅が求まり

$$f(0 \rightarrow \alpha; \theta, \phi) = -\frac{1}{4\pi} \int \exp\{i(k_0 - k_\alpha) \cdot r'\} U_{\alpha 0}(r') dr'$$



入射波、散乱波



標的原子の量

ExactなClosed coupling法

- 固有関数での全散乱波動関数の展開

$$\psi(\vec{r}, R) = \sum_i X_i(R) \phi_i^{BO}(\vec{r}, R) F_i$$

$X(R)$: 核波動関数、 $\phi(r, R)$: 電子波動関数、
 $F(r)$: Electron Transfer Factor (ETF)

- Quantum mechanical coupled equation

$$\frac{1}{2\mu} \left\{ -i \frac{\partial^2}{\partial R^2} + (\vec{P} + \vec{A}) \right\}^2 + \vec{\varepsilon}(R) - E \vec{I} \cdot \vec{X}(R) = 0$$

正確なClose-coupled equations

全散乱波動関数

$$\Psi(r,t) = \sum_n a_n(t) \varphi_n(r) e^{-iE_n t/\hbar}$$

半古典論によるCoupled equation

$$i\hbar \frac{da_n}{dt} = \sum_m V_{nm}(r) e^{i\Delta E_{nm}t/\hbar} a_m(t)$$

展開basisの波動関数を動選ぶか？

- If $V_{\text{rel}} \gg v_{\text{orb}}$, then it is regarded that during collisions, colliding particles keep their atomic characters.

→Atomic basis expansion

- If $V_{\text{rel}} \ll v_{\text{orb}}$, then colliding particles are considered to form quasi-molecule during collisions.

→Molecular basis expansion

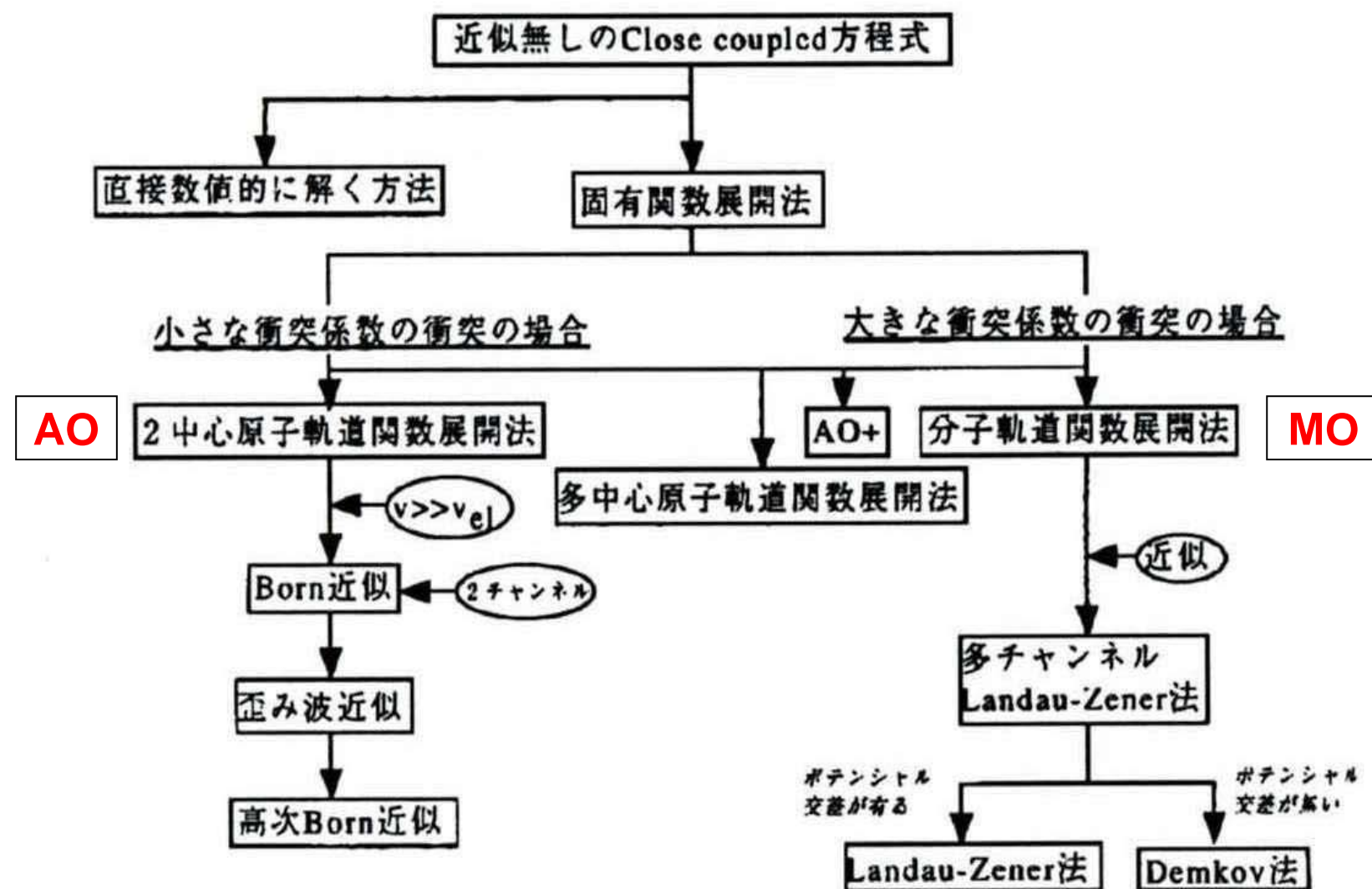


図 2.4.1 中間エネルギーで使われる理論モデル：緊密結合法と他の近似法との関係

*Born series*の収斂性

速度が十分高い場合、2項以降の寄与は小さく
第一項のみで十分断面積は収斂
→ First Born approx.

速度が遅くなるにつれ2項以降の項が寄与
→ Higher Born approx.

Lippmann-Schwinger eq.

$$\psi(r) = e^{ik_0 r} - \frac{2\mu}{\hbar^2} \frac{1}{4\pi} \int \frac{\exp(ik|r-r'|)}{|r-r'|} V(r') \psi(r') dr'$$

Vを摂動として波動関数を摂動展開し上式に代入

$$\psi = \psi^{(0)} + \psi^{(1)} + \psi^{(2)} + \dots$$

両辺で同じ次数と等しいとおくと Born 展開式

$$\psi^{(0)} = e^{ik_0 r}$$

$$\psi^{(n)} = -\frac{2\mu}{\hbar^2} \frac{1}{4\pi} \int \frac{\exp(ik|r-r'|)}{|r-r'|} V(r') \psi^{(n-1)}(r') dr'$$

Born展開断面積

$$\sigma^{Born} = \sigma^{(1Born)} + \sigma^{(2Born)} + \sigma^{(3Born)} + \dots$$

Born展開式が収斂するかどうかの保証はない。充分高い衝突エネルギーでは第1次Bornで旨く記述できるが、衝突エネルギーが低くなるにつれ高次項が必要になってくる。高次項の計算は非常に厄介。

Born近似のまとめ

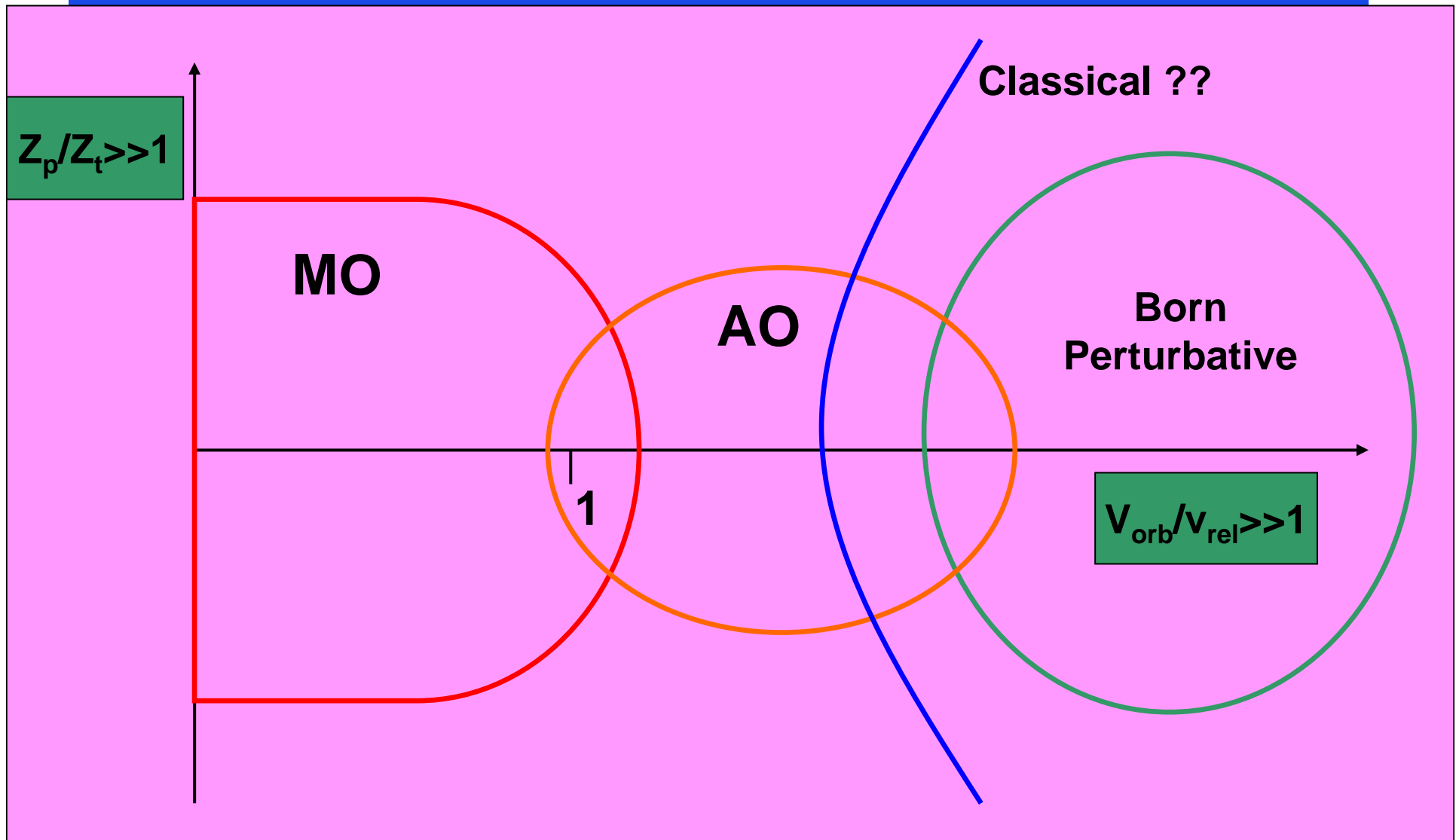
- 入射波、散乱波は平面波で近似。
- 相互作用は標的の波動関数にしかよらない。
- 2状態(channel)(初期状態、終状態)のみ考慮。

→高エネルギー衝突で遠距離衝突(相互作用時間が短く、相互作用が弱い)に成立。
→入射粒子に拠らない量になる。

Born まとめ一つづき

- 十分高速での衝突では第一項で十分断面積は収斂 \rightarrow 1st Born approx.
- 速度が遅くなるにつれ高い項が必要になる。
- しかし、どのエネルギーで高い項が必要になるかはアприオリには判らない。

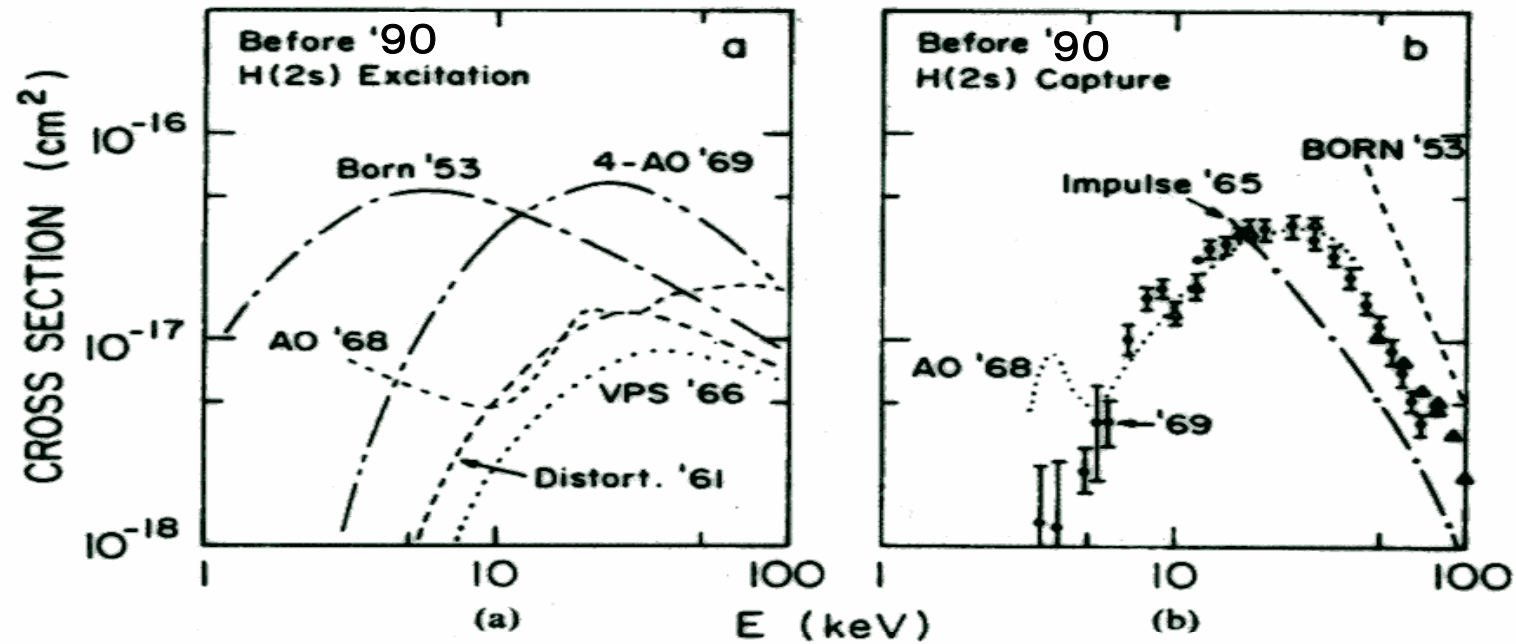
まとめ： 理論モデルの使える領域



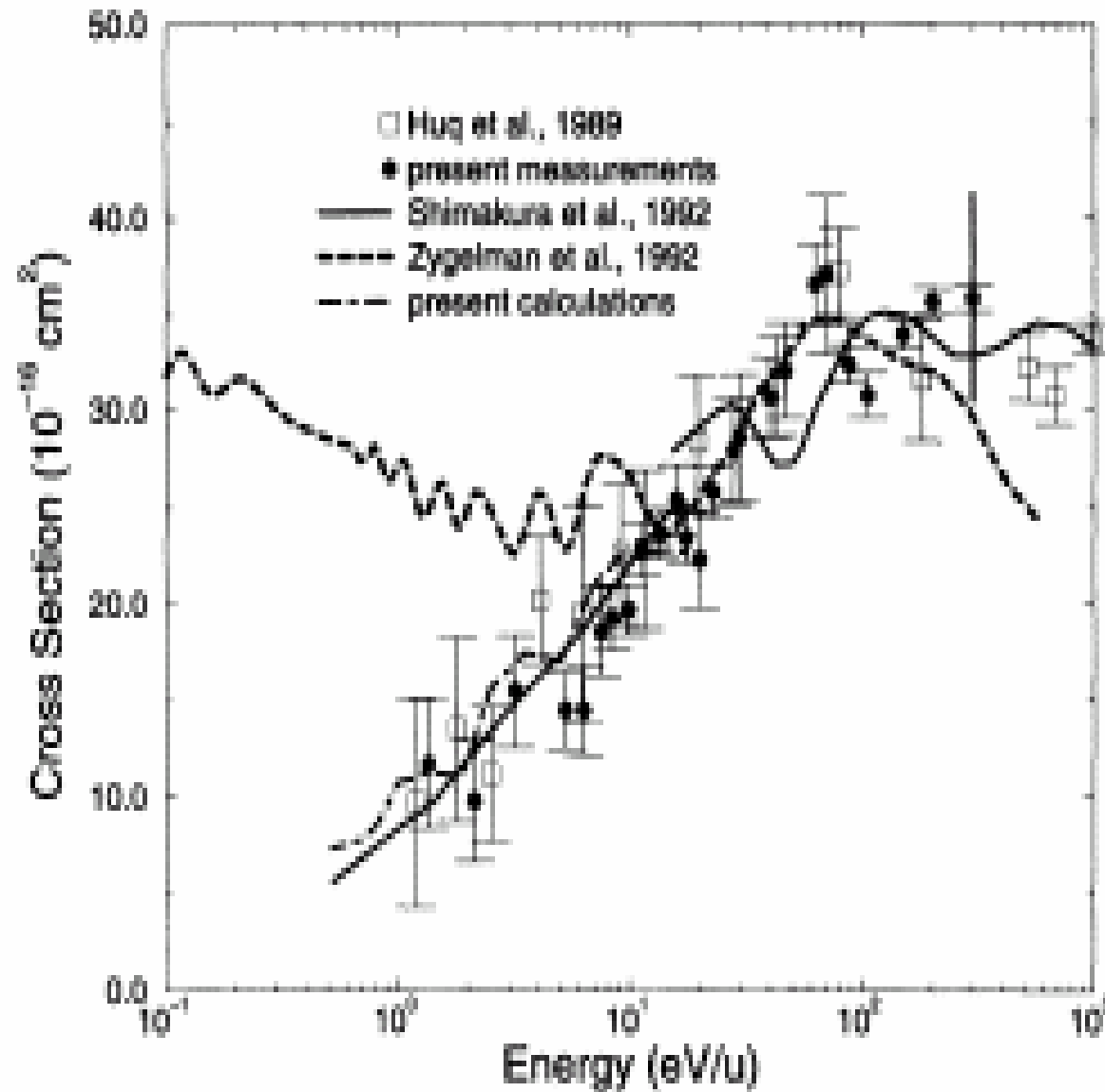
To Understand hydrogen is
to understand all of physics.

Victor Weisskoph

Charge transfer in $H^+ + H \rightarrow H + H^+$ collisions

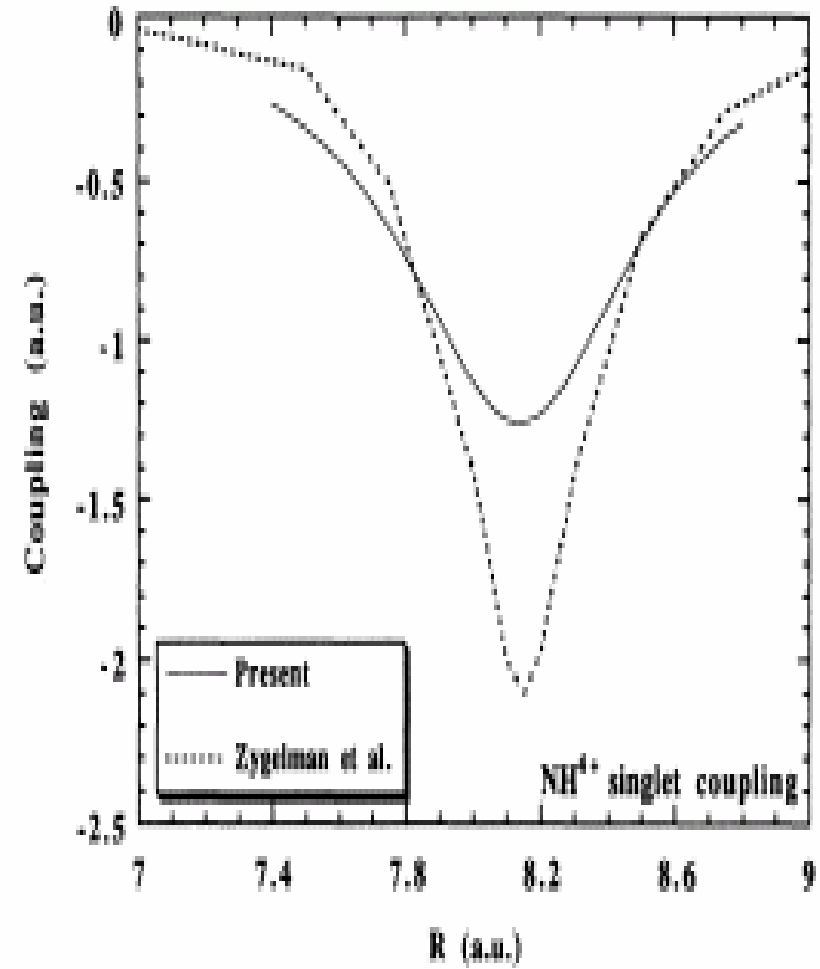
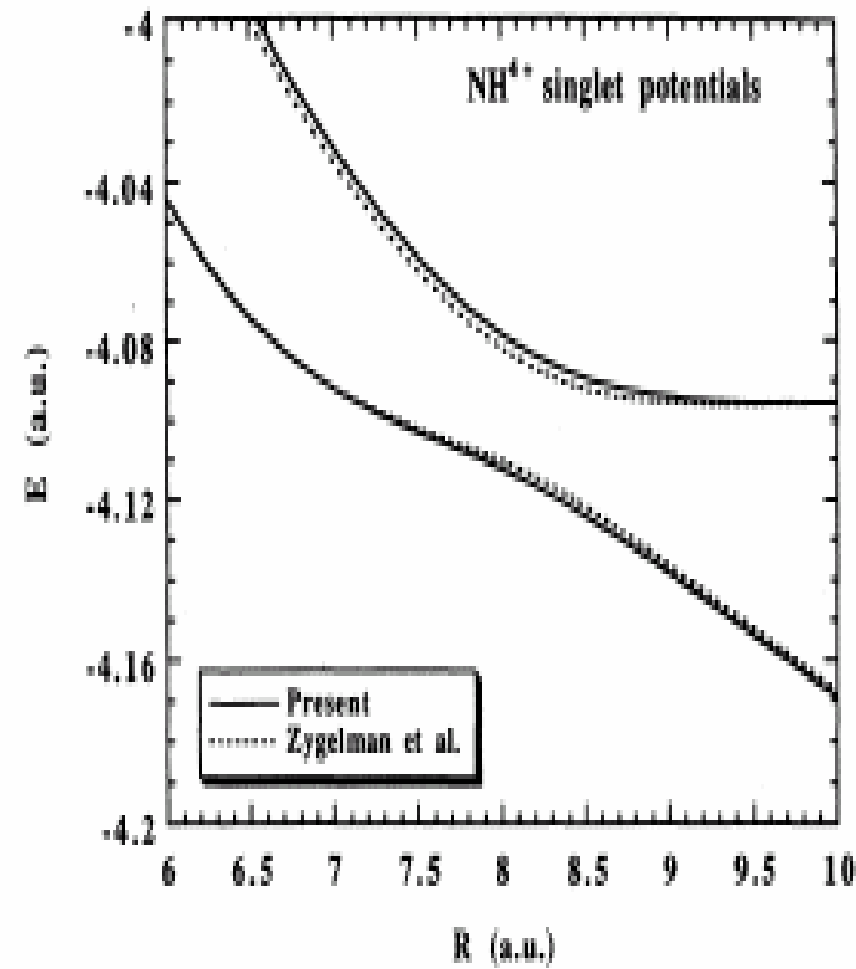


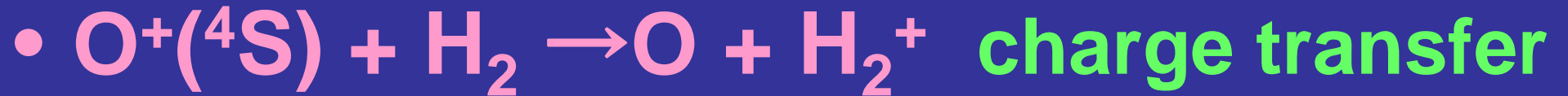
Charge Transfer in $\text{N}^{4+} + \text{H}$ Collisions



Two sets of
Theoretical
results

Adiabatic potentials for the initial and final states, and the coupling





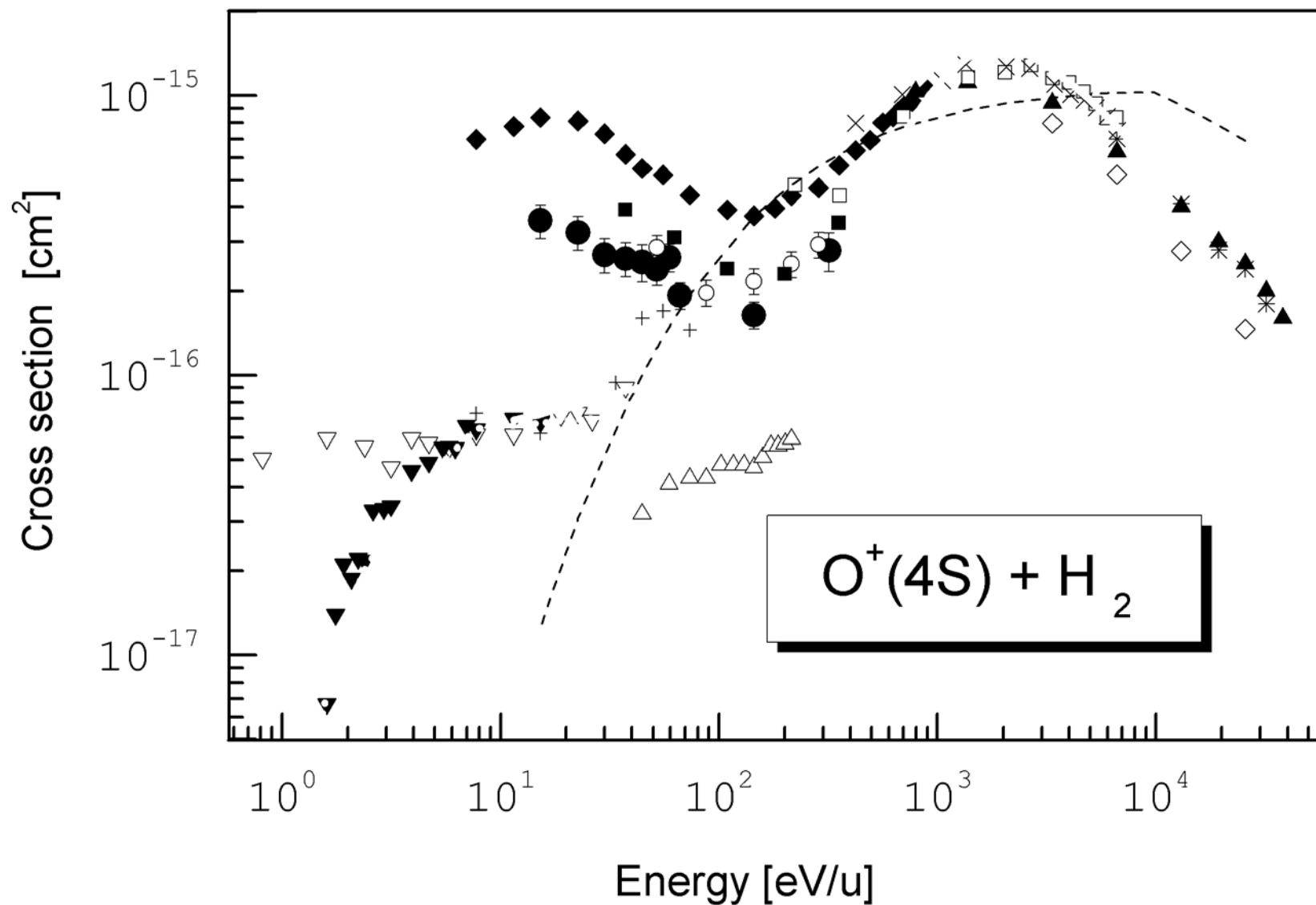
Important process for
astrochemistry and atmospheric
science

- 2 sets of the experimental data
below ~ 100 eV

Initial charge transfer reaction for chemistry chains

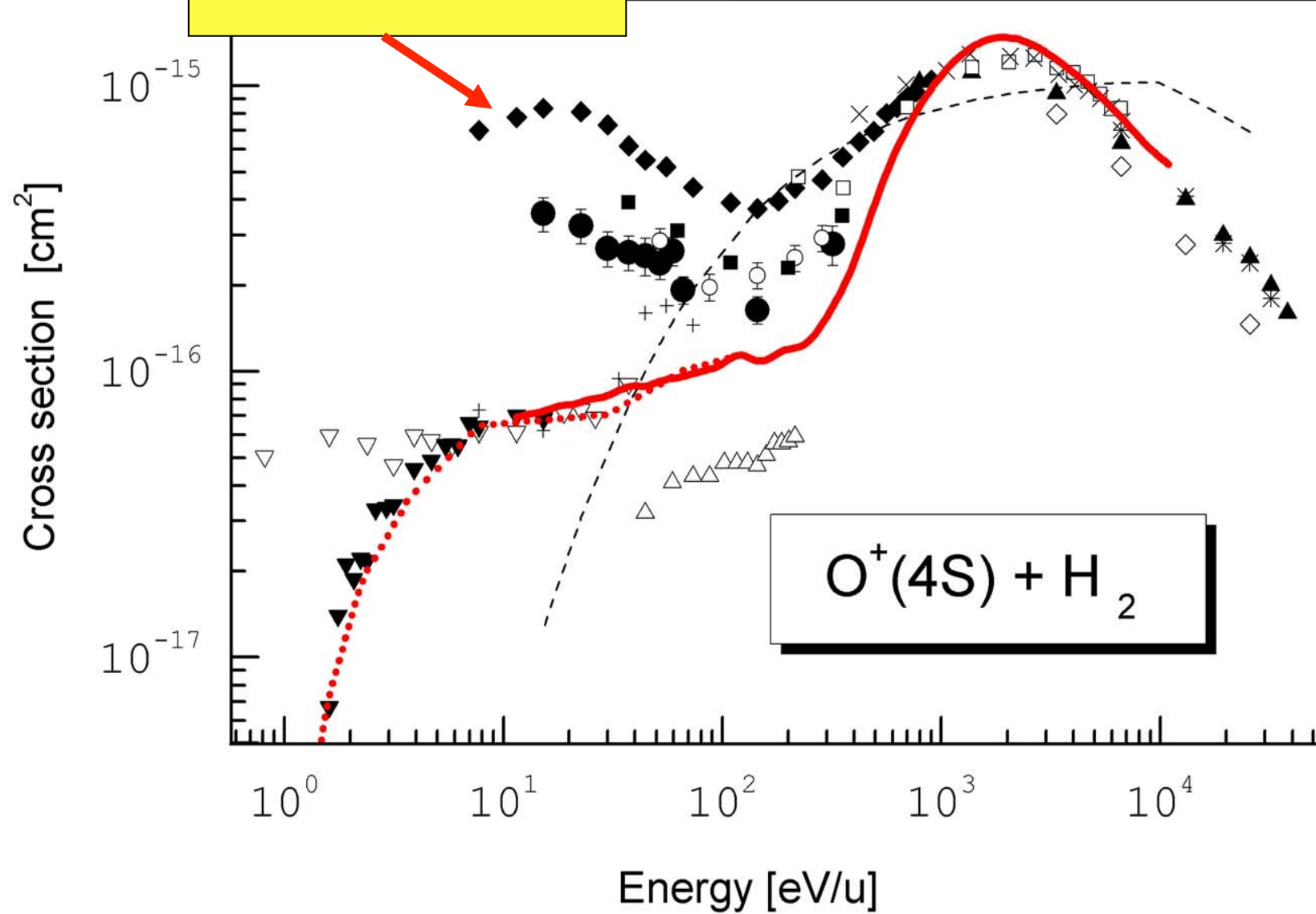
Cosmic heavy-ions with H₂ reaction.

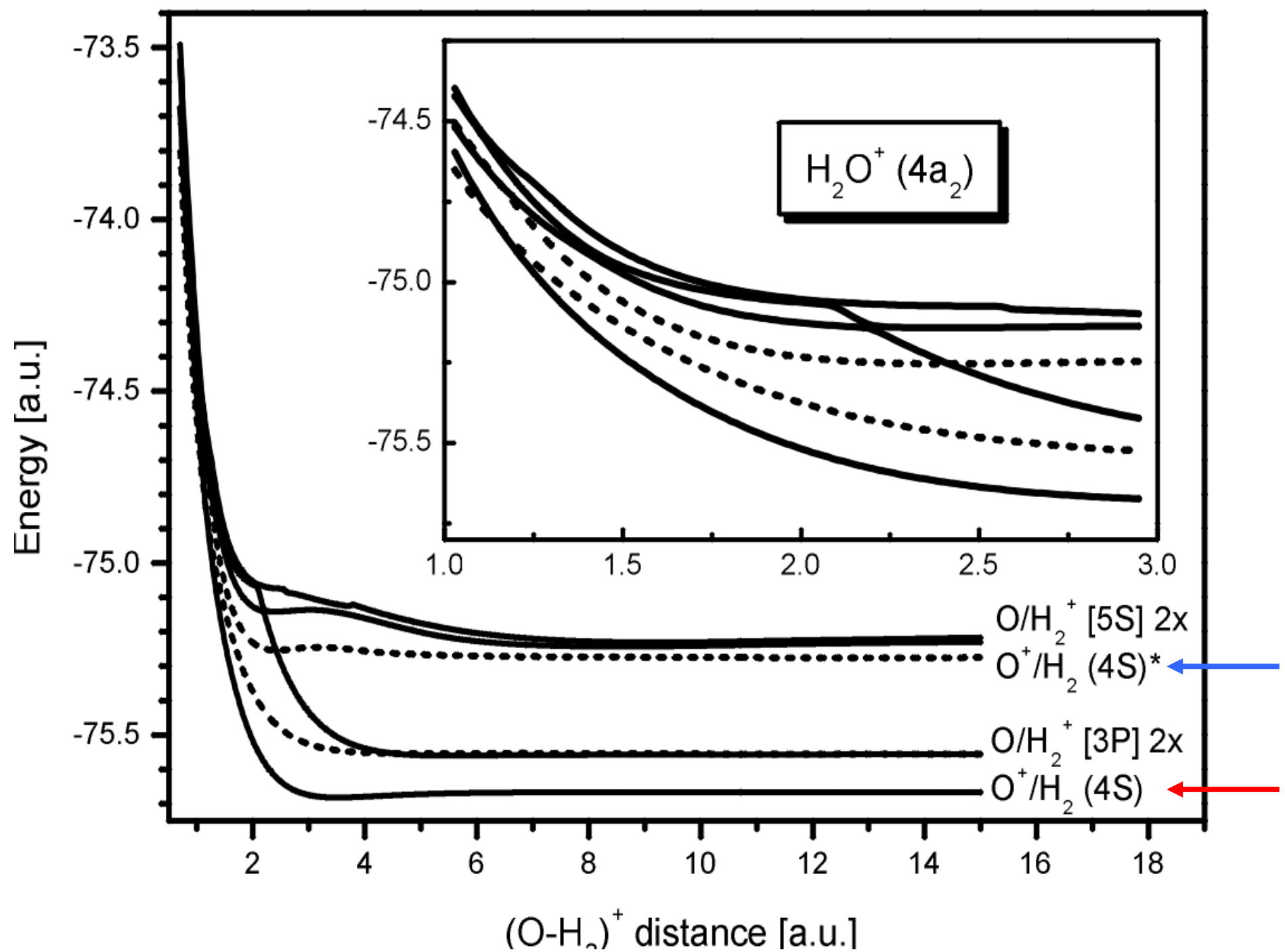
- O⁺ + H₂ → O + H₂⁺
- O⁺ + H₂ → OH⁺ + H



Contribution from
metastable O⁺ ions

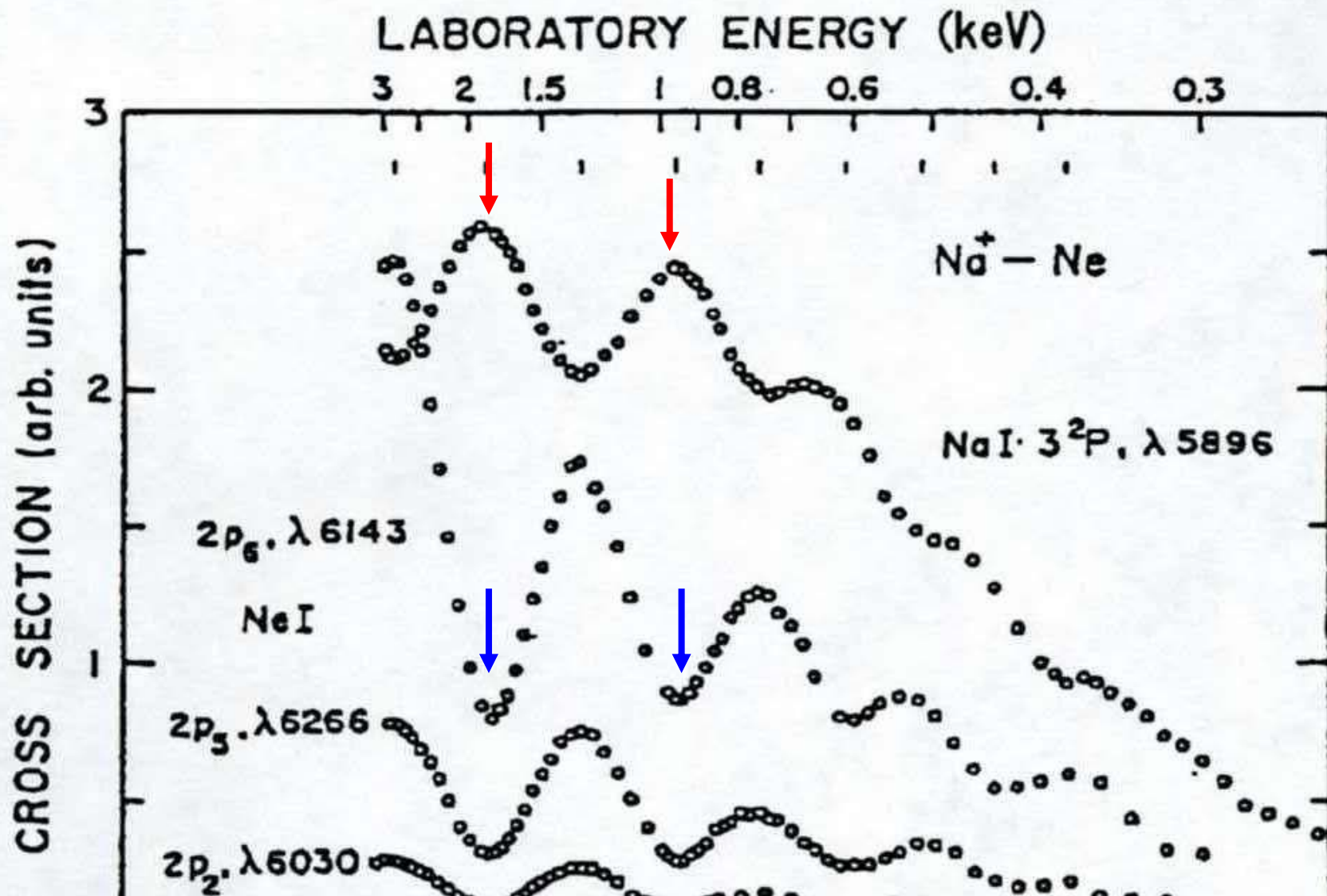
What's wrong
with these experiments?





Examples of Structures in cross sections

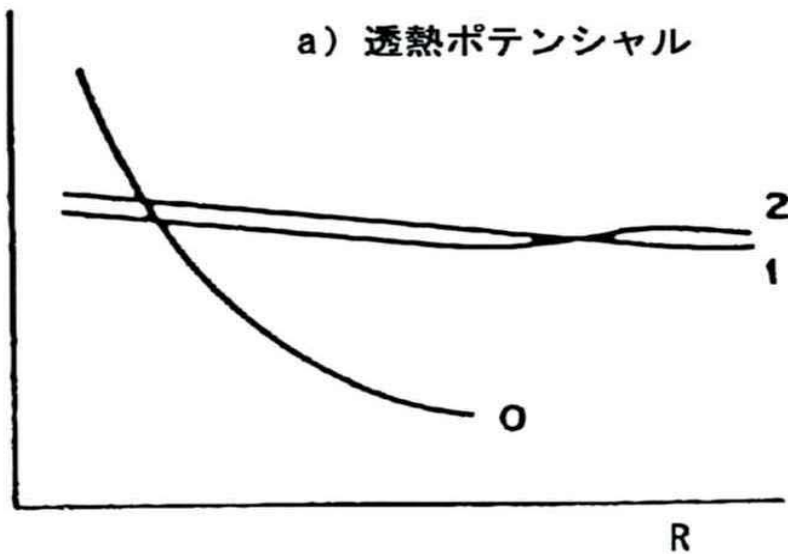
- Interferences
- Resonances
- Structures in partial cross sections
- g-u oscillation
- etc, etc, etc,.....



Rosenthal oscillations:
 $\text{Na}^+ + \text{Ne} \rightarrow \text{Na} + \text{Ne}^+$, $\text{Na} + \text{Ne}^*$ processes

Rosenthal oscillations: multi-channel interference

透熱ポテンシャル



断面積

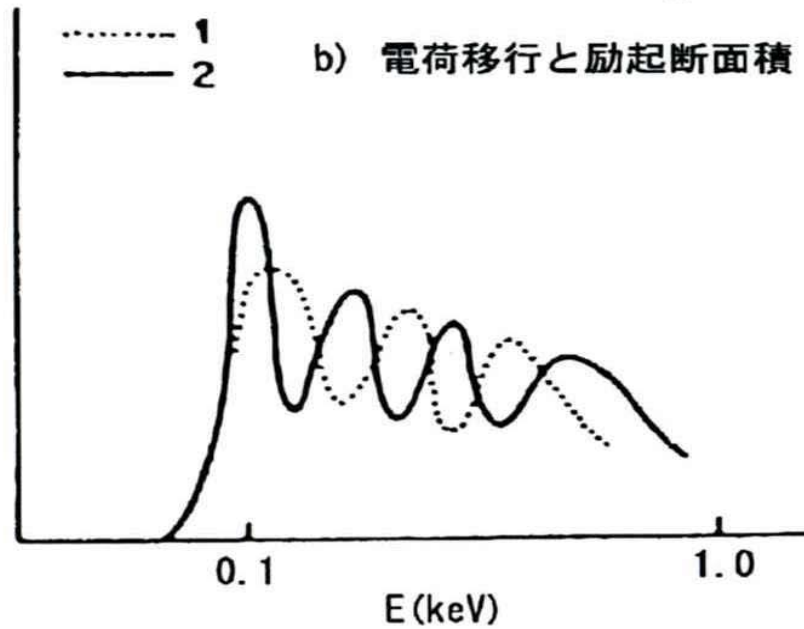


図 2.4.9 Rosenthal 振動のモデル

Structure
due to the sum
of
partial cross sections

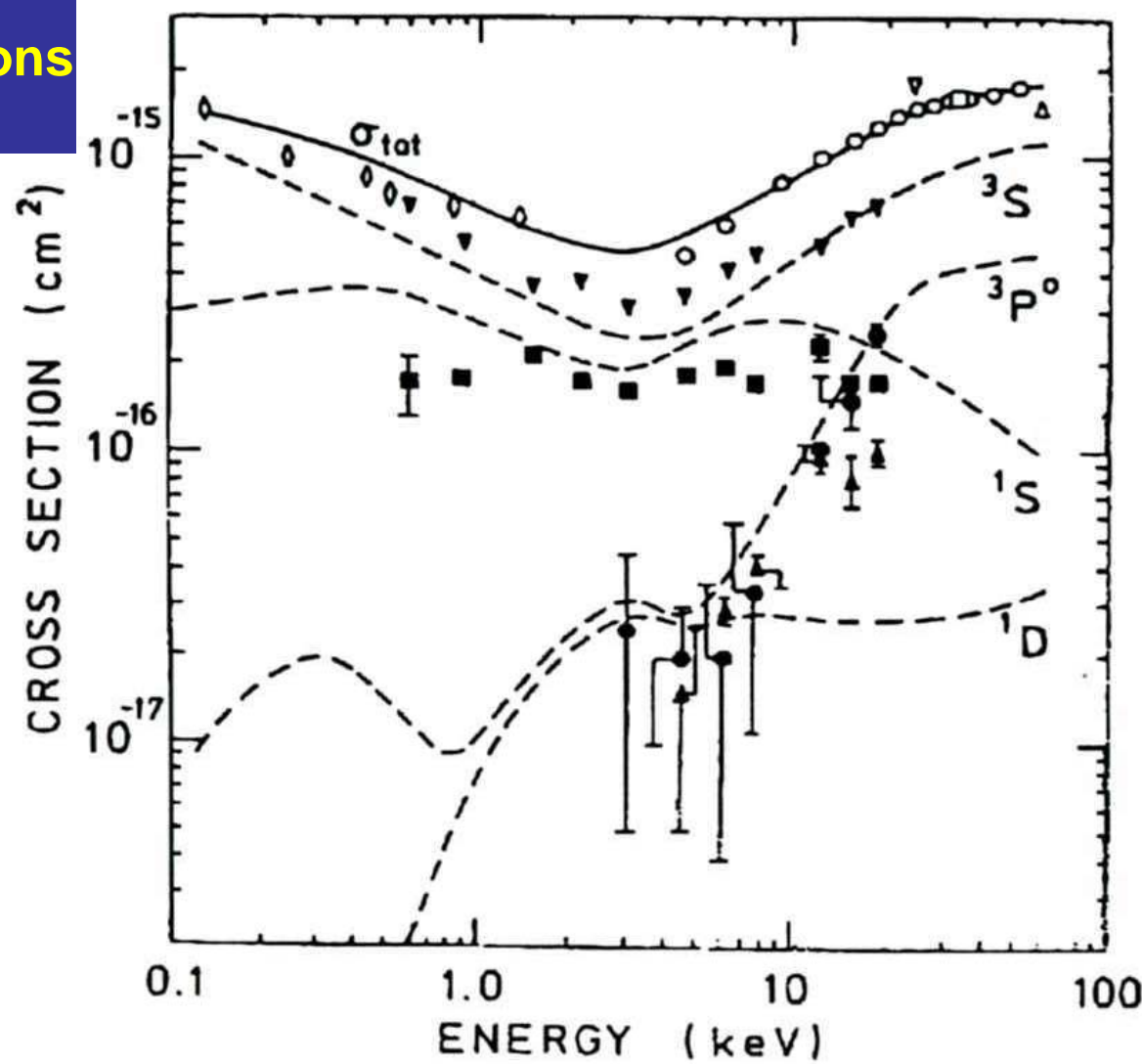
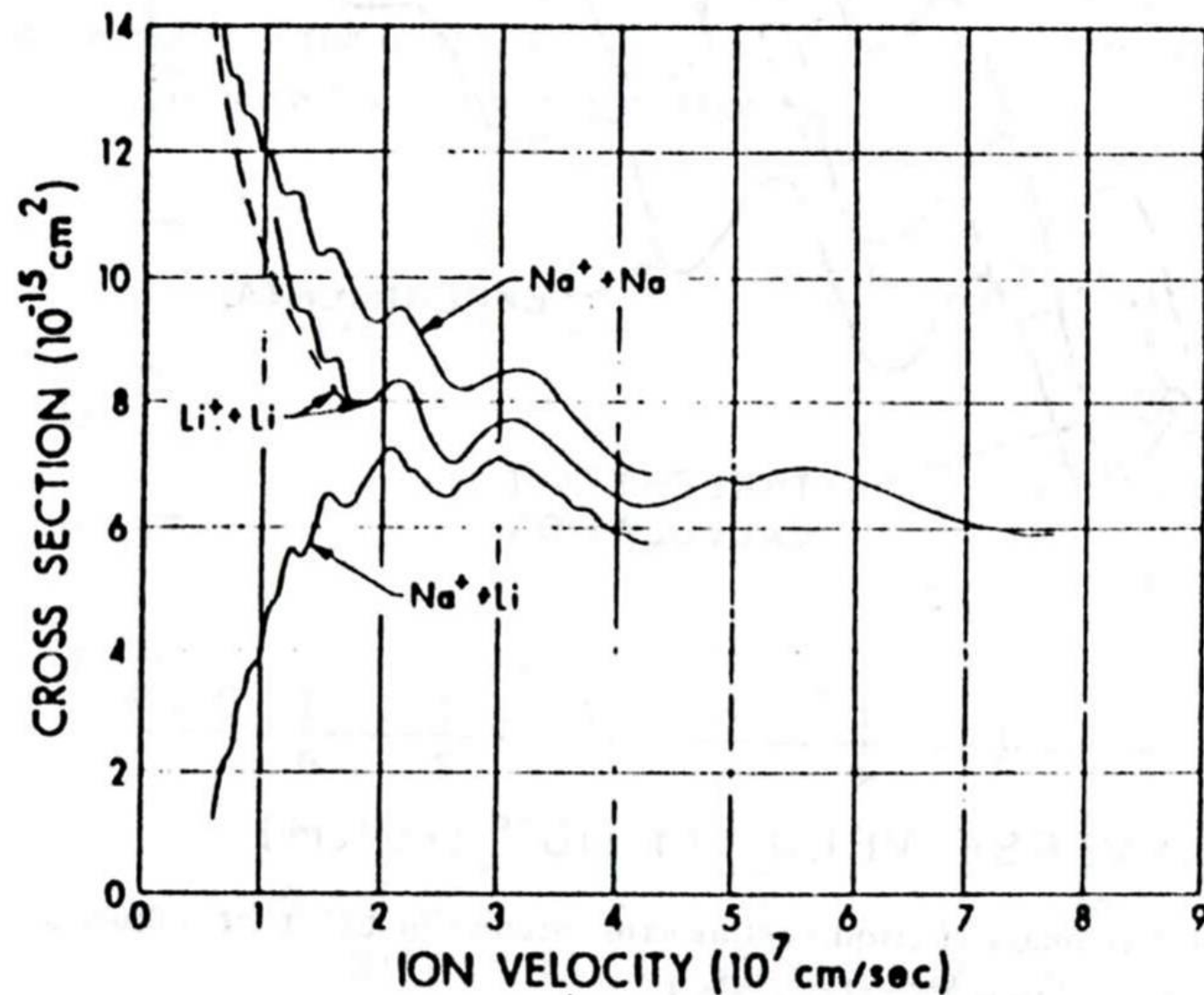


図 2.4.11 C[5+] + H 衝突の電荷移行過程の部分断面積と全断面積

Smith g-u osillations

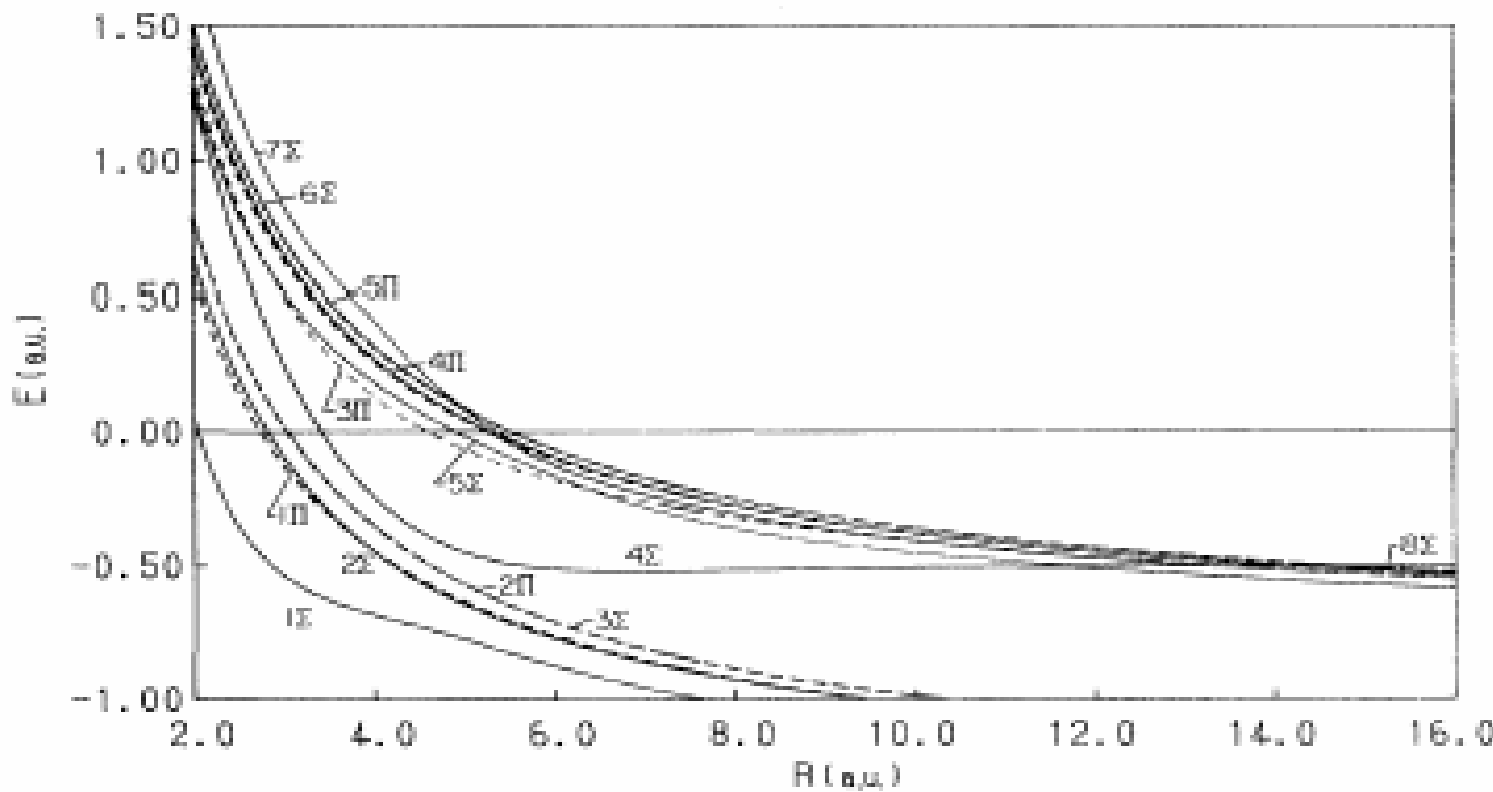


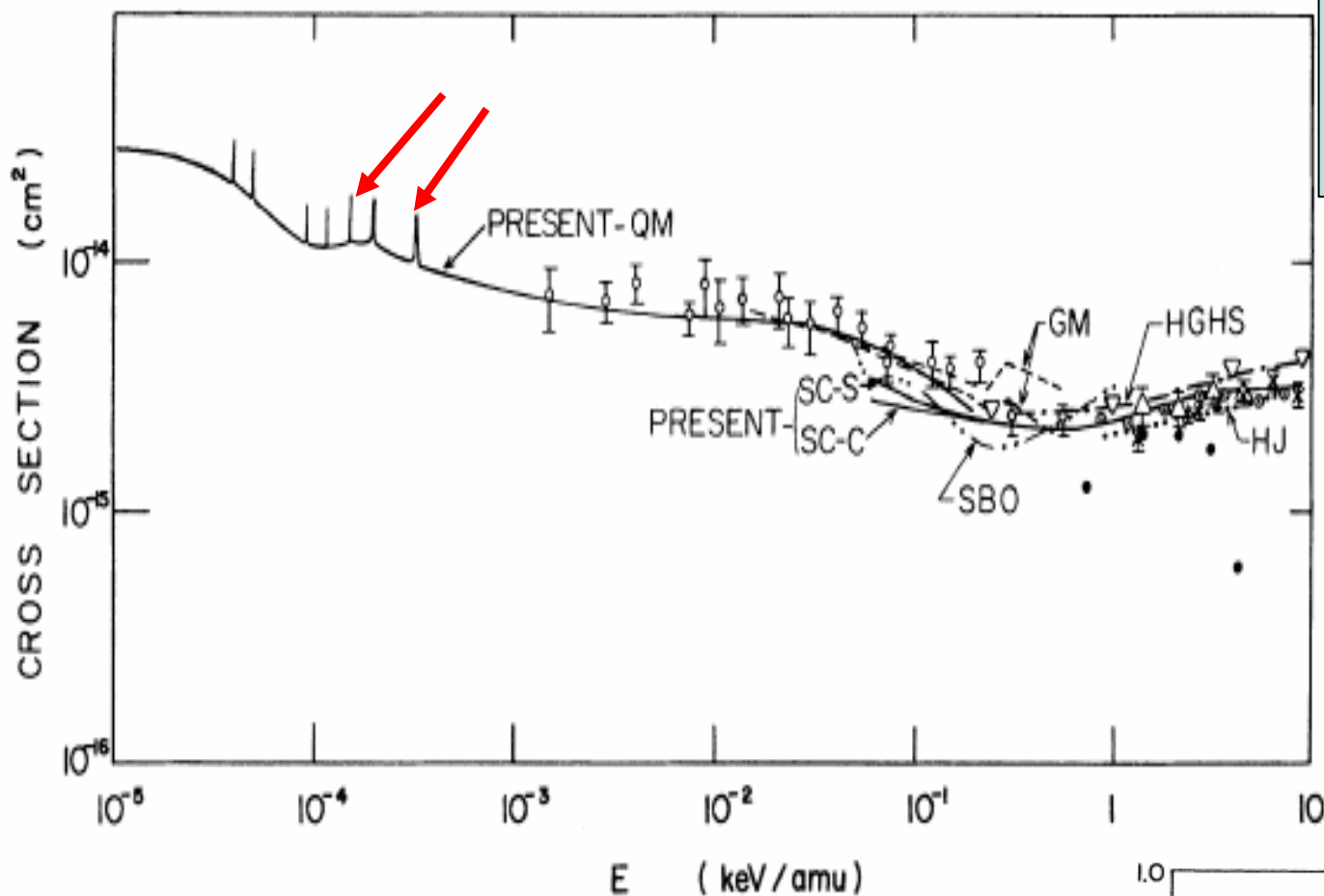
Electron capture in collisions of N^{5+} ions with H atoms from the meV to keV energy regions

N. Shimakura* and M. Kimura

Argonne National Laboratory, Argonne, Illinois 60439

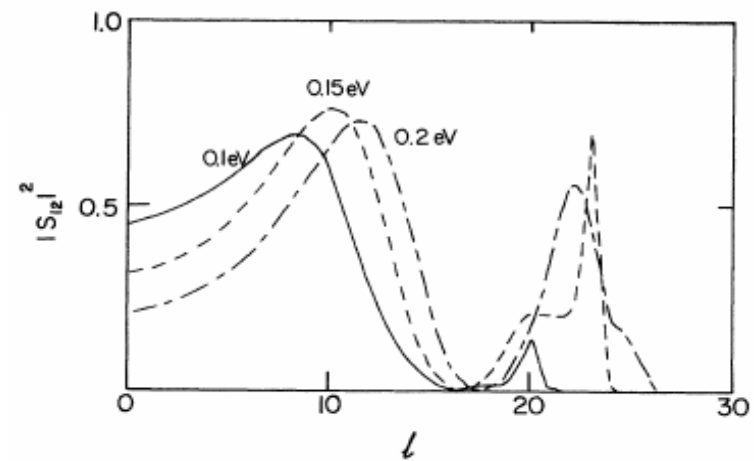
and Department of Physics, Rice University, Houston, Texas 77251





Charge transfer
cross sections

Orbiting oscillations (?)



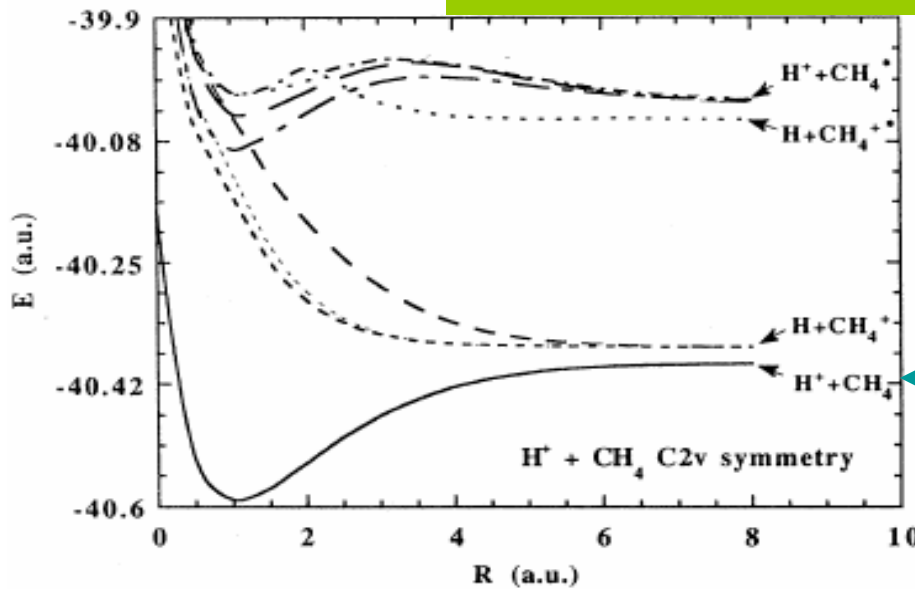
Myths among Atomic Physicists:

- High eV-keV-energy in collisions
- Collision time 10^{-15} - 10^{-17} s

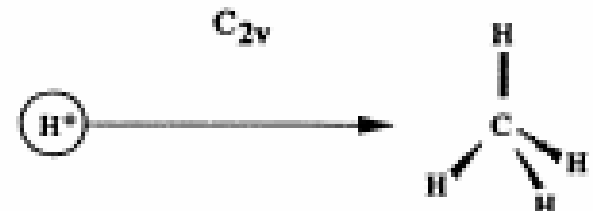
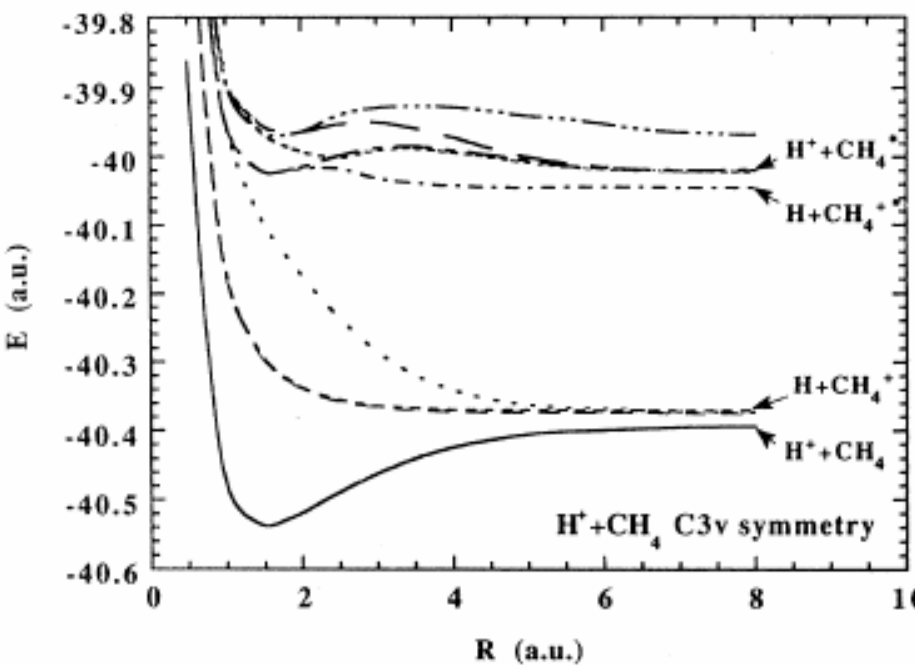
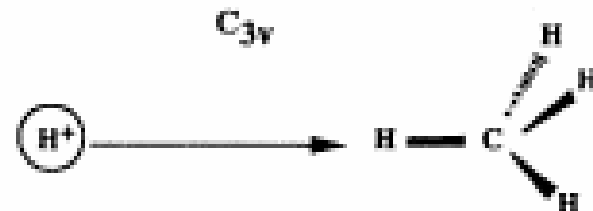


**NO molecular effect, i.e.
temperature, and structure effects
in high-eV collisions ! → NO
isotope, isomer..**

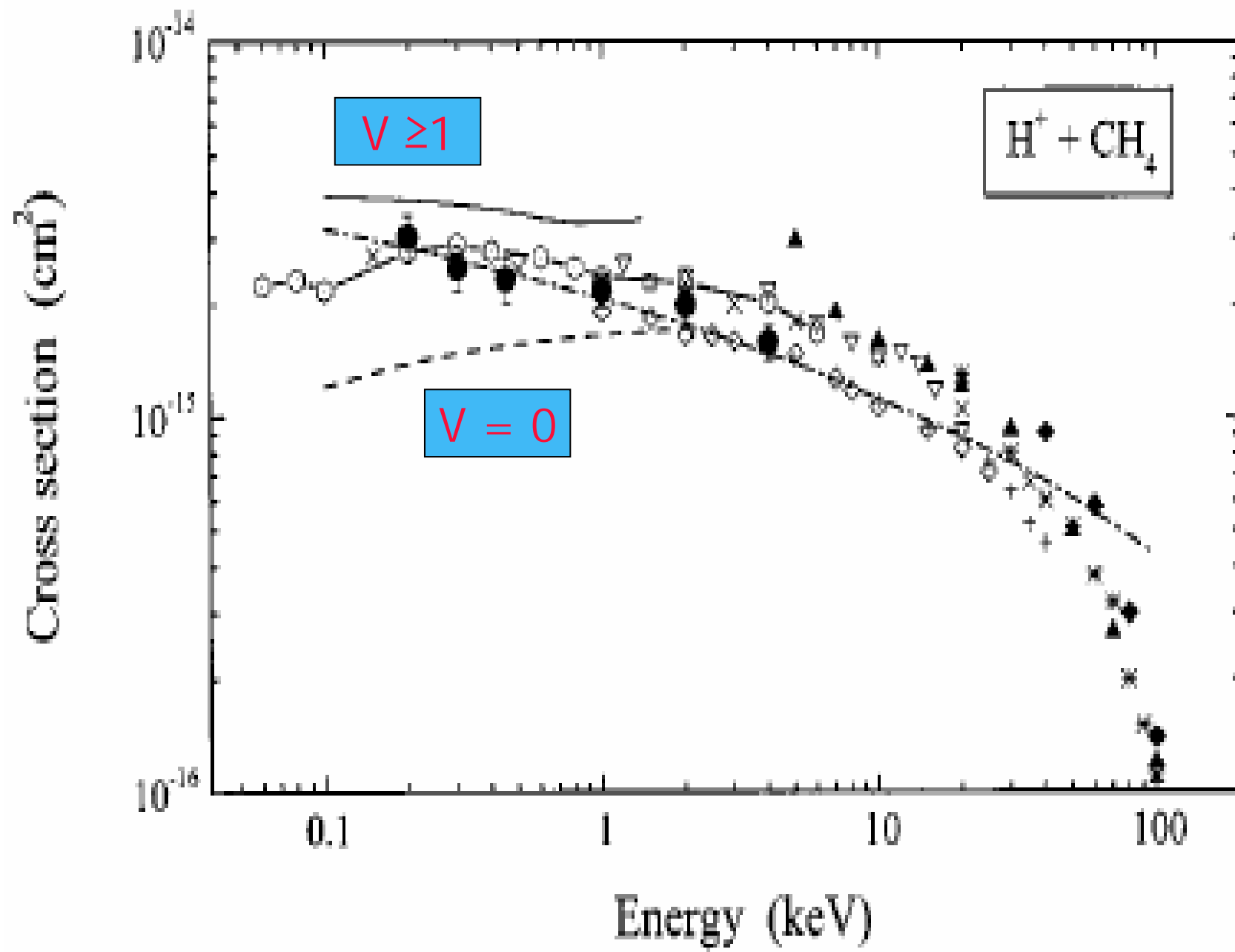
Temperature effect:



$\text{H}^+ + \text{CH}_4$
collisions



Phys. Rev. A. 62, 062715 (2000).



Isomer effect: CEX in $\text{C}^+ + \text{C}_3\text{H}_4$ (Allene and Propyne) collisions:

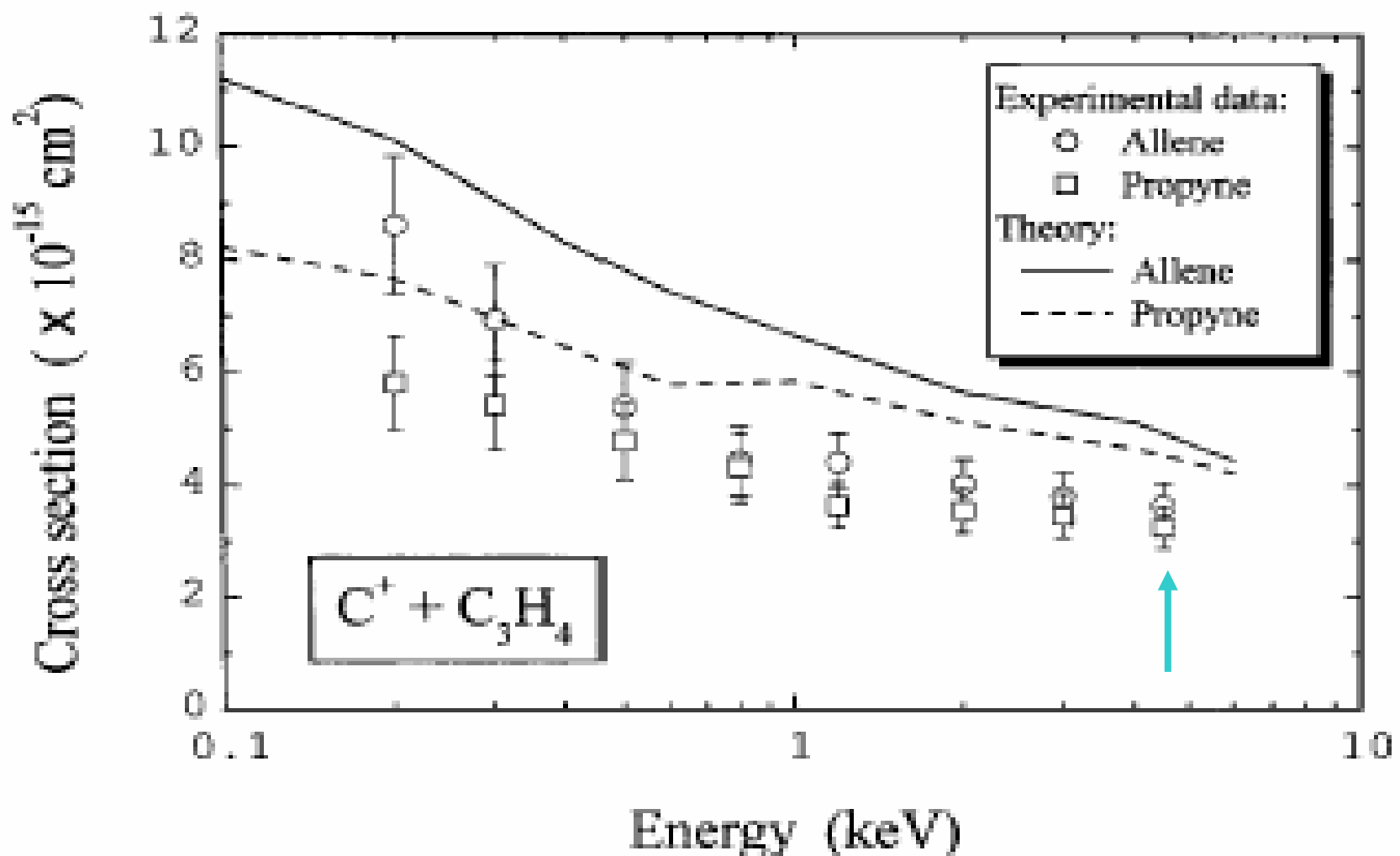


TABLE I. Molecular properties of C₃H₄ (allene and propyne) molecules [8].

Allene	Propyne		
Molecular structure			
 D_{2d} symmetry	 C_{3v} symmetry		
Bond length (Å) and angle			
C-H	1.071	C ³ -H	1.112
		C ¹ -H	1.060
C-C	1.335	C ³ -C ²	1.458
		C ² -C ¹	1.207
∠HCH	113° ± 1	∠HC ³ H	108.4°
Dipole moment (Debye)			
0.2D	0.77D		
Ionization potential (eV)			
9.69 ± 0.01	10.36 ± 0.01		

Energy diagram for C₃H₄

Energy (eV) Asymptotic atomic states

-8.58 C(¹S) + C₃H₄⁺

What will happen
if we heat up
the molecules?

-9.69 C⁺ + C₃H₄ (Allene)



-10.0 C(¹D) + C₃H₄⁺



-10.36 C⁺ + C₃H₄ (Propyne)



-11.264 C(³P) + C₃H₄⁺

Isotope effect: $H^+ + H_2$, HD and D₂ collisions

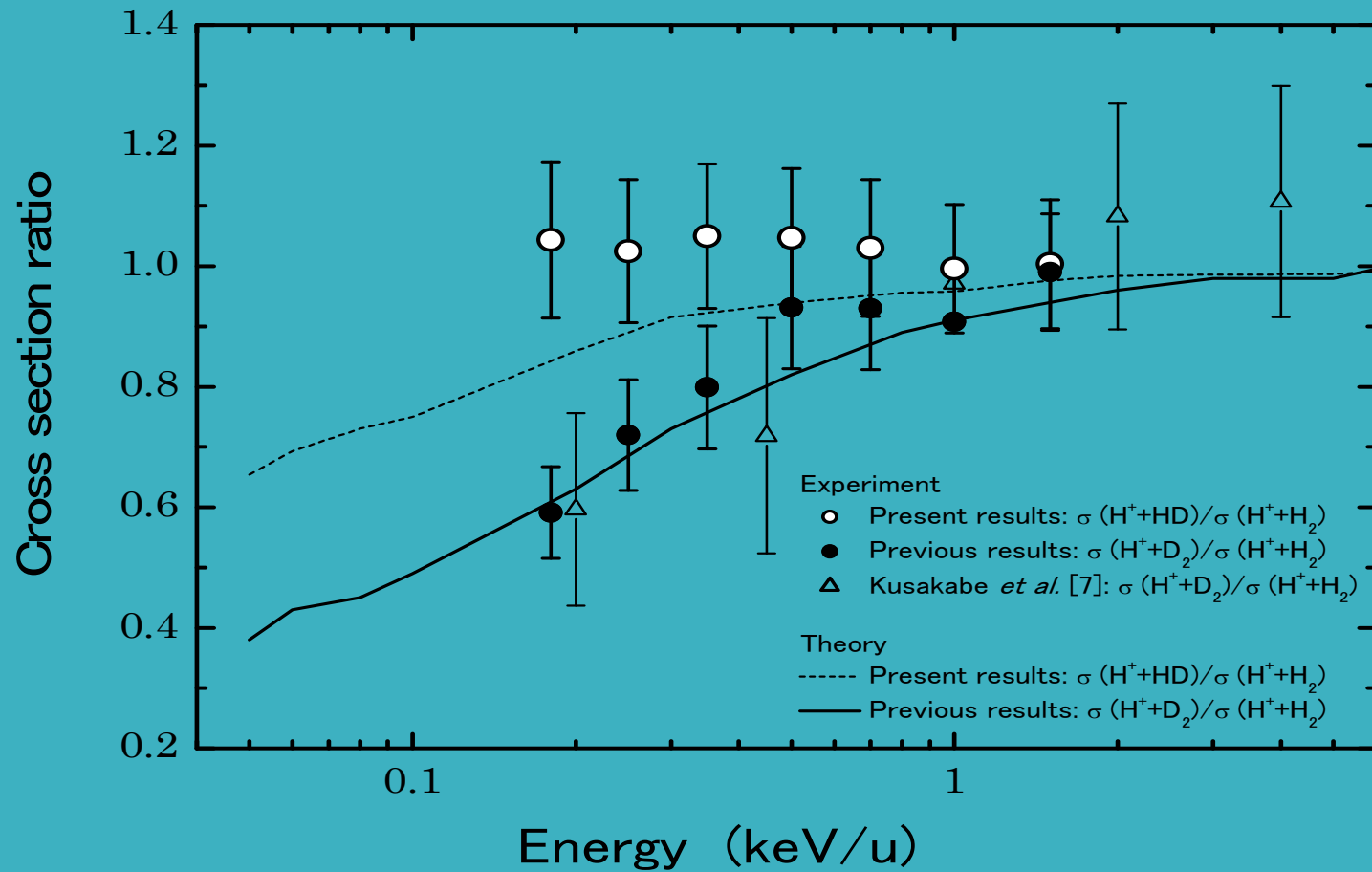
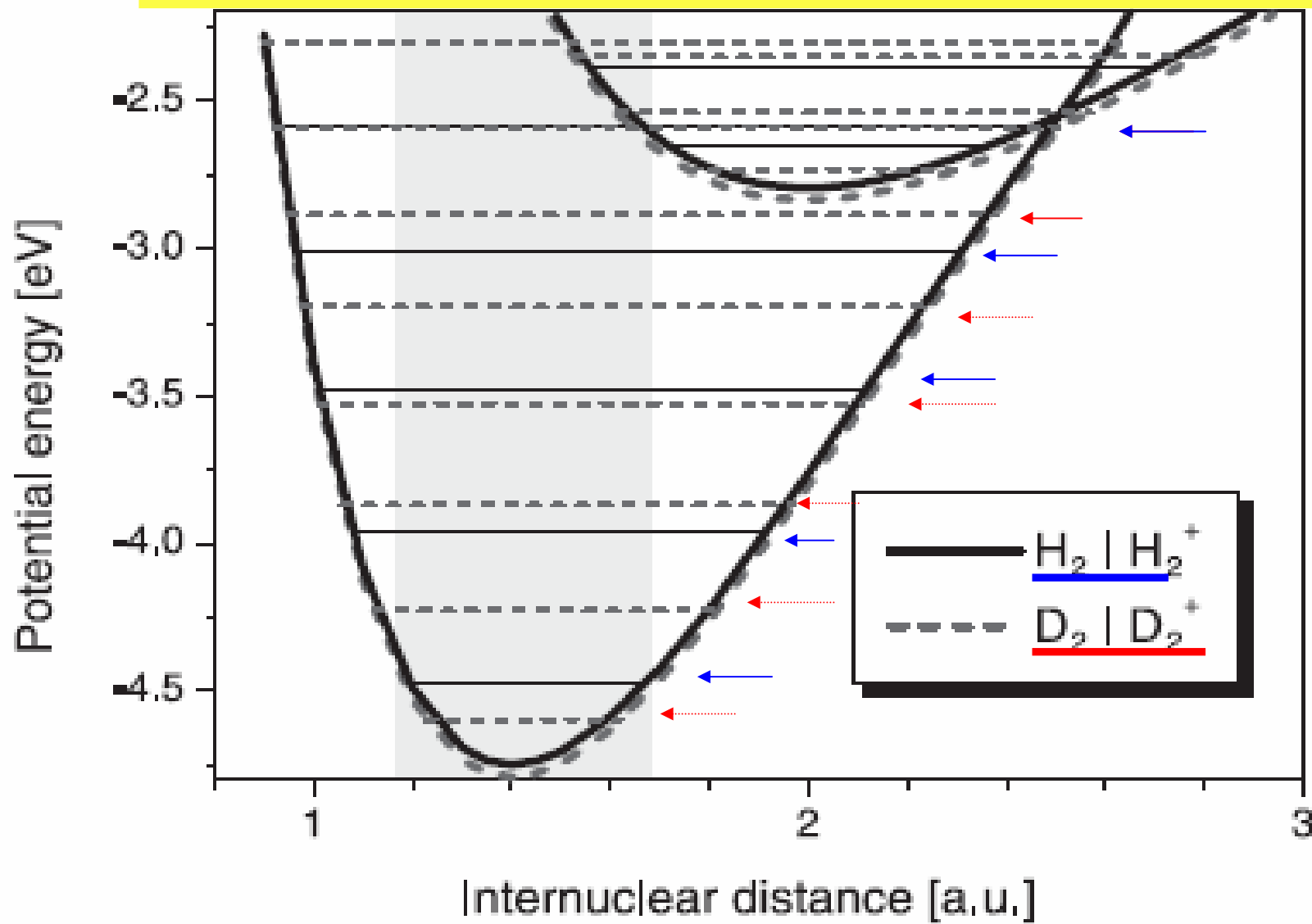


Fig. 5 T. Kusakabe, L. Pichl, M. Kimura et al.

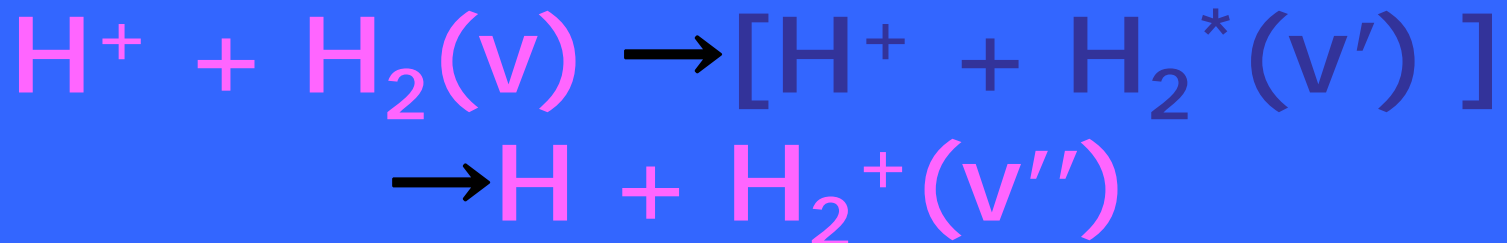
Molecular constants of H₂, HD, and D₂ molecules.

Molecule	H ₂	HD	D ₂
Reduced mass (u)	0.504	0.672	1.007
Equilibrium internuclear distance (Å)	0.7414	0.7414	0.7415
Ionization potential (eV)	15.4259	15.445	15.467
Polarizability ($\times 10^{-24}$ cm ³)	0.8023	0.7976	0.7921
Vibrational frequency (cm ⁻¹)	4401.21	3813.1	3115.5
Vibrational energy (eV)	0.54568	0.47277	0.38628
Dissociation energy (eV)	4.478	4.514	4.556

Adiabatic potential surface for H_2 and D_2



Comment on: $H^+ + H_2(v=0) \rightarrow H + H_2^+(v')$ dynamics



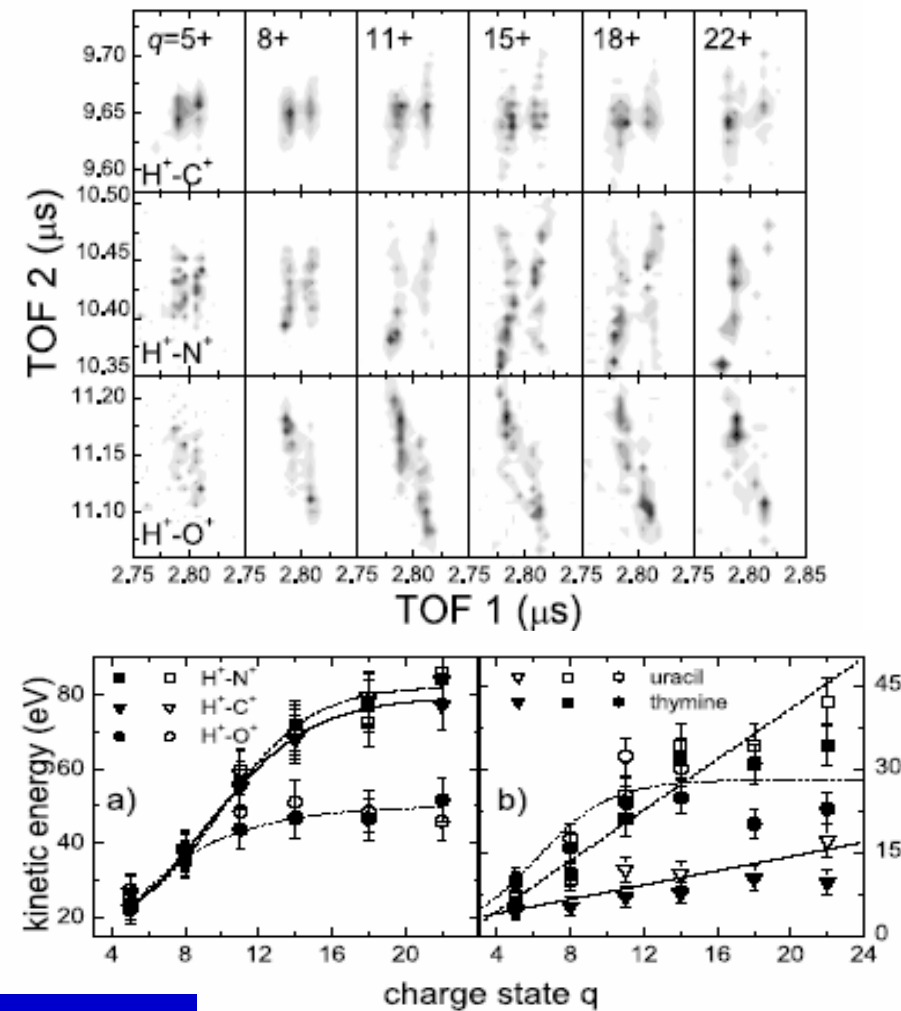
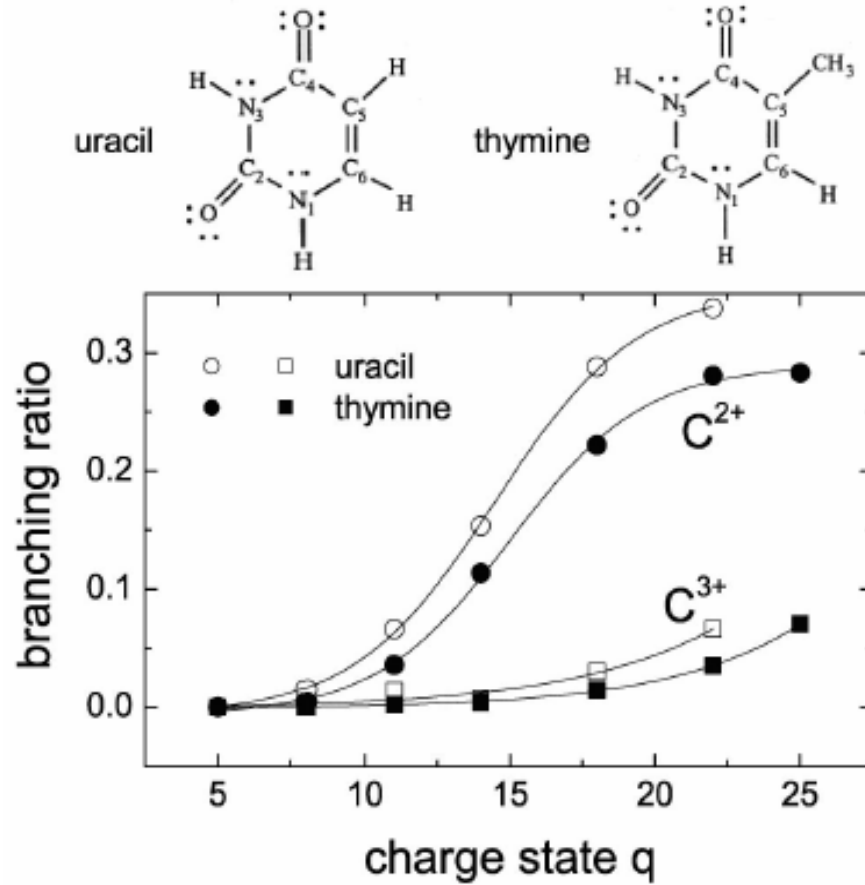
**Direct excitation through
the Franck-Condon factor
dominates,**

**and Intermediate vibrational excitation
channels are not significant**

Charge Driven Fragmentation of Nucleobases

J. de Vries, R. Hoekstra, R. Morgenstern, and T. Schlathölter*

KVI Atomic Physics, Rijksuniversiteit Groningen, Zernikelaan 25, 9747AA Groningen, The Netherlands



Fragmentation of DNA bases by ions

Beyond the Bragg Peak: Hyperthermal Heavy Ion Damage to DNA Components

Zongwu Deng, Ilko Bald,^{*} Eugen Illenberger,^{*} and Michael A. Huels[†]

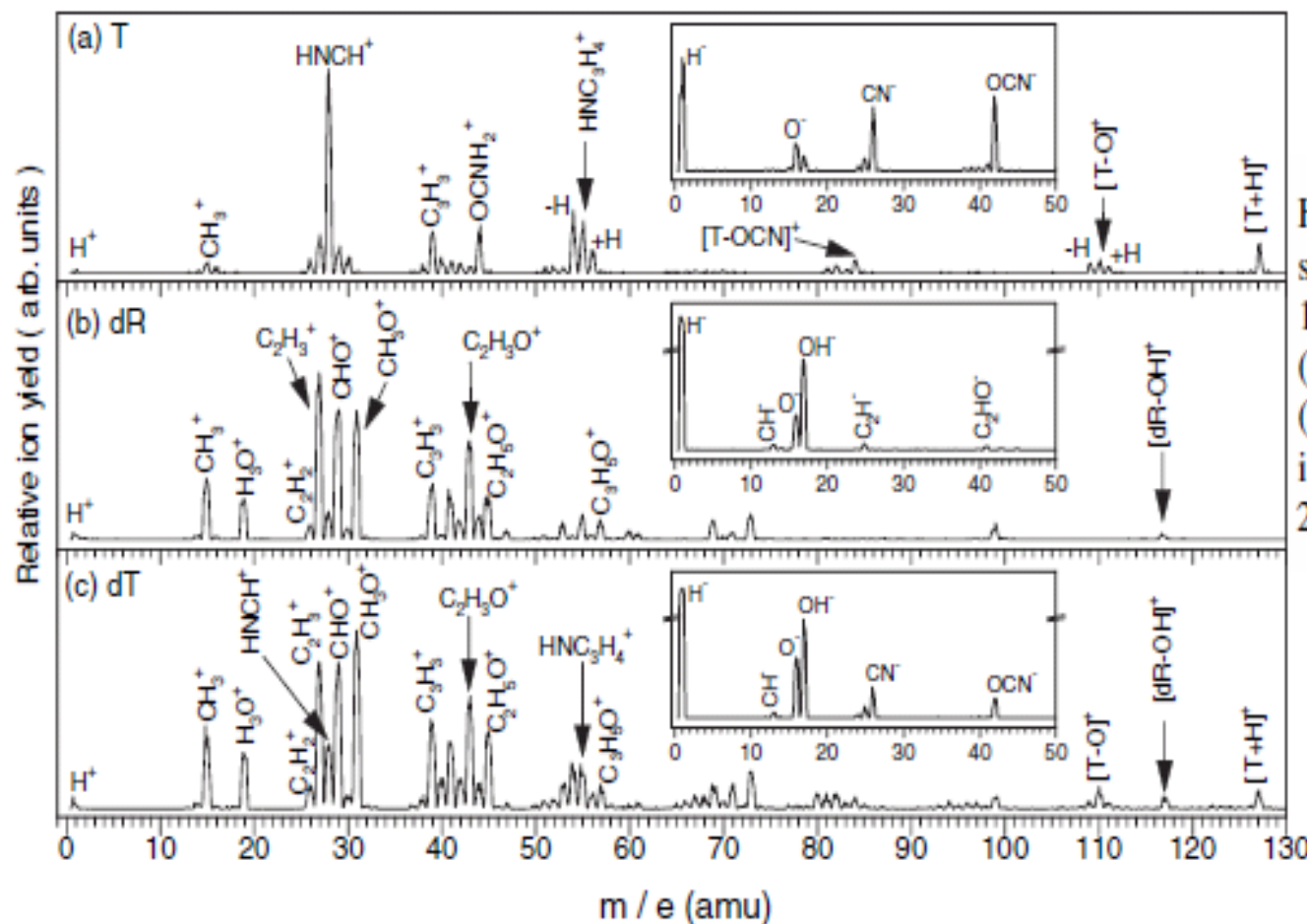


FIG. 1. Cation and anion (insets) desorption mass spectra produced by 100 eV Ar^+ impact on films of (a) thymine (T), (b) 2-deoxy-D-ribose (dR), and (c) thymidine (dT); each film is about 4 nominal monolayers (4 ML \approx 200 ng/cm²) on a Pt substrate.

Outstanding problems

- There are a lot for us to do investigating physics of **ION, ELECTRON, PHOTON COLLISIONS!!**
- There are a lot for us to do to provide **complete, and accurate cross section data** for applications.
- Particularly ion-molecules studies for low-energies.

||  **How to encourage experimentalists to study these collisions for various species in wide range of energies, etc, etc ?**

||  **How to encourage theorists to tackle Atomic collision problems and calculate accurate cross sections ?**

Acknowledgement

- **Collaborations**

Lukas Pichl

Hiroya Suno

Reiko Suzuki

Toshio Kusakabe

Robert J. Buenker

H.-P. Liebermann

Alex Dalgarno

Cliff Surko

ICU

NIFS

Hitotsubashi University

Kinki University

Universität Wuppertal

Max-Planck Institut-Heidelberg

Harvard University

UC-San Diego

- **\$\$\$**

Ministry of Education, Sport, Science, Culture and Technology

Japan Society for Promotion of Science (JSPS)

National Institute for Fusion Science

National Institute for Radiological Sciences